

7075 ALÜMİNYUM ALAŞIMINDA RRA İSİL İŞLEMİNİN
MİKROYAPIYA ETKİSİ VE KİNETİK ANALİZ

DOKTORA TEZİ

Y.Müh. Nuran (ÜNVER) AY

Tezin Enstitiye Verildiği Tarih : 25 Temmuz 1989

Tezin Savunulduğu Tarih : 26 Aralık 1989

Tez Danışmanı : Prof.Dr.Emel GEÇKİNLİ

Diğer Juri Üyeleri : Prof.Dr.E.Sabri KAYALI

Prof.Dr.Mehmet KOZ

Aralık 1989

DNS0Z

Uçak endüstrisinde 7075 Alüminyum alaşımı yaygın bir şekilde kullanılmaktadır. Bu alaşima son yıllarda uygulanmaya başlayan "Yeniden çözeltive alma + Yeniden yaşlandırma (RRA) ıslıl işlemi ile mukavemet ve gürilmeli korozyon çatlamasına direncin optimize edilebildiği belirtilmektedir.

Bu çalışmada RRA 200 ve RRA 220 ıslıl işlemleri uygulanarak sertlik, elektrik iletkenliği ve mikroyapıda oluşan değişiklikler incelenerek, yeniden çözeltive alma işlem kinetiğinin araştırılması amaçlanmıştır.

Tezimi yönetmeyi kabul ederek, doktora çalışmama başlama olanağı sağlayan ve çalışmalarımı yönlendiren değerli hocam Prof. Dr. Emel GEÇKİNLI'ye, Orta Doğu Teknik Üniversitesinde TEM çalışmalarını yapabilme olanağını sağlayan Prof. Dr. Alpay ANKARA'ya ve çalışmalarına yardımcı olan Araş. Grv.'lisi Birnur EMREN'e, sonuçların kantitatif analizle değerlendirilmesinde yardım找rını esirgemeyen Doç. Dr. Nazım BOZKURT'a, araştırmalarım süresince teşviklerini gördüğüm Anadolu Üniversitesi Mühendislik ve Mimarlık Fakültesi yetkililerine ve beni sabırla destekleyen aileme teşekkürlerimi sunarım.

IÇİNDEKİLER

BÖZET	ix
SUMMARY	x
BÖLÜM 1 - ÇALIŞMANIN AMACI VE KAPSAMI	1
BÖLÜM 2 - ALÜMINYUM ALAŞIMLARINDA YAŞLANMANIN TARIHÇESİ	3
BÖLÜM 3 - YAŞLANMANIN TEORİK İNCELENMESİ.....	6
3.1 - Katı Halde Faz Dönüşümleri	6
3.2 - Yaşlanma	12
3.2.1 - Çözeltiye Alma Isıl İşlemi	13
3.2.2 - Suverme İşlemi	17
3.2.3 - Al-Zn-Mg Alasıminin Yaşlandırma Karakteristikleri	18
3.2.3.1 - GP Zonları	20
3.2.3.2 - β' Fazı	23
3.2.3.3 - β ve T Kararlı Fazlar	26
3.2.3.4 - Çökelti içermeyen Zon (PFZ)	29
3.3 - Alüminyum Alası	33
3.4 - Yeniden Çözeltiye Alma (Retrogression) Yeniden Yaşlandırma (Reaçinq) İşlemi.RRA	35
3.4.1 - RRA Isıl İşleminin Mekanik Özellik- lere Etkisi	35
3.4.2 - Elektrik İletkenliği Değişimi ile RRA Arasındaki İlişki	40
3.4.3 - RRA İşleminin Gerilmeli Korozyon Çatlamasına Etkisi	42
3.4.3.1 - RRA İşleminin Gerilmeli Korozyon Çatlak İlerleme Hızına Etkisi	43
3.4.3.2 - Gerilmeli Korozyon Çatlamasına Hidrojenin Etkisi	45
3.4.4 - RRA Isıl İşleminin Mikroyapıya Etkisi	52
3.4.4.1 - Yeniden Çözeltiye Alma İşlemi Sonu- cunda Mikroyapıda Oluşan Değişiklikler	52
3.4.4.2 - Yeniden Yaşlandırma Sonrasında Mikroyapıda Oluşan Değişiklikler ..	55
BÖLÜM 4 - DENEYSEL ÇALIŞMALAR	58
4.1 - Kullanılan Malzeme	58
4.2 - Deneylerde Kullanılan Cihazlar	59

4.3 - Yapılan Deneyler	61
4.3.1 - Isıl İşlem Deneyleri	61
4.3.2 - Sertlik Deneyleri	62
4.3.3 - Elektrik İletkenlik Ölçümleri	62
4.3.4 - Optik Mikroskop Analizleri	63
4.3.5 - Transmisyon Elektron Mikroskopu Analizleri	63
4.3.5.1 - TEM İçin Numune Hazırlama	63
4.3.5.2 - TEM de İnce Folyelerin İncelenmesi	64
4.3.5.2.1 - Matriksin İncelenmesi	64
4.3.5.2.2 - Tane Sınırlarının İncelenmesi	65
4.3.6 - TEM Mikrograflarının Kantitatif Analizi	65
4.3.6.1 - Matriks Çökeltilerinin Kantitatif Analizi	65
4.3.6.2 - Tane Sınır Çökeltilerinin Kantita- tif Analizi	66
4.4 - Deney Sonuçları	67
4.4.1 - Optik Yapı	68
4.4.2 - Sertlik Deney Sonuçları	69
4.4.3 - Elektrik İletkenlik Ölçüm Deneylerinin Sonuçları	69
4.4.4 - TEM İle Mikroyapının İncelenmesine Ait Sonuçlar	71
4.4.4.1 - Matriks Mikroyapısına Ait Sonuçlar	71
4.4.4.2 - Tane Sınır Mikroyapısı	80
4.4.5 - TEM Mikrograflarının Kantitatif Analiz Sonuçları	84
4.4.5.1 - Matriks Çökeltilerine Ait Sonuçlar	84
4.4.5.2 - Tane Sınır Çökeltilerin Kantitatif Analiz Sonuçları	88
BÖLÜM 5 - DENEY SONUÇLARININ TARTIŞILMASI	96
5.1 - RRA Isıl İşlemminin Matriks Mikroyapısına Ve Mekanik Özelliklere Etkisi	96
5.2 - Yeniden Çözeltiye Alma Kinetiği	98
5.3 - RRA Isıl İşlemminin Tane Sınır Mikroyapı- sına Etkisi, Gerilmeli Korozyon Çatlama- sında Rolü	109
BÖLÜM 6 - GENEL SONUÇLAR VE ÖNERİLER	113
KAYNAKLAR	115
ÖZGEÇMİŞ	128

ŞEKİL LİSTESİ

No	Açıklamalar	Sayfa No
3.1	Bir çökeltti partikülünün enerjisinin şekil faktörü ile değişimi	7
3.2	Sematik olarak ara vüzevlerin atomik düzenleri	9
3.3	a) Yaşlandırmaya yapılabilen bir alaşım'a ait denge diyagramı, b) Yaşlanma işleminin kademeleri	14
3.4	7075-T6 Al alaşımının akma mukavemeti . çekme mukavemeti ve % uzama özelliklerine çözeltiye alma sıcaklığının etkisi	15
3.5	7075-T6 Al alaşımında çözeltiye alma sıcaklığı ile gerilmeli korozyon çatılağ hızının değişimi	15
3.6	Bakır, Çinko ve Magnezyumun atomik konsan- trasyonlarının, 7075 Al alaşımının kırılma yüzeyinde, çözeltiye alma sıcaklığı ile değişimi	16
3.7	Çeşitli alüminyum alaşımlarında soğuma hızının mukavemete etkisi	17
3.8	7075-T6 Allüminyum alaşımının C-eğrisi ..	18
3.9	Al-Zn denge diyagramı	21
3.10.	Al-Cu denge diyagramı	21
3.11	Zn konsantrasyonuna göre GP zonun oluşum üst sınırı.. Th ve GP zonun ayrışma sınırı, GP _{diss}	22
3.12	Zn konsantrasyonuna bağlı olarak Al-Zn-Mg alaşımlarına ait kararsız faz diyagramı ..	26
3.13	Al-Zn-Mg alaşım sistemine ait denge diyag- ramında alüminyum kösesi	28
3.14	Al-Zn-Mg da PFZ nin oluşmasının şematik gösterilişi	31
3.15	Al-Zn-Mg alaşımında eriyen atom konsantras yonunun matriks ve tane sınırlarında degi- şimin şematik gösterilişi	31
3.16	Al-%2 Zn-%4.7 Mg alaşımında a) Zn, b) Mg konsantrasyon gradyanları	32
3.17	RRA işlemi esnasında sertlikte değişimin şematik gösterilişi	36
3.18	7075-T6 Al levhasına uygulanan yeniden çözeltiye alma işleminden elde edilen sertlik sonuçları	38
3.19	60 dakikaya kadar Y.Ç.A. sürelerinde yeni- den çözeltiye alma işlemi uygulananmış 7075- T6 nin akma mukavemetinin değişimi	38

3.20	200°C de yeniden çözeltiye alınmış ve yeniden yaşlandırılmış 7075-T6 ve ait akma mukavemeti-cözeltiye alma eğrisi	39
3.21	180°C de 1 saatे kadar yeniden çözeltiye alma işlemi uygulanmış sonra yeniden yaşlandırılmış 7075-T6 Al Y.C.A. süresine bağlı olarak elektrik iletkenliğinin değişimi ...	41
3.22	7075-T651 ve 7075-T7351 ile karşılaştırmalı olarak orta ve uzun süreli RRA işlemlerine ait gerilmeli korozyon çatlak ilerlemeleri hızları	45
3.23	Çeşitli kapanlar ile hidrojenin etkileşimi sonucu oluşan kırılma modlarının şematik gösterilisi	51
3.24	Yeniden çözeltiye alma esnasında cökelti boyutlarındaki değişiklikler a)TEM sonuçları. b)karşılaştırma için verilmiş olan SAXS ölçümleri ile elde edilen GP yarıçap sonuçları	53
4.1	Ekstrüzyon Ürünün Profil kesiti	59
4.2	Deney numunesinin şekli ve boyutları	59
4.3	Denevlerde kullanılan 7075 Al alaşımının L-ST doğrultusundaki mikroyapısı	68
4.4	7075-T6 Al alaşımına uygulanan yeniden çözeltiye alma süresine bağlı olarak sertlikte meydana gelen değişme	70
4.5	7075-T6 Al alaşımına uygulanan RRA ısıl işleminde, Y.C.A. sürelerine bağlı olarak elektrik iletkenliğinin değişimi	70
4.6	7075 RRA mikroyapısından elde edilen ve cökeltilerine ait yansımaları gösteren elektron difraksiyon paterni ve difraksiyon paterninin çözümlemiş hali	72
4.7	7075-T6 Al alaşımına 200°C de Y.C.A.+ yeniden yaşlandırma işlemi uygulamış Örneklerden aydınlik alan görüntüler	74
4.8	7075-T6 Al alaşımına 220°C de Y.C.A.+ yeniden yaşlandırma işlemi uygulamış Örneklerden aydınlik alan görüntüsü	75
4.9	Cökelti ve dislakasyonu gösteren aydınlik alan görüntüsü	76
4.10	RRA 200 e ait karanlık alan görüntüler ..	77,78
4.11	RRA 220 e ait karanlık alan görüntüler ..	79
4.12	RRA 200 e ait tane sınırı cökeltilerinin mikrografları	80,81
4.13	RRA 220 e ait tane sınırı cökeltilerinin mikrografları	82,83
4.14	200°C de yeniden çözeltiye almayı yeniden yaşlandırma işlemi uygulamış Örneklerin matriks cökelti boyut dağılımı	85
4.15	220°C de yeniden çözeltiye almayı yeniden yaşlandırma işlemi uygulamış Örneklerin matriks cökelti boyut dağılımı	86

4.16	RRA işlemeli Örneklerin matriks çökelti boyutlarının kümülatif frekansa göre değişimi	87
4.17	RRA 200 işlemeli Örneklerin tane sınırı çökelti boyutlarının değişimi	89
4.18	RRA 220 işlemeli Örneklerin tane sınırı çökelti boyutlarının değişimi.....	90
4.19	RRA işlemi uygulanmış Örneklerin tane sınırı çökelti boyutlarının kümülatif frekansa göre değişimi	91
4.20	Y.Ç.A. süresine bağlı olarak tane sınırı çökeltilerinin ortalama boyut değişimi	93
4.21	Y.Ç.A. süresine bağlı olarak birim alandaki çökelti sayısının. (N_A) değişimi	93
4.22	Y.Ç.A. süresine bağlı olarak alansal fraksiyonun. (A_A) değişimi	94
4.23	Y.Ç.A. süresine bağlı olarak V_A/k değişimi	95
5.1	Y.Ç.A. süresine bağlı olarak RRA işlemeli Örneklerdeki sertlik ve çökelti boyutu değişimi	97
5.2	Y.Ç.A. süresi-sertlik eğrisindeki minimum noktalarının sıcaklık ile değişimi	99
5.3	Y.Ç.A. süresi-sertlik eğrisindeki dönüş noktalarının sıcaklıkla değişimi	100
5.4	Y.Ç.A. süresi-sertlik eğrisindeki maksimum noktalarının sıcaklıkla değişimi	102
5.5	Al-Zn-Mg alaşımına ait maksimum mukavemete ulaşılan surenin sıcaklıkla değişiminden yararlanarak çizilen Arrhenius grafiği ...	107

TABLO LİSTESİ

No	Açıklamalar	Sayfa No
3.1	7075 Al alaşımına uygulanan klasik ıslı işlemelerle ilgili değerler	19
3.2	Al-Zn-Mg alaşımında β fazının alüminyum matriks ile oryantasyon ilişkisi	28
3.3	Al-Zn-Mg alaşım sisteminde T fazi ile matriksin oryantasyon ilişkisi	29
3.4	7075 Al alaşımının klasik T6 ve T73 ıslı işlemlerine ait mekanik özellikler	36
3.5	Metallerdeki kapanların sınıflandırılması ..	47
3.6	7075 Al alaşımının klasik T6 ve T73 ıslı işlemlerinin mikroyapı karakteristikleri ..	56
4.1	Ticari saflıkta 7075 Al alaşımının kimyasal bileşimi	58
4.2	Uygulanan RRA işlem koşulları	61
4.3	Matriks çökelti boyutlarının kümülatif frekans değerleri	88
4.4	Tane sınırı çökeltilerinin kümülatif frekans değerleri	92

OZET

Uçak endüstrisinde T075 Al alaşımı yaygın bir şekilde kullanılmaktadır. Bu alaşına uygulanan T6 ısıl işlemi alaşımı gerilmeli korozyon çatlamasına karşı duyarlı kılmaktadır. T73 ısıl işlemi ise gerilmeli korozyon çatlamasına karşı direnç artırirken, mukavemet T6 ya göre % 10-15 kadar düşmektedir. T6 ve T73 ısıl işlemleri ile kazanılan özelliklerini bir arada saglamak amacıyla son yıllarda yeni bir ısıl işlem olan "Yeniden çözeltiye alma+Yeniden Yaşlandırma (Retrogression and Reaging) kısaca RRA işlemi dikkatleri üzerine çekmiştir. RRA ısıl işleminde, T6 durumundaki numuneler önce 160-280°C gibi düşük sıcaklıklarda kısa sürelerde çözeltiye alınmakta (Retrogression) sonra T6 işlem koşullarında tekrar yaşlandırılmaktadır (Reaging).

Bu çalışmada, yeniden çözeltiye alma sıcaklığı, daha önce yapılmış çalışmalarında özellikleri en iyi şekilde optimize ettiği saptanan 200°C ve 220°C sıcaklıklarını seçerek, RRA ısıl işleminin mikroyapı üzerinde oluşturduğu değişim ile yeniden çözeltiye alma işleminin kinetiği araştırılmıştır. RRA işlemi sonucu oluşan mikroyapı (matriks ve tane sınırları) TEM kullanılarak, çökelti boyutları, çökelti morfolojisi, tane sınırlarındaki çökeltisiz zonun genişliği incelenmiştir.

TEM mikrograflarının MOP-VIDEOPLAN ile yapılan ölçümlerinde, yeniden çözeltiye alma süresine bağlı olarak, RRA 200 işlemleri esnasında matriks çökeltilerinin ortalama boyutlarının 7 nm de 9 nm ye, tane sınırı çökeltilerinin ortalama boyutlarının 28 nm den 40nm ye ve RRA 220 işlemlerinde ortalama matriks çökelti boyutlarının 8 nm den 12 nm ye, ortalama tane sınırı çökelti boyutlarının ise 27 nm den 47 nm ye ulaştığı, tane sınırlarındaki çökeltisiz zonun genişliğinin 30-50nm arasında değiştiği, partikül yoğunluğunun azalığı, çökeltilerin küresel, levha ve çubuk şeklinde γ' ve γ çökeltileri olduğu tespit edilmiştir.

Bu çalışmada elde edilen sonuçlar diğer araştırmacıların sonuçlarıyla birarada değerlendirilerek, yeniden çözeltiye alma esnasında yeralan yayınma kontrollu olaylara açıklık getirilmiştir. Bu sentez, atom boşluğu kümelerinin RRA işlemi ve malzemenin nihai Özelliklerinde önemli bir rol oynadığını ortaya çıkarmıştır.

EFFECT OF RETROGRESSION AND REAGING (RRA) HEAT TREATMENT ON THE MICROSTRUCTURE OF THE 7075 ALUMINIUM ALLOY AND KINETICS ANALYSIS

SUMMARY

Aluminium alloys of the 7000 series (Al-Zn-Mg) have been used in airframe structures for over 30 years. They provide very high strength and stiffness, but are prone to exfoliation and stress corrosion cracking (SCC), particularly when aged to the near peak strength T6 condition. Their resistance to exfoliation and stress corrosion cracking can be increased by over-aging to the T76 and T73 tempers respectively, but with a progressive loss of strength. For example, the yield strength of 7075-T73 is about 10-15 % lower than that of 7075-T6.

In 1974, a new heat treatment is described, known as " Retrogression and Reaging " (RRA) which is thought to be capable of providing strength equivalent to that of the T6 temper, together with stress corrosion resistance equivalent to that of the T73 temper. This treatment is applied to the material in the T6 condition and consists of a short time retrogression, or partial solution treatment at a temperature in the range 200-220°C, followed by reaging using the same conditions used for the original T6 age.

Since the importance of the RRA treatment has been recognized only recently, little is known of the mechanism responsible for its beneficial effects on both strength and SCC resistance of the 7075 Al alloy. Microstructural studies of 7075 subjected to RRA heat treatments have been rather limited in both number and scope.

The purpose of this work is to examine microstructural changes occurring in the matrix and grain boundary

region during RRA treatments in relation to mechanical properties of the T6 tempered 7075 alloy. Comparisons between our results and those of recently published research are presented and an information on the kinetics of RRA treatment and causes for the improvement in strength and SCC resistance was discussed.

The material used in this study was an extruded commercial 7075 Al alloy in the T6 condition obtained from Seydisehir Aluminum Factory. The nominal alloy composition was 5.30 pct Zn-2.3 pct Mg-1.3 pct Cu- 0.25 pct Cr- 0.44 pct Fe-Al.

The retrogression heat treatment was performed in the silicon oil bath at 200 and 220 °C for various times up to 40 mins. Reaging at 121°C in a stirred silicon oil bath for 24 hours was done immediately after the retrogression treatment.

Electrical conductivity measurements were made as a function of retrogression time after the reaging treatment. The conductivity measurement of RRA samples are higher than that of T6. The conductivity value of RRA which includes retrogression at 200°C for 15 min. and more, and at 220°C for 6 min. and more reached the value T73.

Hardness measurements were also made as a function of retrogression time before and after the reaging treatment. During retrogression, hardness falls very rapidly to reach a minimum at about 5 min. for 200°C and 4 min. for 220°C, and then increases to a secondary peak and decreasing again at long times as the material overages. The hardness curve of 220°C was steeper and deeper than 200°C retrogression curve. The general shape of the retrogression curves is similar to the hardness curves obtained by the earlier investigators. It was observed that, hardness of RRA samples is equal to T6 hardness during the first 15 min. for RRA 200 and 6 min. for RRA 220. When retrogression period is increased the hardness value of RRA samples are approach to T73 value.

In this investigation the transmission electron microscopy was used. The technique described by Gjonne and Simensen, and DeArdo and Simensen was used to identify the precipitates. Each types of precipitate can be identified by analysing a series of dark-field images taken using various reflections in the indexed diffraction patterns. The analysis of various diffraction patterns from

samples in the RRA temper reveals that the basic patterns are the same as those from samples in the T6 and T73 tempers. With increased retrogression time, the diffraction pattern of RRA samples shows more distinct spots surrounding the matrix spots.

By the analysis of bright and dark field micrographs belonging to RRA samples, it was observed that the precipitates sizes increase and the number of precipitates decrease with retrogression time. It was also found that the precipitates were nucleated in heterogeneous along dislocations. Around the precipitates which settles on the dislocation lines, a precipitate free zone could be seen clearly.

The RRA matrix structure includes γ' and γ particles. The morphologies of precipitates are spherical, plate shape and lath type. It seems that spherical shaped particles become coarse with increasing retrogression time; under the higher magnification it was observed clearly that the plate shaped particles become larger than the spherical ones.

The RRA matrix precipitates size were measured by using dark-field micrographs. For each sample at least four dark-field micrographs were evaluated and 250 particles were measured by using MOP-VIDEOPLAN. By evaluation of the histograms it has been determined that the average size of particles from 7.1 nm to 9 nm for RRA 200 for 5 min. and 30 min. retrogression time respectively, and from 8 nm to 12 nm for RRA 220 for 1 min. and 20 min. retrogression time respectively.

Since it is known that the resistances to stress corrosion cracking at the tempered condition is dependent on grain boundary precipitates, and precipitates free zone (PFZ) width. The grain boundary precipitates have been further investigated. RRA samples were tilted in transmission electron microscopy so that grain boundaries appeared and then grain boundary precipitates at RRA temper were analysed in compare to retrogression time. Grain boundary precipitates consisting to γ particle have been formed. During the tempers no major change has been noticed in precipitate free zone width. Precipitates free zone width had changed between 30-50 nm. The grain boundary precipitate sizes rapidly increased in short time while number of grain boundary precipitates decreased.

For each RRA samples at least five grain boundary micrographs were evaluated by using MOP-VIDEOPLAN. As a result of this study, a particle size distribution histogram was obtained from this histogram, it seems that average size of grain boundary particles from 28 nm to 40 nm for RRA 200 for 2 min. and 5 min. retrogression time respectively, and from 27 nm to 47 nm for RRA 220 for 1 min. and 20 min. retrogression time respectively.

The parameter which have equal importance on resistance of stress corrosion cracking compared to grain boundary precipitates size are the number of particles per unit area (N_A), and the areal fraction of the grain boundary covered by particles (A_A) was measured at the same area. The volume of grain boundary precipitates per unit grain boundary area, V_A , can also be calculated using the measured parameter A_A and N_A .

The kinetics of retrogression has been investigated with the help of the relation between retrogression stage and temperature. Based on the results of the hardness measurements, reciprocal of the time to reach the minimum in retrogression curve is plotted as a function of reciprocal retrogression temperature. From this plot the apparent activation energy has been calculated as a 11.5 kcal/mol for the initial stages of retrogression. This value is close to the migration energy of "Zn-vacancy" pair and also activation energy for the migration of single vacancies in aluminium. The same graph had been obtained considering the inflection points from minimum to secondary peak of retrogression curve which gave an activation energy approximately 17.5 kcal/mol a value which compares closely to that of migration energy for "Mg-vacancy" pair and formation energy of vacancy in pure aluminium. Arrhenius plot for secondary peak was also considered which yielded an activation energy of 30 kcal/mol, a value which compares closely to that of Zn diffusion and for Mg diffusion energy in aluminium based alloys.

The data obtained in this study shows that coherency between precipitates (GP or β') and matrix in T6 structure has been decreased by Zn-vacancy motion, and same time because of high temperature many vacancies have migrated and gathered and then become the nucleation sites during initial retrogression stage.

Since retrogressed structure has included many vacancies for nucleation, reaging temper has made the

particle distributed more finely in comparision to T6, and therefore the strength and hardness of the RRA tempered samples is expected higher than T6 in during the initial stage of retrogression .

According to data obtained from this study and the earlier investigations it is believed that mechanical properties of RRA temper depends on size of precipitates (matrix and grain boundary) and stress corrosion resistance to cracking is related to the amount and distribution of vacancy clusters. This approach supports that a hydrogen embrittlement mechanism of stress corrosion cracking may be assinged to this alloy system.

BÖLÜM 1

ÇALIŞMANIN AMACI VE KAPSAMI

Bu çalışmada, sertlik ve gerilmeli korozyon özelliklerini optimize eden "Yeniden çözeltiye alma + Yeniden yaşlandırma" RRA ısıl işleminin mikroyapı üzerinde oluşturduğu değişim ve işlemin kinetiginin araştırılması amaçlanmıştır.

Bölüm 2 de, yaşlanma olayı tarihsel olarak ele alınmış ve bugüne kadar olan gelişmeler kısaca özetlenmiştir.

Bölüm 3 de, katı haldeki dönüşümler, yaşlanma olayı, 7075 alüminyum alaşımlarında yaşlanma sonucu oluşan GP zonu, fazlar, çökelti içermeyen zon ve alaşım hakkında genel bilgiler verilmiştir.

7075 Alüminyum alaşımında, RRA ısıl işlemi sonucunda oluşan sertlik, mukavemet, gerilmeli korozyon, elektrik iletkenliği ve mikroyapıdaki değişimler, özellikler arasındaki ilişkiler ve etkileşimlerine ait çalışmalar derlenmiştir.

Bölüm 4 de, 7075 Alüminyum alaşımına RRA ısıl işleminin 200-220°C de uygulaması sonucunda meydana gelen sertlik, elektrik iletkenliği, matriks ve tane sınırı

mikroyapısında oluşan değişimlerle ilgili ölçme ve analizlere yer verilmiştir.

Bölüm 5 de, bu çalışmada elde edilen sonuçlar, diğer araştırmacıların elde ettiği sonuçlarla birarada değerlendirilerek, yeniden çözeltiye alma esnasında yer alan olaylara ve mikroyapı ile gerilmeli korozyon Özelliği arasındaki ilişkiye açıklık getirilmeye çalışılmıştır.

Bölüm 6 da, bu çalışmada elde edilen sonuçlara ve önerilere yer verilmiştir.

BÖLÜM 2

ALUMINYUM ALAŞIMLARINDA YAŞLANMANIN TARİHÇESİ

Yaşlanma alüminyum alaşımlarında mukavemet artırmada kullanılan en önemli yöntemlerden birisidir. Çökelme yaşlanması aşırı doymuş katı fazdan zaman ve sıcaklık etkisiyle yeni bir fazın çökelmesi sonucu malzemenin sertlik ve mukavemetinin artmasıdır. Çökelme sertleştirmesi denge diyagramlarında solvüs eğrisi içeren alaşım sistemlerinde olabilir. Yaşlanma olayı bu yüzyılın başında A.Wilm tarafından bakır, magnezyum, demir ve az miktarında silisyum içeren alüminyum alaşımının sertliğini gözlerken keşfetti. Yaşılandırma işlemi için akla yatkın ilk açıklamaya göre artan sıcaklıkla katı eriyik oluşumu artmaka ve su verildikten sonra zamanla aşırı doymuş katı eriyikten yeni çökelti fazları oluşmaktadır [1].

Wilm'in keşfi ve Merica ve arkadaşlarının açıklamalarından sonra, 1920-1930 yılları arasında araştırmacılar tarafından yaşılandırma mekanizması incelenmiştir. Ancak o devirde eldeki mevcut cihaz ve aletlerle katı eriyikten çökeltilerin ayırışma prosesini saptamak mümkün olmamıştır. O yıllarda metalografik çalışmalarda kullanılan optik mikroskoplarla çökeltilerin belirlenmesi (çökeltilerin çok küçük olmasından dolayı) olanaksız olduğundan, yapılan çalışmalar

katı eriyikten çökeltilerin ayrışma işlemi hakkında bilgi verirken, yaşılanma sonucunda oluşan mukavemetin nedenini açıklayamamaktır. 1934 yılında dislokasyonun keşfi yaşıldırma sertleşmesine yeni boyutlar kazandırmıştır.

Mott ve Naborra, yaşıldırma sertleşmesinin düzensiz olarak yerleşmiş uyumlu çökeltilerle dislokasyonlar arasındaki ilişki sonucunda oluştuğunu belirtmişlerdir. Yıllar sonra Drowan, tanınmış denklemiyle ($\tau = 2Gb/l$, l parti-küller arası mesafe, G kayma modülü, b burgers vektörü, τ mukavemet) partikül içeren alaşımın mukavemetinin artişını göstermiştir. Bu denklem, yaşılanma sonucunda oluşan mukavemet artışında önemli bir yer almıştır. Günümüzde de çökelti sertleştirmesi, dispersyon sertleştirmesi sonucunda, mukavemetlendirme teorileri için temel denklem olarak kullanılmaktadır.

Mott ve Naborra'nın açıklamalarına rağmen, 1940-1950 yılları arasında yaşılanma olayının ayrıntılı olarak anlaşılmamasında önemli bir ilerleme sağlanamamıştır. 1950'li yıllarda yaşıldırma mekanizmasından daha çok mukavemetlendirme mekanizmalarının keşfine çalışılmıştır. Yaşılanma olayının keşfinden yaklaşık elli yıl sonra aşırı doymuş katı eriyikten çökeltme işleminin karmaşıklığı açıklanmaya ve yaşılandırılan alaşımların elektron mikroskopu ile mikroyapılarının incelenmesine hız verilmiştir. 1960'larda yaşıldırma ile sertleşmenin mekanizmasının anlaşılmamasında önemli adımlar atılmıştır. Spinodal ayrışma ile oluşturulan mukavemetin büyüklüğü hesaplanmış, istif kusurları mukavemetlendirmesi, modül sertleştirme, düzen mukavemetlendirme ve koherent mukavemetlendirmenin ayrıntılı ilk teorileri oluşturulmuştur [1, 2].

Yaşlanma olayı, oda sıcaklığında meydana gelirse "Tabii Yaşlanma" , oda sıcaklığından yüksek sıcaklıklarda oluşursa "Suni Yaşılandırma" adını alır. Suni yaşılandırma tek bir sıcaklıkta yapılabileceği gibi iki aşamalı olarak iki farklı sıcaklıktada yapılabilmektedir. İki aşamalı olarak yapılan yaşılandırma işlemine "Dupleks Yaşılandırma" denilmektedir.

7075 Alüminyum合金 alaşımı 121°C de 24 saat yaşlandırıldığında T6 durumu elde edilmekte , 107°C da 8 saat ve 178°C de 8 saat yaşlandırıldıklarında T73 durumu elde edilmektedir. T6 ısıl işlemi ile en yüksek mukavemet elde edilirken yapı gerilmeli korozyona hassas olmaktadır. T73 ısıl işlemi ise T6 ya göre daha düşük mukavemet ve daha yüksek gerilmeli korozyon dayanımına sahip yapı oluşturulmaktadır. T6 ve T73 ısıl işlemlerinin istenilen özelliklerinin optimizasyonunu saglayabilmek için son yıllarda yeni bir ısıl işlem olan Yeniden çözeltiye alma ve yeniden yaşılandırma (RRA) işlemi geliştirilmiştir. Yeniden çözeltiye alma (retrogression) ve yeniden yaşılandırma (reaging) işlemi bir çeşit dupleks yaşılandırma işlemidir. 120°C de 24 saat yaşlandırılmış örnekler (T6 ısıl işlem durumunda) RRA işleminin birinci aşamasında nisbeten yüksek sıcaklıkta ($200\text{--}280^{\circ}\text{C}$) kısa süreli bir yeniden çözeltiye alma işlemine tabi tutulurlar, ikinci aşamada T6 ısıl işlem koşullarında yeniden yaşandırılırlar [3] .

BÖLÜM 3

YAŞLANMANIN TEORİK İNCELENMESİ

3.1-KATI HALDE FAZ DÖNÜŞÜMLERİ

Bir katı fazın içinden başka bir katı fazın oluşması, termodinamik teoriye göre serbest enerji değişimi ile mümkündür ve

$$\Delta G = G_\beta - G_\alpha \quad (3.1)$$

dengesi ile gösterilir. G_α başlangıç fazlarının serbest enerjisi, G_β ürün fazının (veya fazlarının) serbest enerjisi, ΔG ise sistemin Gibbs serbest enerjisidir. ΔG negatif olduğunda ise yeni fazlar oluşumu mümkün olur. Katı haldeki dönüşümler sıvı halden katı hale geçme dönüşümlerine benzer. Sıvı-katı dönüşümlerindeki çekirdeklesme işlemlerine benzer şekilde, katı-katı dönüşümlerinde yeni oluşan katı fazla diğer katı fazın yüzeyler arasındaki serbest enerji (γ) ve hacimden dolayı oluşan serbest enerji terimi (ΔG_V), sistemin serbest enerjisini oluşturur. A ve B sabitlerdir.

$$\Delta G_{k-k} = -A \Delta G_V + B \gamma_{k-k} \quad (3.2)$$

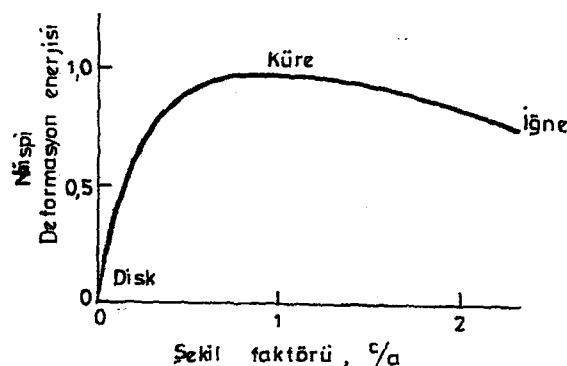
Katı-katı dönüşümlerinde, matris ve ikinci faz arasındaki

deformasyon enerjisini ΔG_{k-k} ifadesine eklemek gereklidir. Böylece serbest enerji ifadesi,

$$\Delta G_{k-k} = -A \Delta G_V + B \gamma_{k-k} + C \Delta G_E \quad (3.3)$$

şeklinde yazılır. A,B,C sabitler, ΔG_E deformasyon enerjisidir. ΔG_{k-k} ifadesi çökelen fazların ve matrisin bilesimlerine,kristal yapılarına, elastik sabitlerine bağlıdır. ΔG_E ifadesi partiküllerin şekil faktörüne bağlı olarak değişiginden a ve b eksenlerine sahip elipsoid için şekil faktörü f, b/a (partikül eksantirigi) ile değişir. Bu Naborra tarafından şekil 3.1 de gösterildiği şekilde ifade edilmiştir.

Disk şeklindeki partikül en düşük deformasyon enerjisine sahip olurken en fazla yüzey enerjisine sahip olmaktadır.Küre şeklindeki partikülde ise en büyük deformasyon enerjisi ile en düşük yüzey enerjisi elde edilmektedir.İgne şeklindeki partikül kararsız durumda bulunurken, disk şeklindeki partikül en kararlı durumdadır.



Şekil 3.1- Bir çökeltti partikülünün deformasyon enerjisinin şekil faktörü ile değişimi [4].

Partiküllerin şekillerine bağlı olarak matris ile oluşturdukları ara yüzeyler uyumlu, yarı uyumlu veya uyumsuz olarak tanımlanır. Matris ile çökeltinin latis parametreleri tamamen uyarسا $\Delta G = 0$ olur ve ara yüzey uyumludur. Tersine matris ve çökelti fazları arasında hiçbir uyum söz konusu değilse ara yüzey uyumsuzdur, $\Delta G \neq 0$ dır. Basit olarak tamamıyla uyumlu arayüzeyler en sıkı paket edilmiş düzlemler ve yönlerde gerçekleşir. Örneğin YMK latiste (111) ile SPH latiste (0001) düzlemi, YMK latiste [110] ile SPH latiste [2110] yönü özdeştir ve tamamıyla uyumludur.

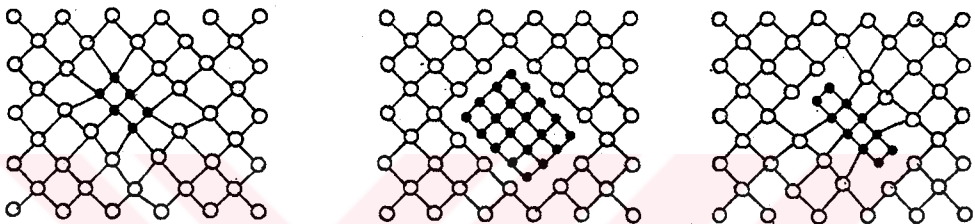
$$(0001)_{\text{SPH}} // (111)_{\text{YMK}}, [2110]_{\text{SPH}} // [110]_{\text{YMK}}$$

Yarı uyumlu arayüzeylere oryantasyon ilişkisi uygunlanmak istediginde bazı ek bilgilere gereksinim duyulur. Bunlar, uyumsuzluk parametresinin (δ) hesaplanması ve arayüzeydeki dislokasyon yoğunluğunun bilinmesidir. Dislokasyonlar, arayüzeydeki elastik deformasyon enerjisinin giderilmesini sağlayabilirler. Dislokasyonların yoğunluğu ise matris ve çökelti atomlarının yerleşimlerindeki uyumsuzluk parametresi ile bulunabilir.

$$\delta = a_\alpha - a_\beta / a_\alpha \quad (3.4)$$

a_α ve a_β , seçilen bir yöndeki matris (a_α) ve ürünün (a_β) atomlar arası mesafesidir. $\delta = 0$ ise arayüzey uyumlu, $\delta \geq 0,25$ ise arayüzey uyumsuz, $0,05 \leq \delta \leq 0,25$ ise dislokasyonlar ile düzenlenebilen ve yarı uyumlu arayüzey oluşmuştur. Örneğin, $\delta = 0,05$ ise dislokasyon yaklaşık 20

atom genişliği içinde oluşmaya eğilim göstermektedir, böylece elastik enerji minimum olur ve tamamıyla uyumlu arayüzey oluşur, uyumlu arayüzeyin enerjisi yaklaşık $0,1 \text{ J/m}^2$ dir. Yarı uyumlu arayüzeyin enerjisi ise arayüzeydeki



a) Uyumlu arayüzey b) Uyumsuz arayüzey c) Yarı uyumlu arayüzey

Sekil 3.2 - Sematik olarak arayüzeylerin atomik düzenleri [4].

dislokasyon yoğunluğunun kısmen artmasından dolayı artış göstermekte ve yaklaşık $0,5 \text{ J/m}^2$ değerine ulaşmaktadır [4]. Bu değer uyumsuz arayüzeyin enerjisinin yarısı kadardır.

Embriyoların oluşumu ve büyümesi sisteme deki enerji durumuyla tamamıyla ilişkilidir. Embriyo boyutu, kritik değere ulaştıktan sonra aktivasyon enerjisine bağlı olarak

oluşan çekirdek, uyumlu veya uyumsuz arayüzeyler oluşturabilir.

Başlangıç fazı içinde ürün fazının çekirdekleşmesi homojen veya heterojen çekirdekleşmeyle oluşur. Homojen çekirdekleşme kusursuz bir latiste meydana gelir, pratikte ise çok nadir oluşur. Çekirdekleşme daha çok heterojen olarak oluşur. Heterojen çekirdekleşme atom boşluklarında, dislokasyonlarda, tane sınırlarında, faz sınırlarında oluşur ve homojen çekirdekleşmeden daha az enerji ile gerçekleşir. Bunun nedeni, kristal hatalarının oluşturduğu enerjinin ΔG_D , aktivasyon enerjisi engelinin aşılmasıında yardımcı olmasındandır. Serbest enerji değişimi,

$$\Delta G_{k-k} = - A \Delta G_V + B \gamma_{k-k} + C \Delta G_E - D \Delta G_D \quad (3.5)$$

şeklinde yazılabilir. A,B,C,D sabitlerdir. Atom boşlukları veya atom boşluğu kümeleri yaşılandırma işleminde süratli soğutma sonucunda oluşur ve heterojen çekirdekleşme yerleri olarak uygun yerleri meydana getirirler. Atom boşlukları yardımıyla meydana gelen çekirdekleşmeyle, çökeltilerin matrisinde bol bir şekilde dağılması sağlanır. Bu tip çökelme, matrisin sürekli ve üniform olarak bütün hacminden (tane sınırları hariç) çözünen elementin tükenmesinden dolayı sürekli çökelme olarak adlandırılır. Tane sınırları ve dislokasyonlar taşıdıkları enerjiden dolayı uygun çekirdekleşme yerlerini oluşturular. Tane sınırında çökelti-matris ve matris-matris arasındaki enerjinin farklılığı ve sınır gerilmeleri tanenin şeklini belirler. Difüzyon yardımıyla heterojen çekirdekleşme gelişir. Tane sınırı çökeltilerinin büyümeye kinetigi, arayüzey sınırlarındaki uyum derecesinin bir fonksiyonudur ve bu nedenle tane sınırı çökeltilerinin büyümeye morfolojileri, çoğulukla çökelti ve matris taneleri

arasındaki uyumlu/uyumsuz ilişkileri yansıtır [5].

Katı-katı faz dönüşümlerinde sabit sürede dönüşümü tamamlanacak miktar Avrami denklemi yardımıyla bulunur. Çökelti oluşumları genellikle



şeklinde gerçekleşir. α fazının başlangıçtaki ve sonuçtaki bileşimine göre β fazının bileşimi oluşur. Çökelti reaksiyonunun hızı, difüzyon hızı ile kontrol edilir. Sabit sıcaklıkta, sabit sürede çökelti miktarı reaksiyonun cinsine bağlıdır ve Avrami denkleminde kullanılan n nin değeri katı haldeki dönüşüm reaksiyonuna göre değişir [6,7].

$$y = 1 - \exp(-kt)^n \quad (3.7)$$

3.7 eşitliğine göre , çökelti partikülü büyüğü zaman

1-Cekirdekleşme hızı sabit ise $n=2,5$

2-Cekirdekleşme hızı sıfır ise $n=1,5$

3-Igne şeklindeki çökeltilerin büyümelerinde $n=1$

4-Levha şeklindeki çökeltilerin büyümelerinde $n=0,5$

5-Dislokasyonlarda büyümeye halinde $n=2/3$

6-Disk şeklindeki çökeltilerin büyümesi $n=2$

olarak alınır .

3.2- YAŞLANMA

Yaşlanma gösteren bir alaşım sisteminde esas itibarıyle, artan sıcaklıkla birlikte çözünürlüğün artışı ile karakterize edilen, sıcaklığa bağlı dengeli bir katı eriyik oluşur. Alüminyum alaşımlarının çoğunda bu koşulun var olmasına rağmen, bunların bazıları çok az çökeltme sertleştirmesi gösterir. Örneğin, Al-Mn, sisteminde ötektik sıcaklıkta manganez alüminyum içerisinde %1,8 çözünür. Denge diyagramında alüminyum katı erigiyle beraber oluşan faz $MnAl_6$ fazıdır. %1,9-4,1Mn içeren sıvı çözeltiden esas olarak ayrılan $MnAl_6$ dir. Bu faz katı eriyik içinde disperse olarak dağılır. Disperse olmuş fazın ısıl işlemle mukavemeti etkilemesi söz konusu degildir. Bu nedenle alaşım soğuk işlemle sertleştirilebilir. Al-Si sistemi de her iki ucta sınırlı katı eriyik oluşturan basit bir ötektik sistemdir ve ötektik sıcaklıkta %1,65Si, %0,5Al çözünür. Katı eriyik dışında faz yoktur. Dolayısıyla ısıl işlemle sertleştirilemez. Al-Mg sisteminde magnezyumun katı eriyikte geniş bir çözünme alanı vardır, %7Mg dan küçük magnezyum içeren alaşımarda kayda değer bir çökeltme sertleşmesi görülmez. Buna karşı soğuk işlemle sertleştirilebilir. Al-Cu, Al-Zn, gibi ikili alaşımalar ve Al-Cu-Mg, Al-Zn-Mg, Al-Mg-Si gibi üçlü alaşımarda ise çökeltme sertleştirmesiyle malzemenin sertlik ve mukavemetinde önemli değişiklikler oluşur ve yaşlandırma işlemi sonucunda mekanik özellikler değişmiştir [8].

Al-Zn-Mg alaşımında yaşlandırma işlemi sonucunda oluşan çökeltiler, alaşımın özelliklerini büyük oranda etkiler. Bu nedenle, yaşlanma işlemiyle oluşan tane içinde ve tane sınırlarındaki çökeltilerin boyutu, dağılımı, morfolojisi, çökeltisiz zonun (PFZ) genişliği mikroyapısal faktörler olarak incelenilir.

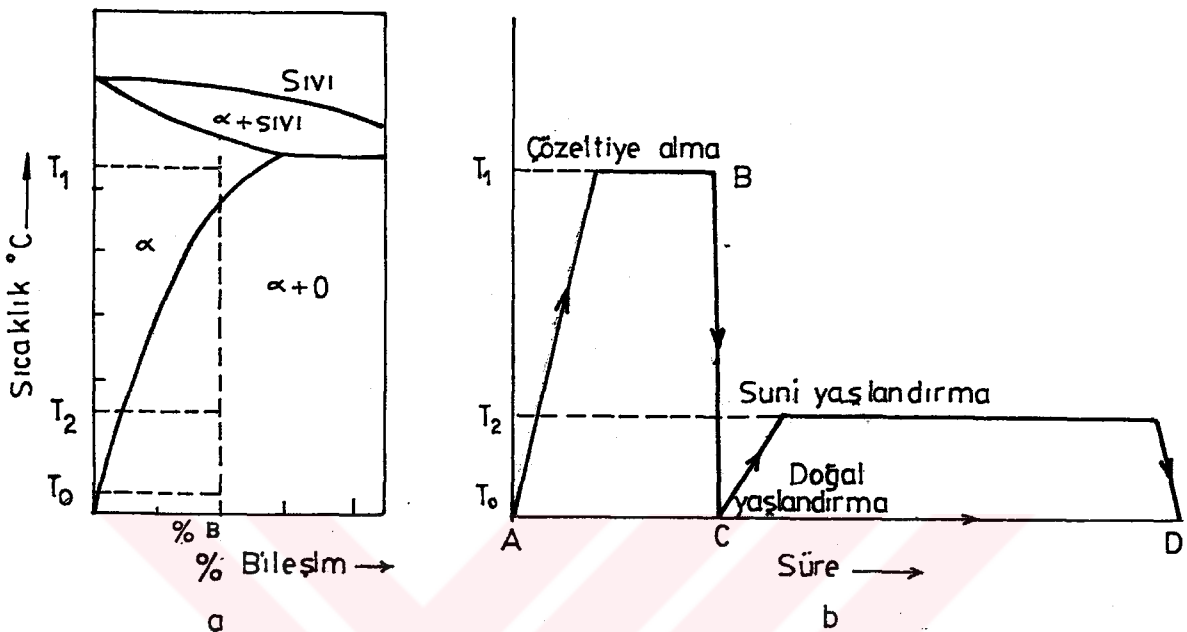
Alaşımına uygulanan yaşlandırma işlemi farklı olmasına rağmen, hemen hemen bütün araştırmacıların uyguladıkları işlem sırası aşağıdaki şekilde dir:

- a) Çözeltiye alma ısıl işlemi
 - b) Suverme işlemi
 - c) Yaşlandırma (çökeltme) işlemi
- Doğal yaşlandırma veya yapay yaşlandırma

3.2.1-Cözeltiye Alma ısıl İşlemi

Çökeltme yaşlandırmasının ilk kademesinde yapılan çözeltiye alma işleminde amaç, yüksek sıcaklıktaki çözünürlüğün artmasından faydalananarak yapıdaki bileşik ve çökeltileri tek faz içinde çözündürmektir. Alüminyum alaşımlarının çözeltiye alma ısıl işlemi 420-520 °C aralığında yapılmaktadır. Çözündürme oranını artırmak ve maksimum çözündürmeyi sağlamak amacıyla çözeltiye alma sıcaklığının olduğunda yüksek tutulmasında fayda vardır. Şekil 3.3 de yaşlandırma uygulanabilen alaşima ait bir denge diyagramı ve yaşlanma işleminin kademeleri görülmektedir.

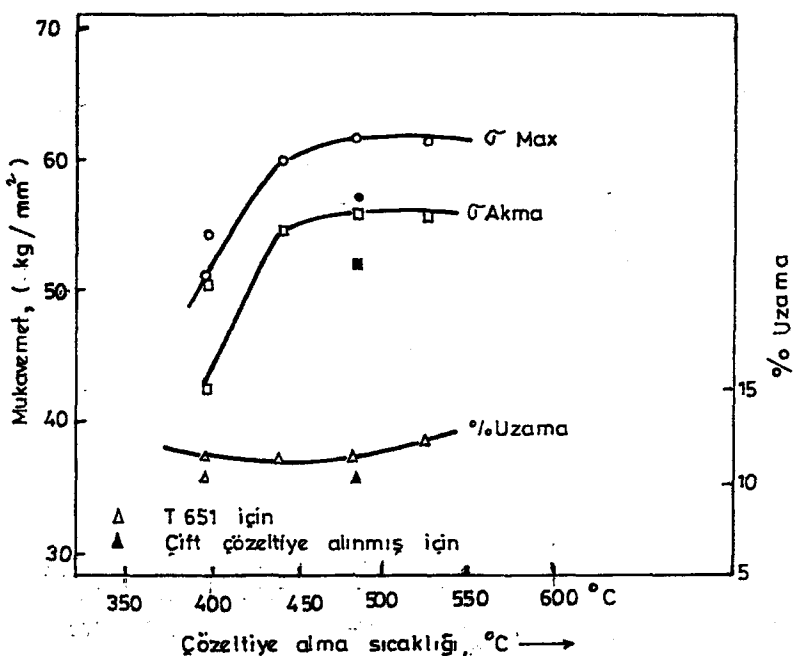
Alüminyum alaşımı için çözeltiye alma sıcaklığı alaşımın bileşimine ve istenen özelliklere göre değişmektedir [9,10]. 7075 Alüminyum alaşımı için çözeltiye alma sıcaklığı genellikle 465°C dir. Shastry ve arkadaşları [11] yaptıkları çalışmaya göre, çözeltiye alma sıcaklığının bağlı olarak akma ve çekme mukavemeti 393-438°C aralığında artmış ve sıcaklığın daha fazla artırılması



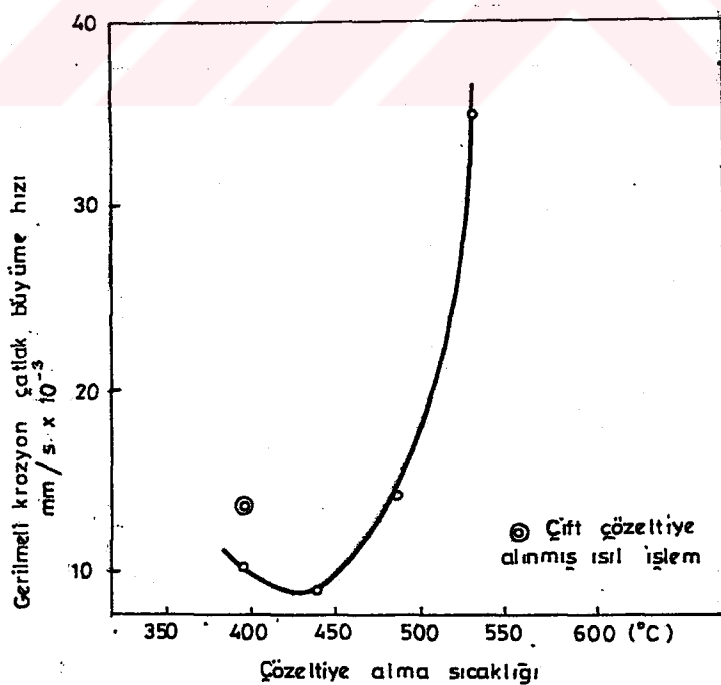
Şekil 3.3a- Yaşlandırılma yapılabilen bir alaşımı ait denge diyagramı

b- Yaşlanma işleminin kademeleri [12].

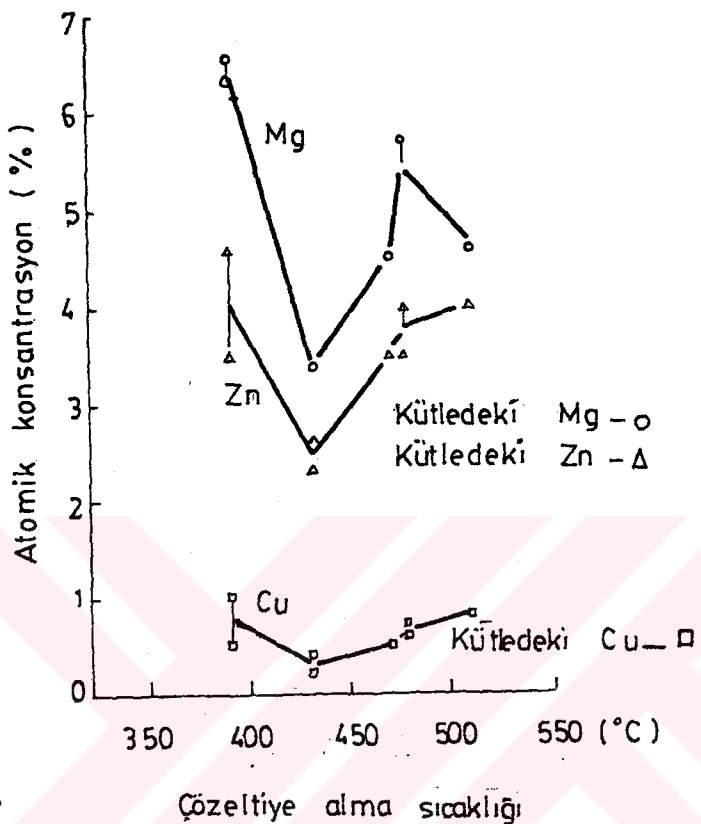
önemli bir değişilik oluşturmamıştır (Şekil 3.4). Benzer şekilde gerilmeli korozyon çatlığı büyümeye hızı (Şekil 3.5) 438°C ye kadar azalmış ve sonra artan sıcaklık ile hızla artmıştır. Tane sınırlarında eriyen element konsantrasyonunun artması, korozyon potansiyelini yükseltir ve taneler arası çatlak ilerlemeye hızını artırır. Auger elektron spektroskopisi ile yapılan çalışmaya göre 438°C ye kadar tane sınırlarında eriyen element konsantrasyonu azalmakta, 482°C den yüksek sıcaklıklarda ise artmaktadır (Şekil 3.6) [10]. Şekil 3.4, 3.5, 3.6 dan da görüleceği gibi 7075 Alüminyum alaşımı için 465°C optimum çözeltiye alma sıcaklığı olarak uygundur.



Şekil 3.4-7075-T6 Al alaşımının akma mukavemeti, çekme mukavemeti ve % uzama özelliklerine çözeltiye alma sıcaklığının etkisi [11].



Şekil 3.5- 7075-T6 Al alaşımında çözeltiye alma sıcaklığı ile gerilmeli korozyon çatlağı hızının değişimi [11].

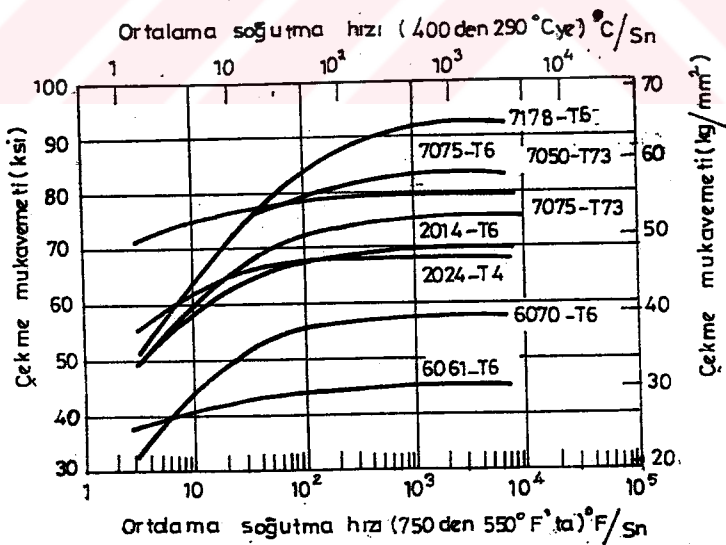


Şekil 3.6- Bakır, çinko ve magnezyumun atomik konsantrasyonlarının, 7075 alüminyum合金ının kırılma yüzeyinde, çözeltiye alma sıcaklığı ile değişimi [10].

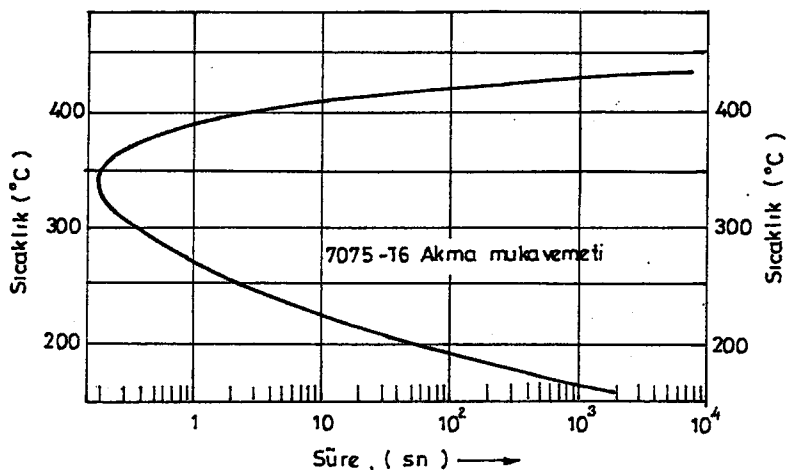
Çözeltiye alma işleminde sıcaklık kadar o sıcaklıkta tutma süreside önemlidir. Çözeltiye alma işlemi tuz banyosunda veya fırında yapılabilir. Çözeltiye alınacak parçanın kalınlığına bağlı olarak tutma süresi dakika olarak standartlarda verilmiştir .

3.2.2-Suverme İşlemi

Cözeltiye alma işlemini takiben suverme işleminde soğuma hızı yavaş olursa alaşımın özelliklerini kötü yönde etkileyen iri çökeltiler oluşur. 7075 Alüminyum alaşımı 400-290°C aralığında yavaş soğutulmamalıdır [13,14]. Suverme zamanı parça kalınlığına bağlı olarak standartlarda verilen süreleri aşmamalıdır. Alüminyum alaşımları suverme hızına karşı hassasdır, şekil 3.7 ve 3.8 de görüleceği gibi, suverme hızının artması mukavemetin artmasına neden olmaktadır.



Şekil 3.7- Çeşitli alüminyum alaşımlarında soğuma hızının mukavemete etkisi [8].



Şekil 3.8- Al-Zn-Mg Alüminyum合金ının
C-eğrisi [8].

3.2.3-Al-Zn-Mg Alaşımalarında Yaşlandırma Karakteristikleri

Al-Zn-Mg合金 sisteminde Zn ve Mg miktarlarına bağlı olarak oluşacak kararlı faz γ ve T kararlı fazlardır. Oluşan çökeltiler $MgZn_2$ (γ fazı), $Mg_3Zn_3Al_2$ veya $(AlZn)_{49}Mg_{32}$ (T fazı) şeklindedir [15-18].

Yaşlandırma işleminde, aşırı doymuş yapıdan kararlı fazların oluşması genel olarak,

Aşırı doymuş (α) \rightarrow GP zonları \rightarrow Geçiş fazı \rightarrow kararlı fazlar

şeklinde olduğu kabul edilmiş [19-22] olmasına rağmen, 7000 grubu alüminyum合金ları için yaşlandırma işlemi esnasında oluşan çökeltilerin oluşma evreleri hakkında

çeşitli görüşler ileri sürülmüştür. Bunlar ,

Aşırı doymuş (α) $\rightarrow \alpha + GP$ zonları $\rightarrow \alpha + \gamma' \rightarrow \alpha + \gamma$

Aşırı doymuş (α) $\rightarrow \alpha + GP$ zonları $\rightarrow \alpha + \gamma$

Aşırı doymuş (α) $\rightarrow \alpha + \gamma' \rightarrow \alpha + \gamma_2$

Aşırı doymuş (α) $\rightarrow \alpha + \gamma$

şeklinde özetlenebilir [23-26]. Yaşılandırma işlemi sonucunda oluşan çökeltilerin sırası nasıl değişimse değişim, alaşımın özellikleri üzerinde büyük etkiye sahip oldukları bilindiğinden, fazların ayrı ayrı özellikleri bilinmelidir.

7075 Alüminyum alaşımına uygulanan klasik ısıl işlemlerden T6 ısıl işlemi ile en yüksek mukavemet değerine sahip yapı oluşurken, T7 ısıl işlemi sonucunda elde edilen yapının gerilmeli korozya dayanımı yüksek olmakta fakat mukavemet değeri T6 durumuna göre düşmektedir. Tablo 3.1 de 7075 alaşımına uygulanan klasik ısıl işlemlerle ilgili bilgiler verilmiştir.

Tablo 3.1-7075 Al alaşımına uygulanan klasik ısıl işlemler ile ilgili değerler [27].

Alaşımın ısıl Yaşılandırma Yaşılandırma Sertlik Elektrik işlem durumu	sıcaklığı (PC)	zamanı (saat)	iletkenliği (RB)	(%IACS)
7075(0)	-----	-----	22maks.	44.0-48.0
7075-T6	121	24	84min.	30.5-36.0
7075-T73	107+178	8 + 8	78min.	38.0-43.0

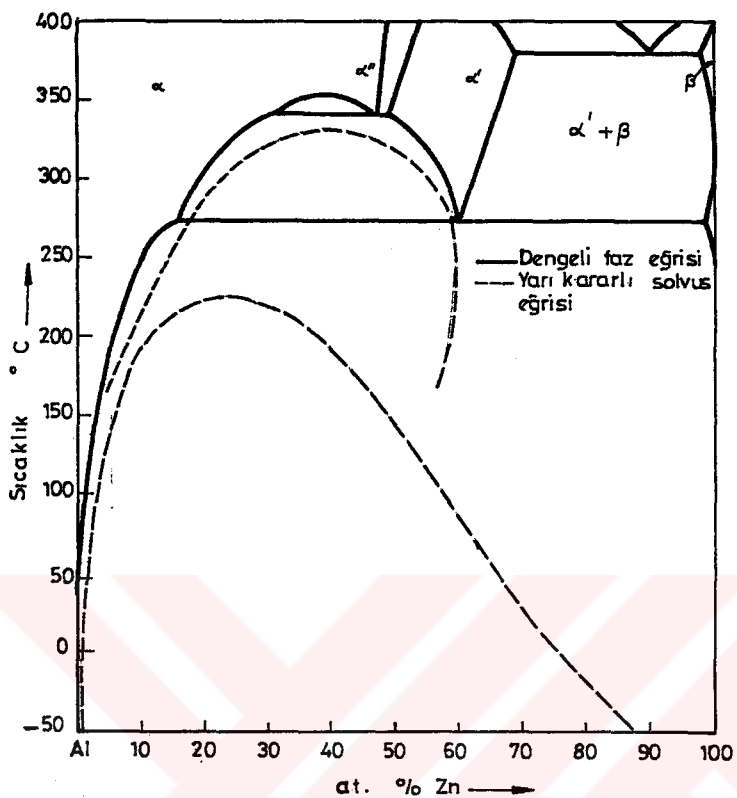
* Çözeltiye alma ısıl işlemi (465°C de 1 saat tutma) + derhal su verme işleminden sonraki değerler.

3.2.3.1-GP Zonları

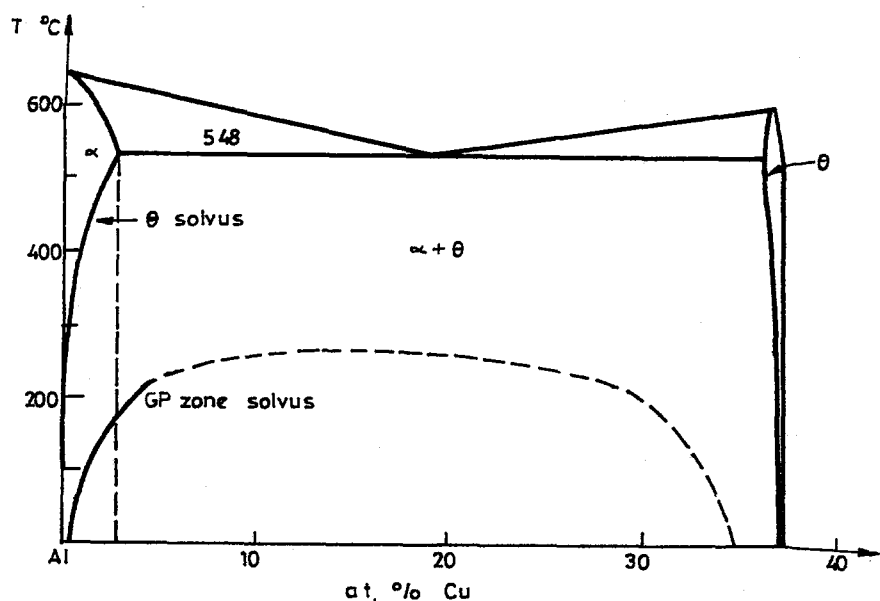
GP zonları, yaşlanmanın ilk safhasında oluşan çok küçük ($<3\text{nm}$), çözünen elementçe zengin kümelerdir. Bu kümelere, birbirlerinden bağımsız olarak yaptıkları x-işinleri difraksiyon çalışmaları sonucunda, varlıklarını saptayan iki araştıracının adlarından dolayı Guinier-Preston Zonları veya kısaca GP zonları adı verilmiştir.

GP zonlarının bileşimi alaşımın bileşiminden bağımsız olmakla beraber GP zonları yarı kararlı ve stokiomimetrik fazlar olarak oluşturmaktadır. Bu durum, herhangibir denge diyagramında gösterilen fazlardan daha az kararlı olmalarına rağmen Al-Zn ve Al-Cu ikili denge diyagramında (Şekil 3.9 ve 3.10) noktalı çizgiler GP zonlarının oluşum alanının sınırlarını gösterir.

7075 Alüminyum alaşımında, GP zonları düşük sıcaklıklarda ($T \leq 750^\circ\text{C}$) aşırı yaşlandırma sonucunda oluşan ilk ayırtma ürünüdür. Al-Zn-Mg alaşımlarında bileşimi $\text{Al}-\text{MgZn}_2$ faz alanı içindedir. Küreseldir ve YMK yapıda bulunur. GP zonları $750\text{-}1500^\circ\text{C}$ aralığında x-işinleri çalışmalarının sonuçlarına göre (100) matris düzlemlerine paralel ve alternatif olarak dizilmiş Zn-, Mg- ile zenginleşmiş tabakalardan oluşmuştur. GP zonlarının Zn ve Mg içeriği Zn/Mg oranına bağlı olarak değişmektedir. $0,5 \leq \text{Zn/Mg} \leq 2$ aralığında zonun Zn konsantrasyonu yaklaşık % 40 Zn oranına ulaşırken, Mg konsantrasyonu % 20 Mg -% 60 Mg aralığında değişmektedir. Zn/Mg oranı > 2 ise GP zonunun



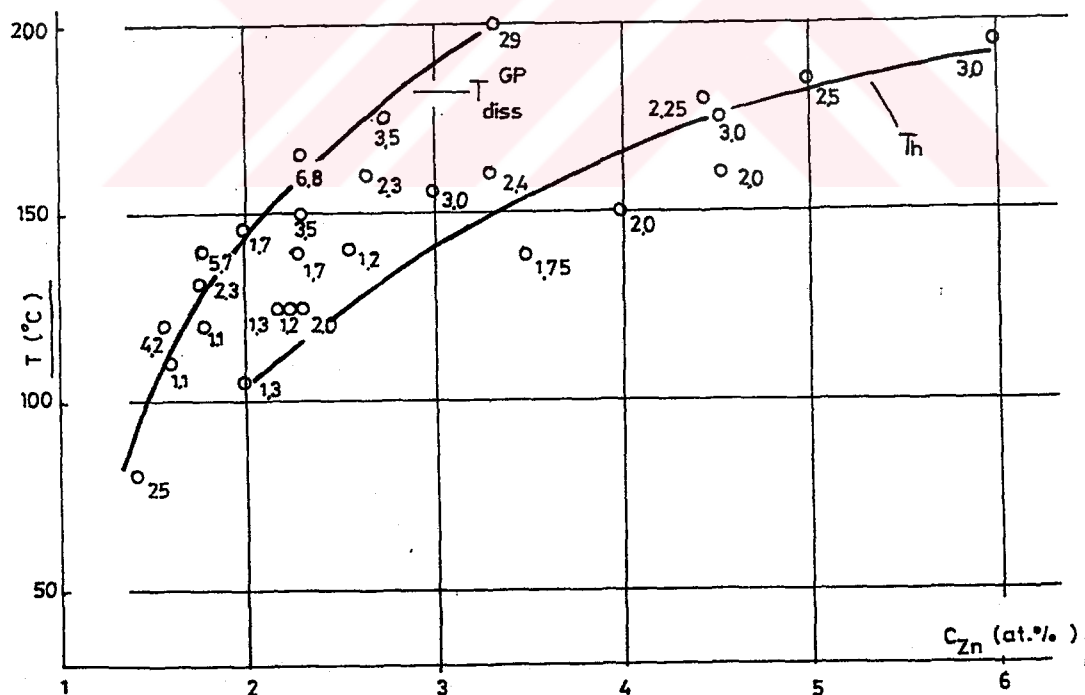
Şekil 3.9- Al-Zn denge diyagramı [28].



Şekil 3.10- Al-Cu denge diyagramı [29].

Zn içeriği oda sıcaklığında % 40 Zn yu aşabilmektedir, Zn/Mg oranının yüksek değerleri için Al-Zn ikili alaşımında ulaşılan değer olan %70 Zn değerine ulaşmaktadır [17,28,30-33].

Al-Zn-Mg alaşımlarında GP zonunun oluşma ve ayırtma sıcaklığı alaşımın bileşimine bağlıdır. Mg konsantrasyonuna bağlı olarak alaşımların temel özellikleri önemli değişiklik göstermediginden, yarıkararlı faz diyagramlarında Zn konsantrasyonu kullanılmaktadır. Şekil 3.11 de % Zn ya bağlı olarak GP zonun oluşum ve ayırtma sıcaklıklarını görmektedir. 7075 alaşımına ait % Zn değerine göre şekil 3.11 den görülebileceği gibi alaşımında GP zonu 1900°C nin altında oluşmaktadır [17,30-33].



Şekil 3.11-Zn konsantrasyonuna göre GP zonun oluşum üst sınırı T_h ve GP zonun ayırtma sınırı GP_{diss} (Noktalardaki sayılar Mg konsantrasyonlarını gösterir) [17].

GP zonlarının oluşumu, çekirdeklesme ve büyümeye teorilerine göre homojen çekirdeklesme sonucunda meydana gelmektedir ve matris ile oluşan arayüzey enerjisinin oldukça düşük olması gerçegi ile kalitatif olarak uygundur. GP zonlarının çekirdeklesmesi, su vermeden hemen sonra matriste Zn ve Mg atomlarının toplanmasının tamamlanmasından sonra oluşmaktadır. Bu prosesin hızı, magnezyum atomlarının toplanma ve eriyen atomları saran boşluklar veya eriyen atom kümeleri ile kontrol edilmektedir [22,34-38].

Zonların büyümesi, küçük zonların çözünmesi ve çözünen zonlara ait atomların daha geniş boyutlu zonlar ile birleşmesiyle oluşmaktadır. Büyüme zonların toplam sayısını azaltmakta ve ortalama çaplarını artırmaktadır. Bununla beraber bu büyümeye esnasında zonun ortalama bileşimi ve zonların ortalama hacmi sabit kalabilir. Aşırı doymuşluğun azalmasıyla ve ayrıca uyumlu deformasyonlar ile işlem yavaşlamaktadır.

GP zonlarının mukavemet etkisi araştırılmış [39,40] ve sadece GP zonları ile mukavemeti tanımlamanın güç olduğu ifade edilmiştir [8].

3.2.3.2- β' Fazı

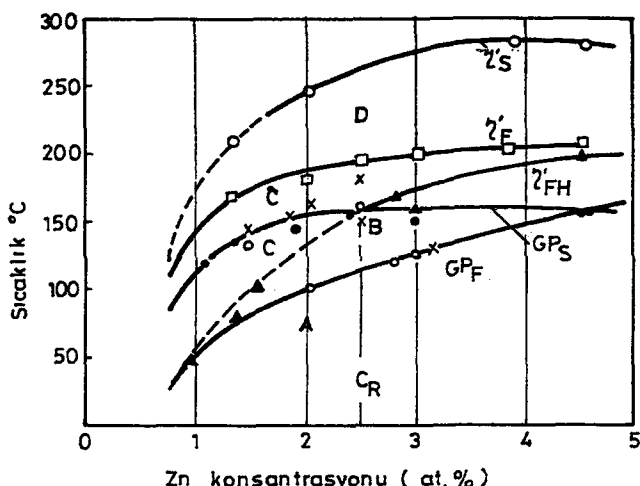
Al-Zn-Mg üçlü sistemde Al-MgZn₂ faz alanı içinde bulunan β' geçiş fazının ilk defa Graf tarafından gözleendiği ve Graf'a göre hekzagonal yapıda olup $a=4,96 \text{ \AA}$, $c=6d$ [11] $A1=14,03 \text{ \AA}$ olduğu belirtilmektedir [17]. Mondolfo ve arkadaşları [41] ise $a=4,96 \text{ \AA}$ ve $c=8,68 \text{ \AA}$ latis parametresiyle hekzagonal yapıda olduğunu açıklamışlardır. Satyanarayana [28,32] Al-Zn alaşımları için β' nün solvüs eğrisini belirlemeye çalışmıştır.

Gjönnes ve Simensen [25] 130⁰-150⁰C aralığında yaptıkları çalışmada geçiş fazı γ' nün levha şeklinde {111} Al düzlemlerinde olduğunu ve $a=b=4,97 \text{ \AA}$, $c=5.54 \text{ \AA}$ ve $\gamma=120^{\circ}$ ile monoklinik yapıda olduğunu göstermişlerdir. DeArdo ve Simensen [23] 100⁰-180⁰C aralığında iki aşamalı yaşandırma yaparak γ' , γ_1 ve γ_2 çökeltilerinin varlığını kanıtlamış ve γ' nün GP zonundan şekillendigini ileri sürmüştür. Embury ve Nicholson [24] yaşanma işleminde çökeltilerin çekirdeklesme mekanizmasına çalışarak, yaşandırmanın başlangıcında küçük küresel ve levha şeklinde partiküllerin varlığını ileri sürmüştür. Küresel partiküllerin GP zonları olduğunu ve levha şeklindeki partiküllerin hekzagonal yapıda γ' olduğunu açıklamışlardır. γ' nün homojen çekirdekleşmesine, atom boşluğu-eriyen atom kümelerinin çekirdek görevi yaptığını ileri sürmüştür. Ryum [21] γ' çekirdekleşmesinin su vermeden sonra oluşan çok küçük atom boşluğu- eriyen atom kümelerinden ibaret olduğunu kabul etmiştir. Diger bazı araştırmacıların fikri ise γ' geçiş fazının şekillenmesi yapı hatalarında合金 elementi segregasyonu ile başlar şeklindedir. Yapı hatalarında oluşan γ' nün çekirdekleşmesi fikri daha sonra desteklenmiştir [17].

Lorimer ve Nicholson [31] iki adımlı yaşandırma- da γ' geçiş fazının oluşması için GP zonunun çekirdek rolü oynadığını kabul etmişlerdir. Ayrıca γ' çekirdekleşmesinin 155⁰C nin altında homojen, daha yüksek sıcaklıklarda ise heterojen olarak olduğunu bulmuşlardır. Ungar ve arkadaşları [33] Al-Zn-Mg合金ında γ' nün homojen-heterojen çekirdekleşmesini Zn konsantrasyonuna göre farklı kararsız faz sınırlarını gösteren denge diyagramına dayanarak

açıklamışlardır. Sekil 3.12 göre % 2,5 Zn kritik deger olarak alınmakta ve % 2,5 Zn dan küçük cZn içeren alaşımılarda γ' çekirdekleşmesi için boşluk-eriyen atom kümelerinin önemli olduğu, fakat bütün GP zonları çözünse bile aşırı doymuşluk γ' nün homojen çekirdekleşmesi için yeterli olmayabilir. Bu basit olarak ,bu konsantrasyon alanında GP_s çizgisinin, $\gamma'FH$ çizgisinin uzatılmış kısmının üzerinde olmasından dolayıdır. Sabit bir çinko konsantrasyonunda homojen γ' çekirdekleşmesi için gereken aşırı doymuşluk,buna uyan sıcaklıkta, GP zonlarının toplam miktarının çözünmesi ile meydana gelebilenden çok daha fazladır. GP zonları γ' oluşumundan evvel çözünmekte,% 2,5 Zn dan büyük çinko konsantrasyonlarında (cZn) ise γ' nün homojen çekirdekleşmesi GP zonlarının dönüşümünün tamamlanmasından önce başlamaktadır. Bu nedenle % 2,5 Zn dan büyük Zn konsantrasyonlarında GP zonlarının dönüşümü kısmi olacaktır.

Tamamen veya kısmen uyumsuz çökeltilerin oluşması için %2.5Zn dan fazla çinko içeren alaşımılarda uyumlu GP zonundan çok yüzey enerjiye gereksinim duyulmaktadır. Tek aşamalı yaşıldırmalarda kararlı fazlar veya γ' nün çekirdekleşmesinin tane sınırında,dislokasyon halkalarında ,dislokasyonlarda yer alacağı tahmin edilebilir. Keza yaşıldırmanın başlangıcında çekirdeklesen ve büyüyen GP zonlarının uygun yaşıldırma sıcaklıklarında γ' fazının heterojen oluşumu için çekirdek yerleri olarak rol oynayacağı beklenilebilir. Gerçekte de, Al-Zn-Mg alaşımılارının iki aşamalı yaşıldırmalarında GP zonu kararlı çökeltilerin çekirdek potansiyeli görevini üstlenmekte ve GP zonu diğer çökeltilerin oluşmasını gerçekleştirmektedir [17].



Şekil 3.12-Zn konsantrasyonuna bağlı olarak Al-Zn-Mg
alaşımlarına ait kararsız faz diygramı [33].

o : Zon oluşum üst sıcaklık limiti, T_F^{GP} . Bu sıcaklıklarını
birleştiren çizgi GP_F sembolü ile gösterilmiştir.

x ve o : Sırasıyla akma gerilmeleri ve SAXS
ölçümüleri ile bulunan GP zonlarının tersinir dönüşüm
sıcaklıklarını. Bu sıcaklıklar GP zonlarının solvüs eğrisini
oluşturur (GP_S)

Δ : γ' fazı için homojen / heterojen çekirdekleşme sınırını
gösterir, bu noktaları birleştiren faz sınırı çizgisi γ'_F
olarak verilmiştir.

■ : γ' fazının oluşum üst sıcaklık sınırını gösterir. Bu
noktalar γ'_F çizgisini oluşturur.

○ : γ' fazı için solvüs sıcaklığıdır, yarı kararlı faz
sınırı, γ'_S
olarak belirtilmiştir.

3.2.3.3- γ ve T Kararlı Fazlar

Al-Zn-Mg alaşımlarında kararlı faz olarak $MgZn_2$
formülü ile gösterilen γ fazı, hekzagonal kristal
yapısında, latis parametresi $a=5,16-5,21 \text{ \AA}$,
 $c=8,49-8,55 \text{ \AA}$ dir [18]. $\approx 3\%$ Al kadar γ fazı

çözünebilmektedir. γ fazi uyumsuzdur ve genellikle uyumsuz veya yarı uyumlu bir arayüzeyde çekirdekleşmektedir. γ fazi alüminyum matris ile uyumsuz sınırlar oluşturmaktadır. γ fazının matris ile dokuz farklı oryantasyon ilişkisinin varlığı gözlenmiştir[25]. γ_1 den γ_9 kadar kodlanan tipleri bulunmaktadır. Bu tiplerden daha çok γ_1 , γ_2 ve γ_4 mevcuttur. γ_1 ve γ_2 levha şeklinde, γ_4 dilim şeklinde morfolojiye sahiptir. Düşük sıcaklıklarda Mg/Zn oranı 1/3-1/2 aralığında kararlı γ fazi oluşmaktadır.

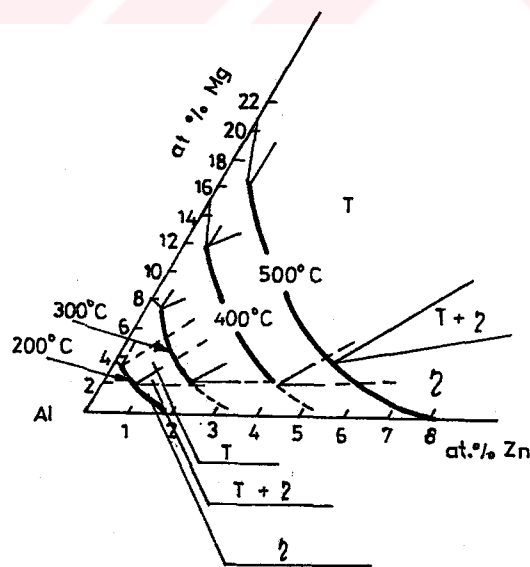
Kararlı faz olan T fazı, yüksek sıcaklıklarda oluşmakta ve bileşimi çok yüksek çinko ve magnezyum içermektedir. Bileşimi % 20-35 Mg, % 22-65 Zn ile geniş bir aralıktadır. $(AlZn)_{49}Mg_{32}$ veya $Mg_3Zn_3Al_2$ formülü ile karakterize edilir. Yaklaşık 1900°C nin üzerindeki sıcaklıklarda oluşmaktadır[17,18,22,25]. Kübik sistemde bulunur. Cinkonun artmasıyla latis parametresi 14,29 Å dan 14,71 Å na değişmektedir. Al matris ile uyumsuz sınırlar oluşturmaktadır ve matris ile farklı oryantasyon ilişkileri tablo 3.3 da verilmiştir. Şekil 3.13 deki Al-Zn-Mg alaşımına ait denge diyagramında görüldüğü gibi düşük sıcaklıklarda T fazının oluşum aralığı daralmakta ve 2000°C den yüksek sıcaklıklardaki yaşlandırma işlemlerinde oluşmaktadır. Bundan dolayı bazı araştırmacılar düşük sıcaklıklarda oluşan γ fazına ara faz adını vermektedirler($\gamma \rightarrow T$ dönüşümünün oluşması nedeniyle)[17]. T fazının kritik çekirdekleşme boyutu büyektür, iri çökelti yapısına uygun şekilde, büyük partiküllü olarak aşırı yaşlanmış alaşımlarda bulunmaktadır. Alaşım sisteminin mukavemetlenmesinde hiçbir önemli rolü yoktur [17].

Tablo 3.2-Al-Zn-Mg alaşımında η fazının alüminyum matris ile oryantasyon ilişkisi [25].

η fazı

Tip no Oryantasyon ilişkisi

1	(10.0) η_1 // (001) _{Al} , (00.1) η_1 // (110) _{Al}
2	(00.1) η_2 // (111) _{Al} , (10.0) η_2 // (110) _{Al}
3	(00.1) η_3 // (111) _{Al} , (11.0) η_3 // (110) _{Al}
4	(00.1) η_4 // (110) _{Al} , (12.0) η_4 // (111) _{Al}
5	(12.0) η_5 // (111) _{Al} , (30.2) η_5 // (110) _{Al}
6	(12.0) η_6 // (111) _{Al} , (20.1) η_6 // (112) _{Al}
7	(12.0) η_7 // (111) _{Al} , (10.4) η_7 // (110) _{Al}
8	(12.0) η_8 // (112) _{Al} , (00.1) η_8 // (311) _{Al}
9	(12.0) η_9 // (001) _{Al} , (00.1) η_9 // (110) _{Al}



Şekil 3.13-Al-Zn-Mg alaşım sisteminde ait denge diyagramında alüminyum kösesi [17].

Tablo 3.3-Al-Zn-Mg alaşım sisteminde T fazı ile alüminyum matrisin oryantasyon ilişkisi [17].

(100)_T // (112)_{Al} , (001)_T // (110)_{Al}
(100)_T // (110)_{Al} , (010)_T // (111)_{Al}
(100)_T // (110)_{Al} , (011)_T // (001)_{Al}
(100)_T // (110)_{Al} , (025)_T // (110)_{Al}

3.2.3.4-Çökelti içermeyen Zon (PFZ)

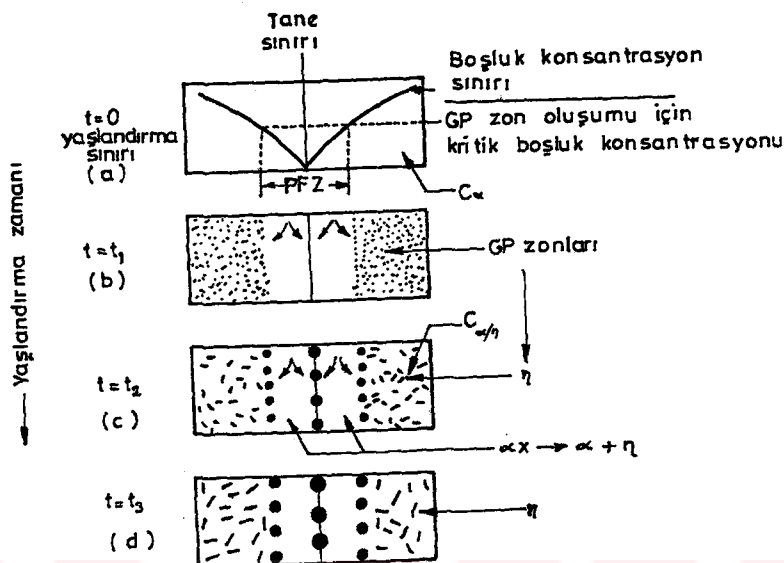
Çökelti içermeyen zon, yaşlandırma ile sertleştirilebilen alaşımında tane sınırı başta olmak üzere, alt tane sınırları ve iri dispersoidler civarında gözlenilir. Çökelti içermeyen zonun oluşumu, suverme esnasında tane sınırlarında atom boşluklarının toplanmasıyla, çökeltilerin çekirdekleşeceği yerlerin ve çözünen atomların azalmasıyla meydana gelir. PFZ Al-Zn-Mg alaşımının mekanik özellikleri ve gerilmeli korozyon özelliklerinde etkilidir [15, 42]. Tane sınırının civarındaki atom boşluklarının kısmi yok olması PFZ nin oluşumu için önemlidir. Tane sınırlarının civarları çevre alanlar kadar yaklaşık aynı doymuşluğa sahip olsalar bile PFZ oluşturmaktadır [26]. Embury ve Nicholson'na [24] göre atom boşlukları, çökeltilerin çekirdekleşmesi için gerekli kritik konsantrasyon nedeniyle önemlidir. GP zonun oluşması ve çökeltilerin çekirdekleşmesinin termodinamik koşulları için PFZ nin oluşmasında eriyen atom ve atom boşluğu konsantrasyonun önemi vurgulanmaktadır [24, 31, 43].

PFZ nin genişliği çözeltiye alma sıcaklığı ve çözeltiye alma zamanına, suverme hızına ve yaşlandırma sıcaklığına bağlıdır. Bu deneysel olarak 120°C ve 180°C de yaşlandırma işlemi yapılarak incelenmiş ve 120°C de dar PFZ

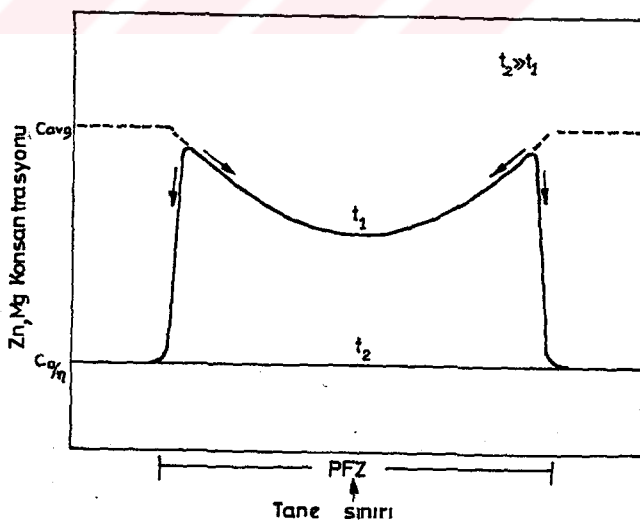
genişliği görüülürken, 180°C de daha geniş PFZ genişliğini gözlemiştir [24]. Chen ve arkadaşları [44] Auger elektron spektroskopisi (AES) ile yaptıkları çalışmada, aşırı yaşlanmış örneklerde çinko atomlarının tamamı PFZ içinde MgZn₂ çökeltileri şeklinde bulunduğu, toplam magnezyumun % 40 i çökeltilerde toplanırken, kalan % 60 magnezyumun tane sınırlarının birkaç atom tabakası kalınlığı içinde toplanmış olduğunu bulmuşlardır.

PFZ nin olduğu yerlerdeki, eriyen atom analizleri, yaşlandırmmanın başlangıcında eriyen atomların önemli bir azalış göstermedigine işaret etmektedir. Bu durumu, aşırı doymuş matrikten direk olarak çökelti partiküllerinin çekirdekleşmesinin güç olması nedeniyle çökeltilerin olmaması ve PFZ nin oluşmaya başlamasına atom boşluklarının neden olduğunu ortaya çıkarmaktadır[45]. Yaşlandırma esnasında çökeltilerin oluşması, matriksteki eriyen atom konsantrasyonunun hızla düşmesine neden olmaktadır. PFZ içindeki eriyen atom konsantrasyonu ise uzun süre yaşlandırma sonucunda bile matriksden yüksek kalabilmektedir. Konsantrasyon gradyanları tane sınırına doğru ve tane içlerine doğru difüzyonla ilerlemektedir (Şekil 3.14). Bunun sonucunda tane sınırında ve PFZ sınırlarındaki çökeltilerin ortalama boyutları tane içindeki çökeltilerin ortalama boyutlarından büyük olmaktadır.

Matrisde ve PFZ deki eriyen atom içeriğinin değişik olması EM-EPFZ arasında fark olmasına neden olabilmekte ve bu fark taneler arası kırılmayı kolaylaştırabilmektedir[46].

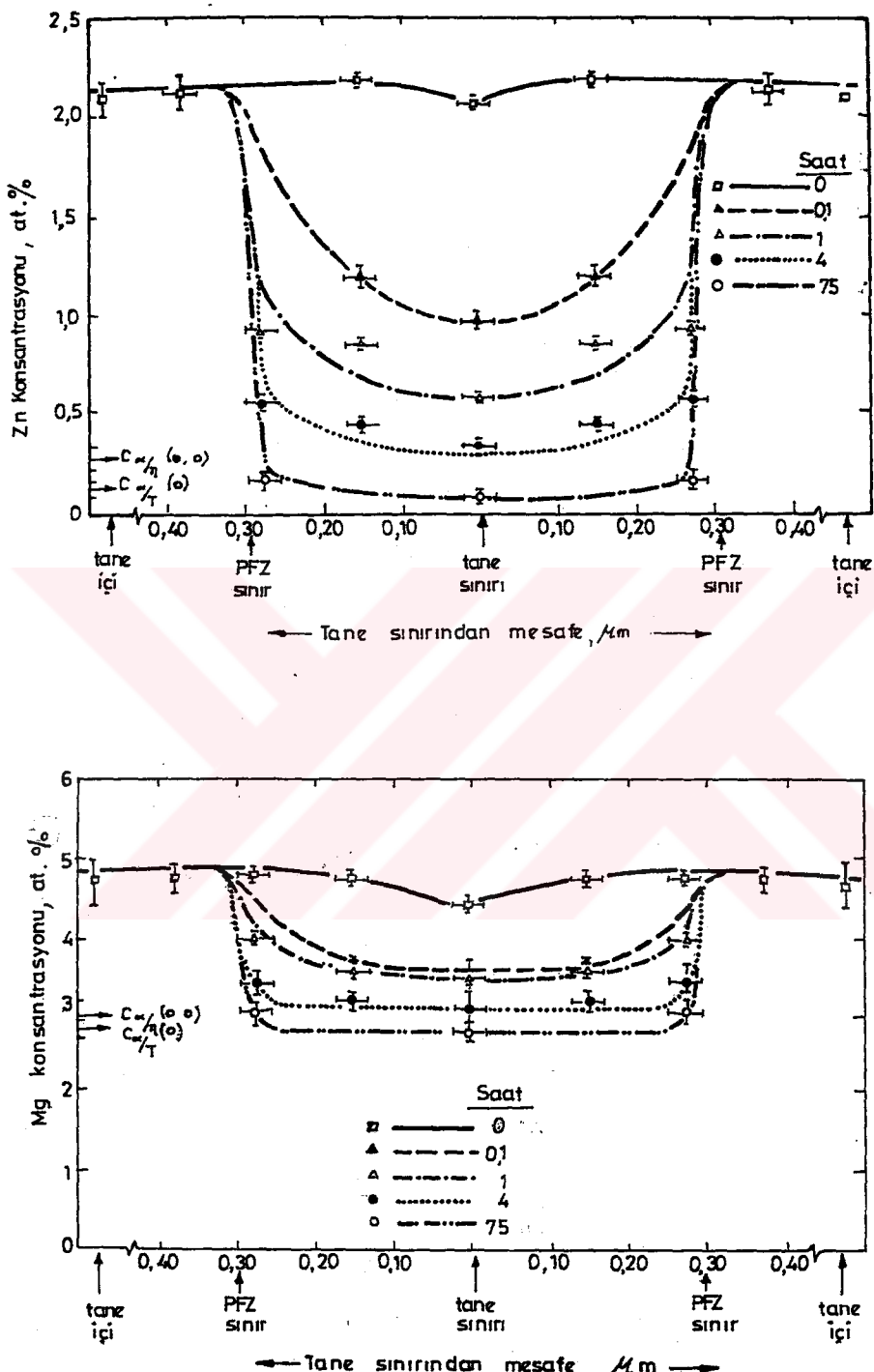


Şekil 3.14-Al-Zn-Mg da PFZ nin oluşmasının şematik gösterilişi[45].



Şekil 3.15-Al-Zn-Mg alaşımında eriyen atom konsantrasyonunun matris ve tane sınırında değişiminin şematik gösterilişi .

$C_{\text{av}}^{\text{avg}}$: Alaşımın eriyen atom konsantrasyonu[45].



Şekil 3.16-Al-22Zn-7Mg alaşımında a) Zn, b) Mg konsantrasyon gradyanları. (465°C de 1 saat çözeltiye alınmış, 200°C de 0,1, 1, 4 ve 75 saat yaşlandırılmış) [45].

3.3-7075 ALÜMİNYUM ALAŞIMI

Yüksek mukavemetli alüminyum合金alarından, 7000 serisine ait, ticari 7075 alüminyum合金ası uçaklarda yapı malzemesi olarak kullanılmaktadır. Bu合金 %5-6Zn, %2-3Mg, yaklaşık %1,5Cu ve az miktarda Cr, Mn, Ti, Zr ve Ag içerir. Alloyda Cr, Mn, Ti, Zr ve Ag kristalleşme davranışını kontrol etmek ve çökeltileri modifiye etmek için kullanılan elementlerdir. 7000 serisi合金ların mikroyapı karakterleri, çökelti tipi, morfolojisi, çökeltilerin dağılımı ile ilgili pek çok çalışma yapılmıştır [19, 44, 47-50]. Empürite atomlarının mikroyapıya etkilerini kısaca özetlendiginde,

- a) Çökeltiler oluşturabilir ve bazı elementlerin bağlanmasıını sağlayabilir,
- b) GP zonlarını stabilize edebilir (Ag, Cu, gibi),
- c) Yarı kararlı çökeltilerin oluşum enerjisini azaltabilirler (örnegin AlCu da lityumun davranışını),
- d) GP zonlarının oluşum hızlarını geciktirerek, boşlukları doldurabilirler (örnegin Si, V, Ti, gibi).

Al-Zn-Mg合金ının yaşlandırma işleminde gümüşün etkisi, %0,05Ag ilavesi ile 1000-2000°C aralığındaki yaşlandırma işlemleri sonucunda iyi mukavemet sağladığı, γ' nün homojen çekirdekleşme sıcaklığını yükselterek değiştirdiğini, keza合金ın plastisitesinde artış oluşturduğu gözlenmiştir. Gümüşün gerilmeli korozyon çatlagına olumlu etki yaptığı ve maksimum etkinin yaşlandırma sonucunda oluşacağı ifade edilmiştir [17, 31, 51].

Al-Zn-Mg合金ının ayrima işleminde % 0,002 ve %0,10 Si etkisi 100-225°C arasında görülmüştür. Alloydaki silisyum, Zn-Mg bileşiginin oluşumuna benzer şekilde Mg-Si

partiküllerinin oluşumunu gerçekleştirmektedir. 140°C de kısmi dönüşüm ile Mg-Si partiküllerinin var olduğu görülmüştür. %0,1Si içeren alaşımada 150°C den direk su verme sırasında sertlikte artış tespit edilmiştir. Sertlikteki artış Mg_2Si partiküllerinin oluşmasındanandır. Fe-Si kümeleri, Si veya Mg-Si kümeleri γ' nün çekirdekleşme yerleri olarak önemlidir[17]. Fe-Si gibi metaller arası partiküllerin varlığı ise kırılma toklugunu olumsuzca etkilediklerine dikkat çekilmektedir[52].

Titanyum , Al-Zn-Mg alaşımında, ayıurma işlemine ve çökeltisiz zonların (PFZ) genişliğine etkisiyle tanınır.Titanyum ilavesi alaşımlarda çökeltilerin kabalaşmasını geciktirir. Bunun nedeni, çökelti kinetigi açısından, titanyum matristeki eriyen atom difüzyonuna inhibitör gibi davranışlarındanandır. PFZ nin genişliğinin az olması Ti atomları ile atom boşlukları arasındaki kuvvetli etkileşim olmasından kaynaklanmaktadır [17].

%0,01-2,0 Cu değerleri arasında çok farklı bakır içeriğine sahip Al-Zn-Mg alaşımları üretilmiştir. Bakır anodik ve çok aktif olan çökeltileri etkileyerek onları daha asıl yapar. Özellikle yavaş suverme hızlarında gerilmeli korozyon çatlagına direnç, homojen deformasyon ve uyumsuz çökeltilerin üretilmesiyle artırılabilir [53]. Alaşima az miktarda bakır ilavesi (% 0,63 Cu) eriyen atom /atom boşluğu şekillenmesini hızlandırır. Boşlukça zengin kümelerin oluşması ise γ' çökeltilerinin çekirdekleşme hızını artırır [48].

% 2,5Mg gibi büyük miktarlarda magnezyum içeren alaşımlarda bakır,krom ve manganez ilavesi alaşının suverme hassasiyetini artırmaktadır. %1Mg gibi az miktarlarda Mg,

ise alaşımında suvermeye duyarsızlık sağlar. Yüksek Mg içeren alaşımında Cu,Cr,Mn suverme esnasında uyumsuz fazların oluşmasını hızlandırır [17]. Empürite atomlarının kümeleri alaşımında β' çökeltilerinin heterojen olarak oluşması için çekirdek yerleri olarak rol oynarlar. Ayrıca zirkonyum,hafniyum ve nadir toprak alkali elementlerinin az miktarları (yaklaşık % 0,1) alaşımın yapısı ve Özellikleri üzerinde etkili olduğu belirtilmektedir[54].

3.4-YENİDEN ÇÖZELTİYE ALMA (Retrogression) ve YENİDEN YAŞLANDIRMA (Reaging) İŞLEMİ (RRA)

7075 Alüminyum alaşımının mukavemet ile gerilmeli korozyon hassasiyetinin optimizasyonunu saglayabilmek için Cina [3] tarafından RRA işlemi geliştirilmiştir. Bu işlem, T6 ıslıl işlemi görmüş malzemeye 180-280°C sıcaklık aralığında kısa süreli yeniden çözeltiye alma ve daha sonra orijinal T6 ıslıl işleminde uygulanan sıcaklık ve sürelerde yapılan yeniden yaşlandırma işleminden meydana gelir. Dolayısıyla işlem T73 ıslıl işlem sonucunda ulaşılan gerilmeli korozyon direncine eşdeğer bir korozyon direncini ve T6 ıslıl işlemiyle ulaşılan mukavemet seviyesini sağladığı ileeri sürülmüştür [3,55,56]. Tablo 3.4 da klasik T6 ve T7 işlemlerinin mekanik Özellikleri görülmektedir.

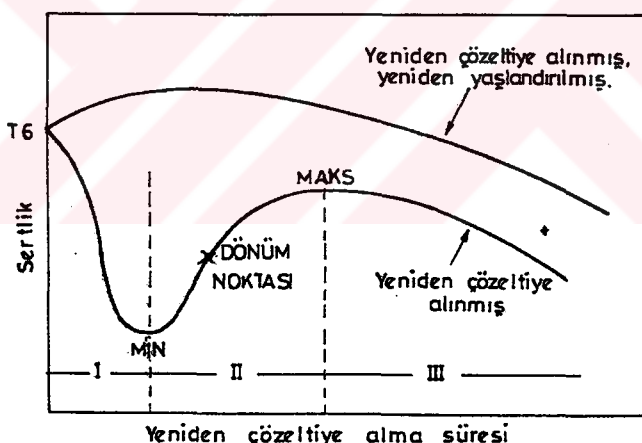
3.4.1-RRA ıslıl işleminin Mekanik Özelliklere Etkisi

RRA işleminin mekanik Özelliklerini belirleyebilmek için bütün araştırmacılar sertlik deneyleri yapmışlardır.

Bu deneyleri, çekme deneyleri [3,55,57], gerilmeli korozyon deneyleri [3,55,58,59] ve yorulma deneyleri [60] izlemiştir.

Tablo 3.4-7075 Al alaşımının klasik T6 ve T73 ıslıl işlemle-rine ait mekanik özellikler [61].

İslıl işlem	Fakma (Mpa)	Çekme (Mpa)	Zuzama (50mm.de)	Sertlik HB (10mmbilya, 500kg)
T6	505	570	11	136-164
T73	435	505	13	



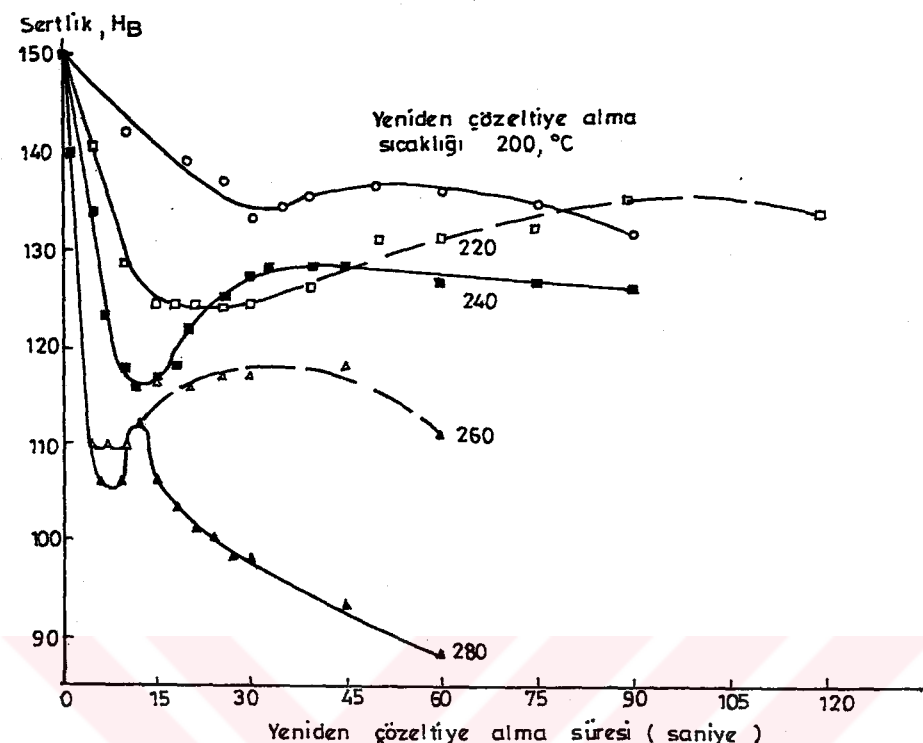
Şekil 3.17-RRA işlemi esnasında sertlikdeki değişimin şemati-k gösterilişi.

Yeniden çözeltiye alma (Y.C.A.) eğrisi Dahn ve arkadaşları[62] tarafından şekil 3.17 de görüldüğü gibi üç kısma ayrılmıştır. Birinci kısımda mukavemet çok hızlı bir şekilde minimuma düşer. İkinci kısımda mukavemet artan yeniden çözeltiye alma süresi ile bir miktar artış gösterir

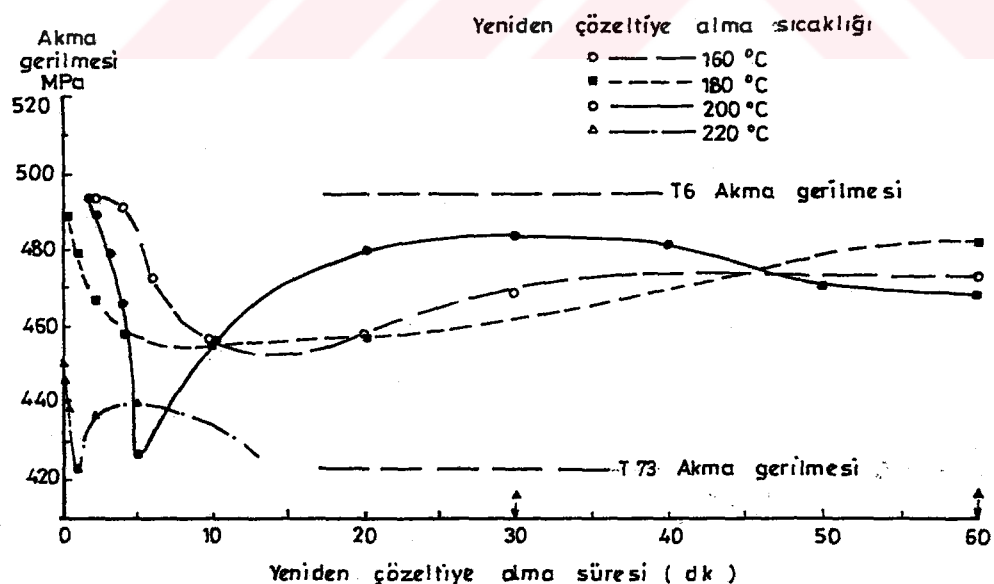
ve ikinci maksimum değere ulaşır, üçüncü kısımda ise mukavemet hızlı bir şekilde azalır. Cina [3] ya göre optimum işlem, kısa süre yeniden çözeltiye alma işlemi yapılarak sertlikte minimum değere ulaşılmalı ve bu işlemi yeniden yaşlandırma işlemi takip etmelidir. Böylece mukavemet T_6 nin mukavemet seviyesine (hatta bir miktar üzerine) çıkartılabilmektedir. Yeniden çözeltiye alma süresinin artışı, yeniden yaşlandırma işleminde mukavemetin azalmasına neden olmaktadır.

Yeniden çözeltiye alma eğrisinde minimuma ulaşmak için gereken süre sıcaklık ile değişmektedir. Bu süre Cina ya [3] göre 5-60 saniye civarındadır. Bu sonuç RRA işlemini sadece ince kesitli parçalarda kullanılma ile sınırlamaktadır. Şekil 3.18 de Cina [3] tarafından elde edilen Y.C.A. zamanı ile sertliğin değişimi görülmektedir. Wallace ve arkadaşları [57] kalın kesitli numuneler kullanarak yeniden çözeltiye alma eğrisindeki minimum değeri, çeşitli Y.C.A. sıcaklıklarını için 2-15 dakika olarak elde etmişlerdir (bakınız şekil 3.19). Park ve Ardell [63] ise 240°C de Y.C.A. işlemi yaparak yaklaşık 20 sn. de minimuma ulaşmışlardır ki bu sonuç Cina'nın sonuçlarıyla uyum içindedir.

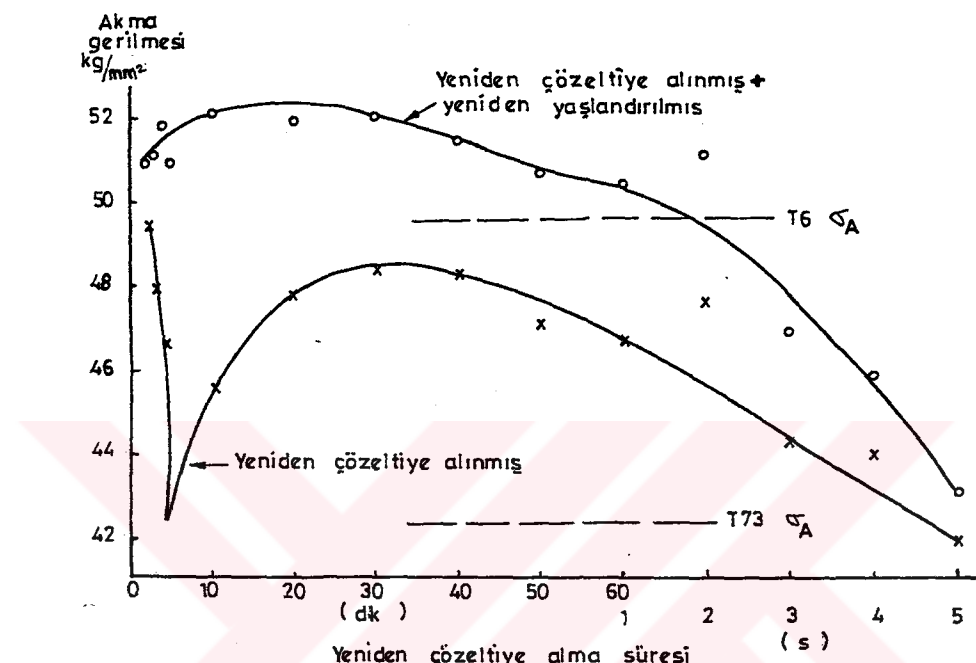
Y.C.A. ve RRA işlemleri sonucunda elde edilen mukavemet değerleri, sertlik değerlerine paralellik göstermektedir. Şekil 3.20 de 200°C de Y.C.A. işlemi uygulanan malzemenin yeniden yaşlandırma sonucunda akma mukavemeti, yaklaşık 60 dakika Y.C.A. zamanına kadar T_6 nin minimum akma mukavemeti üzerindedir [57].



Şekil 3.18-7075-T6 alüminyum levhasına uygulanan Y.C.A. işleminden elde edilen sertlik sonuçları [3].



Şekil 3.19-60 dakikaya kadar Y.C.A. sürelerinde yeniden çözeltiye alma işlemi uygulanmış 7075-T6 nın akma mukavemetinin değişimi [57].



Şekil 3. 20-200°C de yeniden çözeltiye alınmış ve yeniden yaşlandırılmış 7075-T6 ya ait akma mukavemeti- çözeltiye alma süresi eğrisi [57].

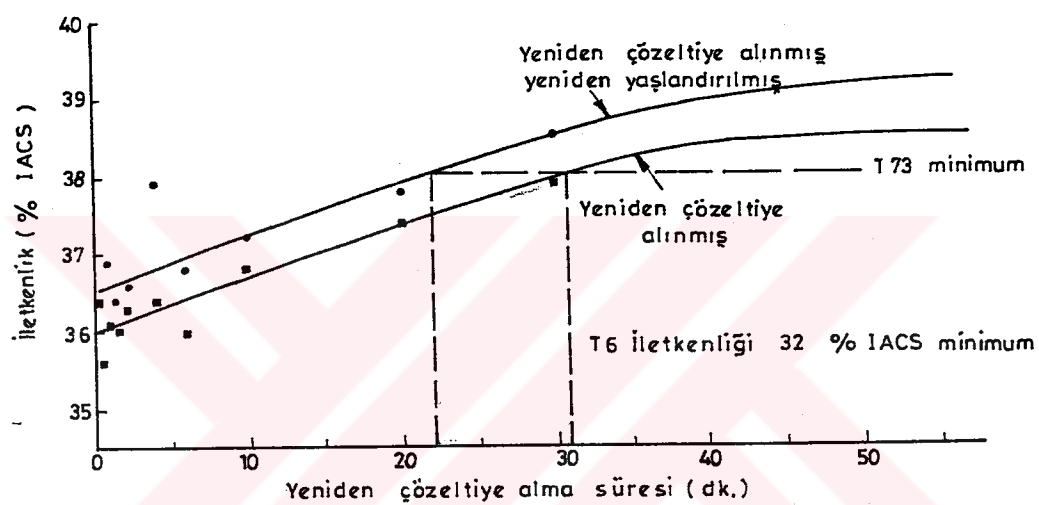
Yorulma ve kırılma topluğu deneylerini yapan Kaneko [60] ise yüksek gerilmelerde T6 ve RRA işlemli numunelerin benzer davranış gösterdiklerini ve RRA işlemli egrinin T6 eğrisinin hafifçe altında yer aldığı sonucunu elde etmiştir.

3.4.2-Elektrik İletkenliği Değişimi ile RRA Arasındaki İlişki

7075 alüminyum alaşımında aşırı yaşlanma ile elektrik iletkenlik değerinin arttığı bilindiğinden, RRA işlemi ile ilişkisi incelenmiştir. 7075 Al alaşımında yaşlandırma ısıl işlem sonucunda mukavemet, iletkenlik (veya direnç) ve gerilmeli korozyon çatlagına duyarlılık araştırılmış [64-67] ve biraz aşırı yaşlandırılmış alaşımların mukavemetinde önemli kayıp olmaksızın gerilmeli korozyon çatlagına dirençli olacakları sonucuna ulaşılmıştır [68].

Wallace ve arkadaşları [57] iletkenlik ölçümleri sonucunda yeniden çözeltiye alma işlemi esnasında Y.C.A. süresine bağlı olarak elektrik iletkenliğinin sürekli artığını bulmuşlardır. Yeniden yaşlandırdıkları numunelerdeki iletkenliği ölçüklerinde ise yeniden çözeltiye alınmış numunelerde elde ettikleri değerlerin yaklaşık % 0,5 IACS (International Annealed Copper Standart) fazlasını elde etmişlerdir. Şekil 3.21 de görüleceği gibi 180°C de 31-60 dakika arasındaki yeniden çözeltiye alma işlemi sonucunda T73 ün iletkenlik değerine ulaşmaktadır. Bu sürelerde mukavemet yaklaşık T6 nin mukavemetindedir. Bu sonuçlara göre yeniden çözeltiye alma eğrisindeki minimumun, özellikler açısından kritik bir değeri göstermeyebileceği düşünülmeye başlanmıştır.

Islam ve Wallace [55] 7475 alüminyum alaşımı ile yaptıkları çalışmada 180°C de 3,5 saat, 200°C de 40 dakika, 240°C de 3 dakika, 260°C de 1 dakika ve 280°C de



Şekil 3.21-180°C de 1 saatte kadar yeniden çözeltiye alma işlemi uygulanmışsonra yeniden yaşlandırılmış 7075-T6 alüminyumun Y.C.A süresine bağlı olarak elektrik iletkenliğinin değişimi [57].

10 saniye yeniden çözeltiye alma işlemi yapılmış numunelerin yeniden yaşlandırıldıktan sonra hala T6 mukavemet değerine sahip oldukları ve T73 e ait elektrik iletkenlik değerinin üzerinde elektrik iletkenlik değerine sahip olduklarını bulmuşlardır.

3.4.3-RRA İşleminin Gerilmeli Korozyon Çatlamasına Etkisi

7000 serisi alaşımalar, maksimum mukavemete yaşlandı- rıldıklarında taneler arası kırılganlığa neden olan gerilmeli korozyon çatlagına çok duyarlıdır [69-72]. Aşırı yaşlandırılmış alaşımalar ise gerilmeli korozyon çatlamasına karşı dirençli olmakla beraber mukavemet değerleri %15 kadar düşüktür [73,74]. Yaşlandırma işlemleri sonucunda önemli mikroyapı değişikliği, tane sınırı partikül boyut ve dağılımı, eriyen atom konsatrasyonu, PFZ nin genişliği ve matriks çökeltilerinin boyut ve dağılımında oluşur. Yaşılandırılan alaşımarda gerilmeli korozyon çatlak hassasiyetinin nedenlerini saptamak için yapılan çalışmalar, tane sınırlarının mikroyapısı üzerinde yoğunlaşmıştır [10,16,44,50,75-85].

Tane sınırında çökeltilerin boyutunun artmasının gerilmeli korozyon direnci üzerinde pozitif etkisinin, tane sınırı çökeltisi-matris arayüzeyinde hidrojenin mevcudiyetine bağlımaktadır [58,86-89]. Bu nedenle alaşım üzerinde hidrojenin etkisi ayrıntılı bir şekilde incelemeyi gerektirmektedir. Hidrojen gevrekliğinin gerilmeli korozyon çatlagına etkisi tartışmaları ise halen devam etmektedir [90-95].

Alüminyum alaşımlarının gerilmeli korozyon çatlama mekanizması, tarihsel olarak ele alındığında, aşağıdaki sıralama dikkati çekmektedir.

Alüminyum alaşımlarında gerilmeli korozyon çatlagının mekanizmasının uzun yıllar elektrokimyasal olarak oluştuguna

inanılmıştır [73,74]. 1960 larda yüksek mukavemetli çelik ve titanyumun tane sınırlarının hidrojen kırılganlığı mekanizmasının, gerilmeli korozyon çatlığında büyük rol oynadığı bulunmuştur [96]. 1969 ların sonlarında ise alüminyum合金alarının gerilmeli korozyon çatlığında hiçbir mekanizmanın rol oynamadığı belirtilmiştir [97]. Daha sonraları ise alüminyum合金alarının kırılganlık sebeplerinin, alüminyum tarafından absorblanan atomik hidrojen olduğu bulunmuştur [98]. 1980 lerde nemli havaya maruz kalan Al-Mg合金alarında magnezyum hidrürün oluşabileceği savunulmuştur [99]. Al-Zn-Mg合金alarının gerilmeli korozyon çatığına duyarlılığın değişmesinin yüzey oksit filmının magnezyum içeriği ile bağlantılı olabileceği ve metal içine hidrojen girişinden kolay etkilenebileceği gösterilmiştir [100]. Al-Cu-Mg合金alarının gerilmeli korozyon çatığının, gerilmenin yardımıyla tane sınırında kısmi çözünme ile gelişigine inanılırken, son zamanlarda Al-Mg ve Al-Zn-Mg-Cu合金alarının gevilmeli korozyon çatlamasına çatlak ucunda toplanan hidrojenin, hidrojen gevrekligine neden olduğu durumlarda geliştiği son zamanlarda ileri sürülmüştür [101].

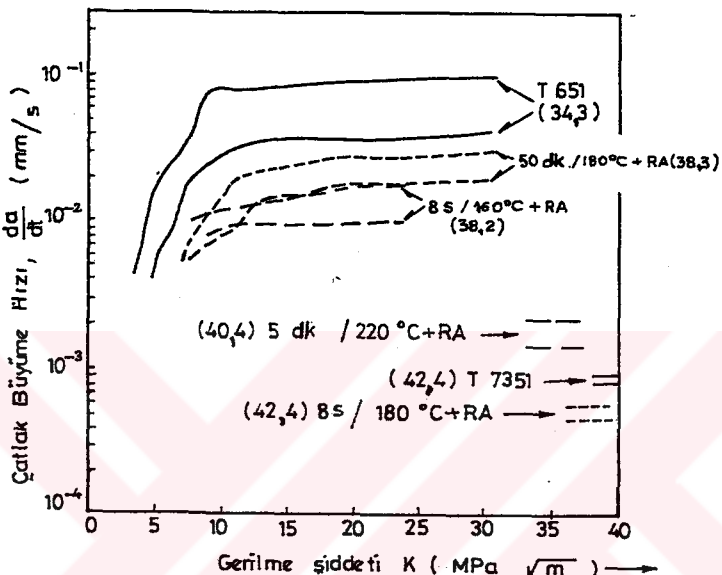
3.4.3.1-RRA işleminin Gerilmeli Korozyon Çatlak ilerleme Hızına Etkisi

Gerilmeli korozyon deneyleri sonucunda, T7 ısıl işlem durumundaki çatlak ilerleme hızının, T6 ısıl işlem durumuna göre çok düşük olduğunu, dolayısıyla T6 ısıl işlem durumunun gerilmeli korozyon çatığına T7 ısıl işlem durumuna göre daha duyarlı olduğu daha önce yapılmış çalışmalarda belirtilmiştir [3,57,58].

7075 RRA ısil işlemeli numunelerin, gerilmeli korozyon deney sonuçlarına göre, çatlak ilerleme hızları T6 işlemeli durumda sahip olduğu degerden daha küçük ve T73 degerine yakın olduğu gözlenilmiştir [3,58]. 7475 RRA alüminyum alaşımı ile de 7075 RRA alüminyum alaşımından elde edilen degerlere benzer sonuçlar elde edilmiştir [55]. Swanson ve arkadaşları [59] ise yaptıkları gerilmeli korozyon deneyleri sonuçlarına göre RRA işleminin gerilmeli korozyon çatlak direncine hassasiyetinin T6 işlemeli durumdan iyi olmadığını bulmuşlar ve RRA ısil işlem durumunda hidrojene duyarlılığını artacağını ileri sürmüştür.

Elektrik iletkenliği ile gerilmeli korozyon çatlak ilerleme hızları arasında ilişki araştırıldığında, RRA işlemi uygulanan malzemenin çatlak ilerleme hızının, T6 konumundaki bir malzemeye göre yavaş olmasının elektrik iletkenliği ile bağlantılı olduğu ileri sürülmüştür [55,57]. Wallace [57] elektrik iletkenliği sonuçlarındaki değişimlerin gerilmeli korozyon çatlagının ilerleme hızlarını nasıl etkiledigini araştırmış ve şekil 3.22 da görülen sonuçları elde etmiştir. Bu sonuçlara göre RRA işlemeli numunelerin çatlak ilerleme hızları T6 ile T73 arasında bulunmaktadır. Yeniden çözeltiye alma sıcaklığının artması çatlak ilerleme hızını T73 seviyesine yaklaşmıştır. Rajan [58] RRA işleminin gerilmeli korozyon çatlak direncine etkisini incelediği çalışmasında, gerilmeli korozyon çatlagına direncin gelişmesini tane sınırı çökeltti boyutundaki çoğalmayla ilişkili olduğunu ve 220°C de 5 dak. yeniden çözeltiye alınmış numunelerde en düşük (T73 degerine eşdeger) çatlak ilerleme hızına ulaşılacağı sonucunu elde etmiştir. Cina [3] RRA minimum da mukavemet ve gerilmeli korozyon Özelliklerinin optimum deger olduğunu açıklamıştır. Yukarıdaki deger ise minimumdan büyuktur.

Kaneko [60] gerilmeli korozyon direncinin RRA işlemli numunelerde T₆ ya göre üç misli arttığını ve elektrik iletkenliğinin T76 ve T73 ıslıl işlem seviyesine ulaştığını bulmuştur.



Şekil 3.22- 7075-T651 ve 7075-T7351 ile karşılaştırılmış olarak orta ve uzun süreli RRA işlemlerine ait gerilmeli korozyon çatlak ilerleme hızları (iletkenlikler parantez içinde gösterilmiş) [57].

3.4.3.2-Gerilmeli Korozyon Çatlamasına Hidrojenin Etkisi

Hidrojen ya dış çevrede atmosferde mevcuttur, yada metalin içinde vardır. Her iki durumda hidrojen kapanlarda tutularak kırılganlığa neden olabilmektedir [102]. Hidrojen gevrekliği malzemenin içinde mevcut hidrojen nedeniyle olursa internal hidrojen kırılganlığı veya dış ortamda mevcut hidrojen nedeniyle oluşmuş ise external hidrojen

kırılganlığı adını alır. Hidrojen kıırılganlığına neden olan hidrojen konsantrasyonu çeşitli faktörlere bağlıdır, örnegin gerilme, sıcaklık, hidrojen miktarı , gibi. Kapanlarda tutulan hidrojen konsantrasyonunu etkileyen faktörler ise hidrojenin taşınma modu, kapan karakteritigi, hidrojenin lokalleşmesi ,vb. şeklindedir [103-105].

Kapan karakteristigi hidrojen kıırılganlığında önemlidir. Kapanlar dönüşebilir (reversible) veya dönüşemeyen (irreversible) olarak iki çeşittir. Dönüşebilir kapanda hidrojen kısa süre kalırken, dönüşemeyen kapanda birkez tutuldumu bir daha serbest kalması zordur [106].

Gerilmeli korozyon çatlagında çatlak ilerlemesi tane sınırlarında olduğundan, tane sınırlarında kapan yerleinin bulunması çatlak ilerlemesi için önemlidir. Çatlak ucundaki dislakasyolar,hidrojen atomlarını çatlak ucunun önüne taşıyabilirler [95]. Bu durumda eger hidrojen, dönüşemeyen kapanda yakalanmışsa hidrojen kapan yerinde uzun süre kalabilir.Catlak , kapan yerine ulaştığında hidrojen ile karşılaşabilir. Dönüşemeyen kapan bulunan yapılarda çözeltide az miktarda hidrojen vardır ve bu bölgedeki kohezif mukavemet yüksektir. Dönüşemeyen kapanlar çatlak ucunun kütlesmesine neden olur ve dolayısıyla çatlak ilerlemesi gecikir.

Hidrojen ile malzemenin kıırılganlığının kinetigi tamamıyla malzeme içindeki kritik çatlak yerlerine hidrojenin taşınımı ile açıklanabilir. Örnegin iç hidrojen çukurları, boşluk,inklüzyon,çökelti partiküllerinin ara yüzeyi,tane sınırları , gibi yerler hidrojen atomları için negatif bag enerjisine sahip yerlerdir. Hidrojen hareketli dislokasyonlarca taşınır [95].Sonuçta kapan yerlerine bağlı olarak oluşacak çatlak oluşum yerleri degisir.

Tablo 3.5-Metallerdeki kapanların sınıflandırılması [107].

Kapanlar	Kapan cinsi	Hidrojen yardımıyla oluşan çatлага duyar- ılık
Eriyen atomlar	Zayıf/orta	Çatlama iyi tanımlanan arayüzeyler boyunca degildir
Mikroboşluklar	dönüştürbilir	
Düşük açılı sınırılar, Dislokasyonlar Uyumlu çökeltiler		
Önceden mevcut olan,gelişen mikroçatlaklar Büyük açılı sınırılar,uyumsuz çökeltiler ve arayüzeyler	kuvvetli dönüştürmeyen	Çatlama arayüzeyler boyuncadır ve dönüştürmeyen kapanlar favoridir

Alüminyuma hidrojenin difüzyonu çeşitli araştırmacılar tarafından incelenmiştir [51,103-105]. Ortamda hidrojenin gaz, iyon veya bileşik halinde olması metale geçmesini engellemekte ve yerleştiği yere göre kırılma şeklinde farklılıklara neden olabilmektedir. Eğer hidrojen tane sınırlarında ve uyumsuz çökeltilerde tutulmuşsa kırılmaının şekli gerilmeli korozyon çatlığındakine benzer şekilde taneler arasındadır. Yüksek mukavemetli alüminyum alaşımları ısıl işlem koşullarına göre gerilmeli korozyon çatlaşmasına

duyarlı veya bağışık oldukları göz önüne alındığında, farkın mikroyapı farkından ileri geldiği açıkça görülür. Numuneler gerilmenin mevcut olduğu ve hidrojen üreten bir ortama maruz kaldıklarında kırıldıkları ve taneler arasında dekohezyonun oluştugu keşfedilinceye kadar gerilmeli korozyon çatlığını kontrol eden mekanizmanın tane sınırlarında malzemenin anodik çözünmesi olarak düşünülmüştür [108-111]. Hidrojen gevrekliğinin gerilmeli korozyon çatlığında etkili mekanizma olduğunun düşünülmesi çeşitli çalışmaları ortaya çıkarmıştır [80, 112, 113].

Yüksek mukavemetli alüminyum alaşımlarına hidrojen elektrolitik olarak [16, 90, 91] veya çeşitli sıcaklıklarda nemli havaya maruz kaldığında [93, 114, 101] girebilmekte ve kırılma yolu taneler arasında ilerlemektedir. Katodik olarak 2000 veya 7000 grubu alaşımlara şarj edilen hidrojen, hidrojen gevrekliğine neden olarak gerilmeli korozyon davranışında etkili olduğu ve çekme deneyleri sonucunda hidrojen şarj edilen örneklerin sümeklilikinde azalma olduğu belirtilmiştir [16, 90, 91, 115].

Ciaraldi ve arkadaşları [116] nemli havaya maruz koyarak hidrojenledikleri Al-%5,6Zn-%2,6Mg alaşımında tane sınırlarında hidrür oluştugu ve hidrürün (AlH_3) kırılma-sıyla iç hidrojen kırılğanlığının oluşabileceğini, gerilmeli korozyon çatlığı ile hasarlanmış numunelerde ise hidrür oluşumunun görülmmediği, buna rağmen hidrojenin gelişmiş gerilmeli korozyon çatlığının ucuna taşındığı ve bunun hidrojen gevrekliği ile gerilmeli korozyon çatlığının temel olarak farklı mekanizmalarla gelişliğini öne sürmüşlerdir.

Scamans [117] 7000 grubu alaşımalarla yaptığı çalışmada su buharına maruz kalan numunelerde çizgili gerilmeli korozyon kırılma yüzeylerini gözlemiş ve gerilmeli korozyon çatlagına duyarlı alaşımarda ($AlZnMgCu$, $AlMg$, $AlZnMg$) gerilmeli korozyon çatlagının hidrojen gevrekliği ile sürekli olarak oluştugu sonucunu çıkarmıştır.

$Al-Zn-Mg$ alaşımaları su buharına maruz kaldıklarında, tane sınırlarında hidrojen atomlarının hidrojen habbecikleri şeklinde toplanabileceğini ve bunların gerilmeli korozyon çatlak direncinin artmasına neden olabileceği ileri sürülmüştür [5, 87, 89]. Bu fikir Christodoulou ve Flower [118] tarafından da desteklenmiştir. Bu alaşımalar su buharına maruz bırakıldıklarında, hidrojenin tane sınırında habbecikler şeklinde toplanabileceği için sınırlarda çözünen hidrojen konsantrasyonunun azalacağı ve gerilmeli korozyon çatlagında hakim mekanizmanın hidrojen gerekligi olduğunu belirtmiştir. Tuck [119] hidrojen habbeciklerinin tane sınırlarında MgH_2 oluşturabileceğini ve gerilme uygulandığında hidrürün kırılabilirliğe neden olacağını, kırılmanın normal taneler arası kırılma şeklinde ilerleyeceğini savunmuştur.

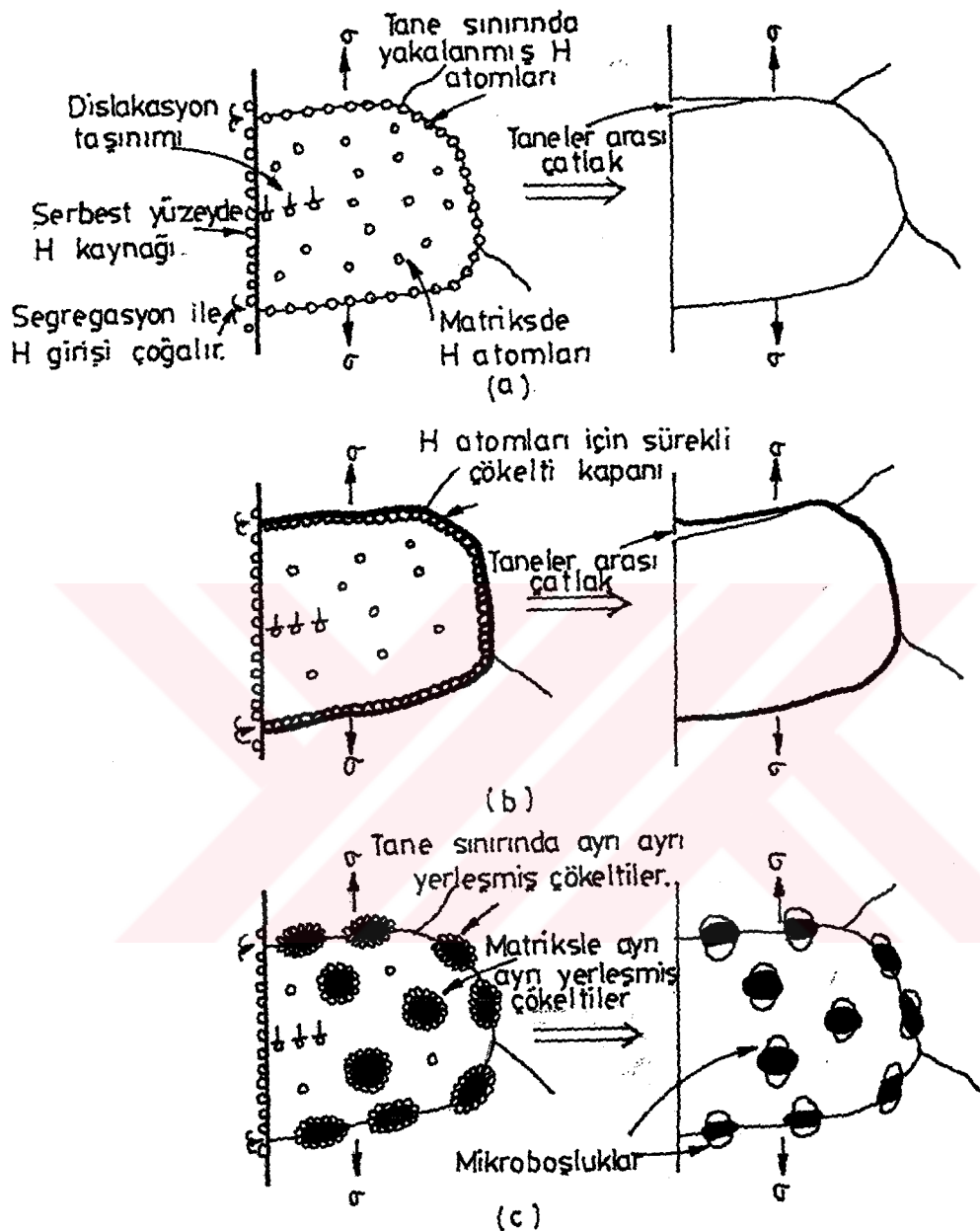
Pickens ve arkadaşları [120] $Mg-H$ etkileşiminin direk delilini bulamamalarına rağmen $Al-Zn-Mg$ alaşımının gerilmeli korozyon çatlığı davranışında tane sınırı Mg segregasyonunun etkili olduğunu ileri sürmüştür. Pickens ve arkadaşlarının [80, 83] yaptıkları başka bir çalışmalarında da tane sınırı çökeltileri ve "Serbest Magnezyum" ile gerilmeli korozyon duyarlılığı arasında ilişki araştırılmış

ve Mg-H etkileşimi , magnezyumun hidrojeni taşıması, sınırlarda kritik seviyede hidrojenin bulunması sonucunda gerilmeli korozyon çatlığının oluşmasına neden olacağı tezini savunmuşlardır. Scamans ve arkadaşlarına [84] göre aşırı yaşlandırılmış mikroyapılarda, tane sınırı çökeltile-ri magnezyum hidrür oluşumundan ziyade hidrojen habbeciklerinin oluşmasını saglayabilmektedir.

Farklı koşullarda, çeşitli ısıl işlemler görmüş malzemelerde oluşan tane sınırı çökeltileri hidrojen için kapan yerleri olarak davranışabilmekte ve birim alandaki tane sınırı çökelti sayısı arttığında kapan yeri sayısında artabileceği için gerilmeli korozyon çatlığının ilerlemesi hızlanabilecektir. Şekil 3.23 de tane sınırı çökeltilerinin boyutuna bağlı olarak çatlak oluşumu ve ilerlemesine etkisi şematik olarak gösterilmiştir. Bu modelde öbekküçük tane sınırı çökeltilerine sahip yapılarda çatlak hızla ilerleme imkanına sahiptir. Büyük tane sınırı çökeltilerine sahip yapılarda ise daha zor ilerleyebilecek , hatta ilerlemey kabul edilebilecektir. 7075-T6 işlem durumunda tane sınırı çökelti boyutu (26 nm) T7 durumunda ki değerden (47 nm) küçüktür [63], T6 gerilmeli korozyon çatlagına duyarlı, T7 ise bağışıktır. RRA işlemli durumda gerilmeli korozyon çatlak ilerleme hızının T6 ile T7 değerleri arasında bir değere sahip olduğu ve T6 ya göre daha dirençli olduğu ifade edilmiştir [58,63]. Bu sonuçlara göre RRA işlemi ile hidrojen için kapan yerlerinin sayısı azaltılmış ve gerilmeli korozyon çatlagına karşı dirençli yapı üretilmiş olmaktadır.

7075 Al alaşımında gerilmeli korozyon

- Tane sınırlarının anodik çözünmesi ve/veya
 - Hidrojen gevrekliği (absorbe H, H habbeciği, hidrür ve serbest Mg ile H etkileşimi)
- sonucunda oluşabilir.



Sekil 3.23-Ceşitli kapanlar ile hidrojenin etkileşimi sonucunda oluşan kırılma modlarının şematik gösterilişi.

a) Tane sınırlarında tutulan hidrojenin sınır dekohezyonuna yol açması, b) Tane sınırı boyunca oluşmuş sürekli uyumsuz çökeltilerin hidrojeni tutması ile sınırların dekohezyonu, c) sınırdaki uyumsuz ayrı ayrı oluşmuş çökeltilerin hidrojeni tutması ve matriks ile çökelti partikülleri arasındaki mikroboşluk oluşumu [85].

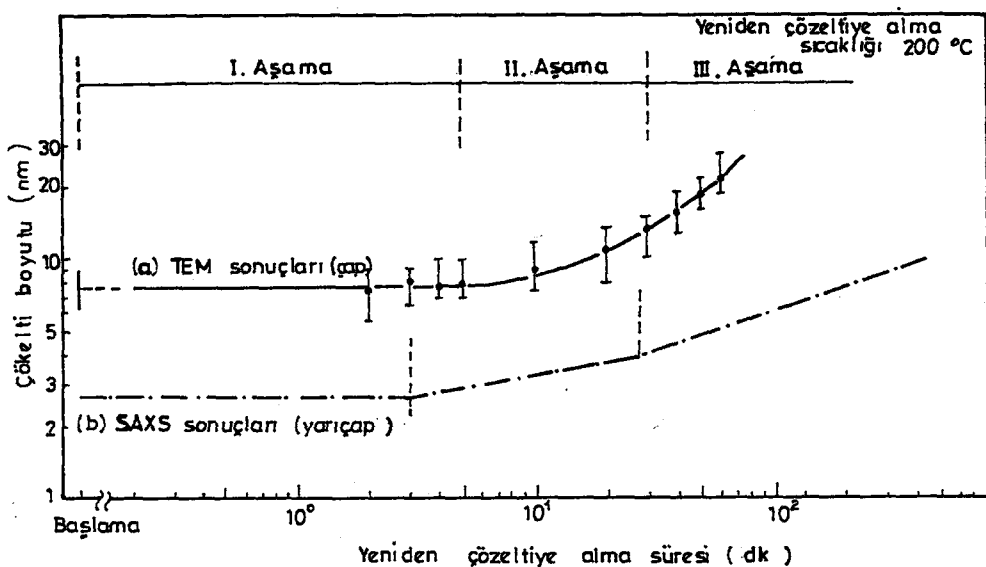
3.4.4-RRA Isıl İşleminin Mikroyapıya Etkileri

Yeniden çözeltiye alma ve yeniden yaşlandırma işlemleri sonucu elde edilen sertlik ve mukavemet egrilerinde görülen değişiklıkların mikroyapıdan kaynaklandığı açıklır. Bu nedenle mikroyapıda meydana gelen değişiklikler, yeniden çözeltiye alma işlemi ve yeniden çözeltiye alma + yeniden yaşlandırma işlemi sonucu oluşan değişimler şeklinde incelemiştir.

3.4.4.1-Yeniden Çözeltiye Alma İşlemi Sonucunda Mikroyapıda Oluşan Değişiklikler

200°C de yeniden çözeltiye alınmış örnekler incelediğinde, yeniden çözeltiye alma zamanına bağlı olarak çökelti boyutunun büyüğü bulunmuştur [62]. Elde edilen sonuçlar Y.Ç.A. süresi-sertlik egrisindeki safhalar ile uyum içinde olduğu ve GP zonlarının Guinier çapına göre çizilmiş eğri ile benzerliği şekil 3.24 de görülmektedir.

Yeniden çözeltiye alınmış örneklerin hacim fraksiyonu ölçülmüş ve hacim fraksiyonunda minimuma kadar bir değişiklik olmadığı, fakat minimumdan sonra hacim fraksiyonunda artış olduğu açıklanmıştır. şekil 3.24 ile birlikte düşünlüğünde hacim fraksiyonundaki değişiklikler ile çökelti boyutundaki değişiklıkların paralellik içinde oldukları izlenmiştir [62].



Şekil 3.24- Y.C.A. esnasında çökelti boyutundaki değişiklikler a)TEM sonuçları, b)karşılaştırma için verilmiş olan SAXS ölçümleri ile elde GP yarıçap sonuçları [62].

"Y.C.A.-sertlik" egrisinde sertlik değerinin hızlı azalısının, uyumlu fazın çözünmesi ile olduğu ileri sürülmüştür. Yaşlanmış alüminyum alaşımlarında, alaşım, yaşlanma sıcaklığından daha yüksek sıcaklıklara ısındıdığında mukavemetteki kayıp, uyumlu fazın çözünmesine bağlanmıştır. Yeniden çözeltiye alma egrisinde ilk safha GP zonunun çözünmesi ile açıklanabilir. Cina [3] yaptığı çalışmada da gösterdiği gibi, yeniden çözeltiye alma egrisindeki minimum ulaşma süresi artan sıcaklıkla azalmıştır. Inoue [22] GP zonunun solvüs sıcaklığının yaklaşık 1300°C olduğu ve bu sıcaklıktan yüksek sıcaklıklarda GP zonunun çözünmesini tamamlayacağını ileri sürmüştür. Ungar [33] 1600°C gibi yüksek sıcaklıklarda bile Zn ve Mg konsantrasyonu yüksek (sırasıyla % 5,5 ve % 1 den) alaşımında GP zonunun çözünmeyeceğini göstermiştir.

DeLasi ve Adler [47] yaptıkları reversion deneylerinde 217°C ye kadar GP zonlarının çözümnesi ile $2'$ çökeltilerinin oluşum ve büyümesinin aynı anda meydana geldiğini bulmuşlardır. Bununla beraber GP zonu çözümnesinin hakim olduğuna işaret etmişlerdir.

Yeniden çözeltiye alma işlemi esnasında GP zonlarının çözümnesi, $2'$ partiküllerinin büyümesi ve çözümmemiş GP zonları üzerinde yeni $2'$ çökeltilerinin çekirdekleşmesinin birarada olabileceği, oluşan bu reaksiyonların hızlarının farklı olmasının, malzemenin mukavemetini etkileyeceğini, yeniden çözeltiye alma işleminin ilk safhasında (minimuma kadar) GP zonunun çözümnesinin, $2'$ partiküllerinin büyümesine hakim olacağı, minimumdan sonra ise mukavemetteki artışın, $2'$ ve 2 ' çökeltilerinin, özellikle $2'$ partiküllerinin hacim fraksiyonundaki artıştan kaynaklanacağı açıklanmıştır [62,63]. $2'$ boyutundaki artışın mukavemetteki azalmaya neden olacağı ispatlanmıştır [62]. Mukavemetin, minimumdan maksimuma artışı esnasında, çökelti boyutundaki büyümeye hızının, hacim fraksiyonuna hakim olmayacağı, yeniden çözeltiye alma eğrisinde maksimumdan sonra çökelti boyutunun büyümeye hızının hakim olmaya başlayacağı ve mukavemetteki düşüşün aşırı yaşılanma nedeniyle olduğu kabul edilmiştir [62,63].

Yeniden çözeltiye alma işlemi esnasında matrisde oluşan prosesler zamana bağlı olarak özetlendiginde [62-64]:

-GP zonlarının çözümnesi ve/veya küçük boyutlu $2'$ partiküllerinin çözümnesi

- $2'$ partiküllerinin oluşması
- $2'$ partiküllerinin 2 fazına dönüşmesi
- 2 partiküllerinin oluşması
- $2'$ ve 2 partiküllerinin büyümesi

şeklindedir.

3.4.4.2-Yeniden Yaşılandırma Sonrasında Mikroyapıda Oluşan Değişiklikler

Yeniden çözeltiye alma işleminden sonra uygulanan yeniden yaşlandırma işlemi, uzun yeniden çözeltiye alma süreleri sonrasında bile, mukavemeti % 4 kadar arttırmamaktadır. Yeniden yaşlandırma işlemi esnasında mukavemette meydana gelen artış, matriste çözünen element konsantrasyonunun, yeniden yaşlandırma işleminde β' nün çekirdekleşmesi ve büyümesi için hala yeter derecede yüksek olmasına baglanmıştır [62].

7075 alüminyum alaşımının klasik ısıl işlemleri olan T6 ve T7 işlem durumlarında mikroyapı ile ilgili karakteristikler tablo 3.6 de görülmektedir. T6 ve T7 durumunda alaşımın mikroyapısında oluşan çökeltiler γ' (küresel veya levha şeklinde), γ fazının özellikle γ_1 (levha şeklinde ve $\{110\}$ Al veya $\{100\}$ Al düzlemlerinde), γ_2 (levha şeklinde $\{111\}$ Al düzlemlerinde) ve γ_4 (çubuk şeklinde $\{111\}$ Al düzlemlerinde) oluşturduğu ve işlemler sonucunda herbir fazın boyutları ve relatif miktarlarının farklı olduğu saptanmıştır [3,18,62,63]. T6 mikroyapısı, çok ince, çoğulluğu levha şeklindeki γ' partiküllerine sahip olurken, T7 mikroyapısının nisbeten kaba γ çökeltileri, özellikle γ_1 ve γ_2 çökeltilerinden oluşturduğu açıklanmıştır [18].

Park ve Ardell [63] 2400°C de RRA işlemi uyguladıkları numunelerin transmisiyon elektron mikroskopu (TEM) çalışması sonucunda, RRA işlemli mikroyapılarında γ' , γ_1 , γ_2 ve γ_4 çökeltilerinin varlığını tespit etmişlerdir.

Tablo 3.6-7075 Alüminyum alaşımının klasik T6 ve T73
ıslıl işlemlerinin mikroyapı karakteristikleri [18].

ıslıl	matriks	çökelti karakteristiği	tane sınırı		çökeltileri
			d(ort.)	yoğunluğu morfoloji	
ıslım	(nm)	$\times 10^3 \text{ m}^{-2}$			çökel.
T6	6	$1,02 \pm 0,13$	küresel veya levha	çok ince γ'	26
T73	10	$0,55 \pm 0,08$	levha	γ_1, γ_2	47

Mikroyapayı küresel veya levha şeklindeki çok ince γ' partikülleri ve biraz kabalaşmış γ çökeltilerinin oluşturduğunu ve T651 ile karşılaştırdıklarında γ çökeltilerinin kabalastığı ve sayılarının arttığını, T76 ile karşılaştırdıklarında ise γ çökeltilerinin boyutlarının hala küçük olduğunu ayrıca partikül yoğunluğunun T76 ya göre yüksek olduğunu açıklamışlardır.

Danh ve arkadaşları [62] 200°C de RRA işlemi uyguladıkları numunelerin transmisyon elektron mikrokobu ile yaptıkları incelemelerine göre, yeniden yaşlandırma işlemi sonucunda Y.C.A. işlemine göre çökeltilerin boyutlarının ve hacim fraksiyonunun arttığını izlemiştir. Onlara göre, yeniden çözeltiye alma işlemi esnasında tamamen çözünmeye kalan GP zonları, γ partikülleri için çekirdek rolü

oynamaktadır. Çözünen GP zonları matrisi Zn ve Mg ca zenginleştirmiş ve β' nün çekirdekleşip büyümeyi sağlamıştır. Yeniden yaşlandırma esnasında GP zonlarında çekirdekleşip büyütülebilir. Fakat β' nün çekirdekleşip büyümeyi Inoue ve arkadaşları [22] ve Ryum'un [21] ileri sürdürdüğü gibi hakim mekanizmadır. Bu durum hem T6 hemde RRA işlemi sonrasında gözlenen hacim fraksiyonundaki artış ile uyumludur. Kowacs ve arkadaşları [39,121] Drawan mekanizması ile β' nün mukavemeti katkısının, uyumlu GP zonlarından çok daha fazla olduğunu göstermişlerdir. β' partiküllerinin yoğunluğunun yüksek olması ve homojen dağılması mukavemetin artmasına neden olmaktadır.

RRA ıslıl işlemi sonucunda oluşan prosesler ,

- β' partiküllerinin oluşması
- β' partiküllerinin büyümeyi
- β' partiküllerinin γ ye dönüşmesi
- β' partiküllerinin büyümeyi

şeklinde özetlenebilir.

BÖLÜM 4

DENEYSEL CALIŞMALAR

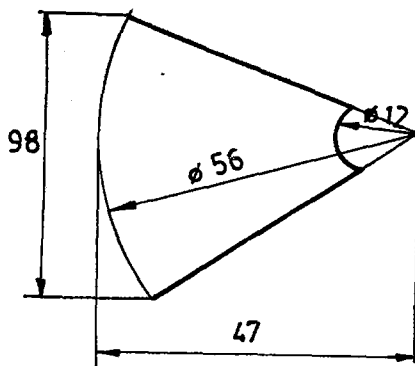
Bu bölümde, deneylerde kullanılan malzeme, cihazlar, deneylerin yapılış şekilleri ve sonuçlar verilmektedir.

4.1-KULLANILAN MALZEME

Alüminyum alaşımlarına ait 7000 grubundan Zn-Mg-Cu içeren 7075 alüminyum alaşımı deney malzemesi olarak seçilmiştir. 7075 alüminyum alaşımı Etibank Seydişehir Alüminyum Tesislerinde üretilen Etial 44 kodlu, extruzyonla şekillendirilmiş olarak temin edilmiştir. Tablo 4.1 de kimyasal bileşimi verilen alaşım, 350°Cde, 0,4 - 0,5 mm/sn extrüzyon hızı ile profil olarak üretilmiştir. Profilin boyutları şekil 4.1 de görülmektedir.

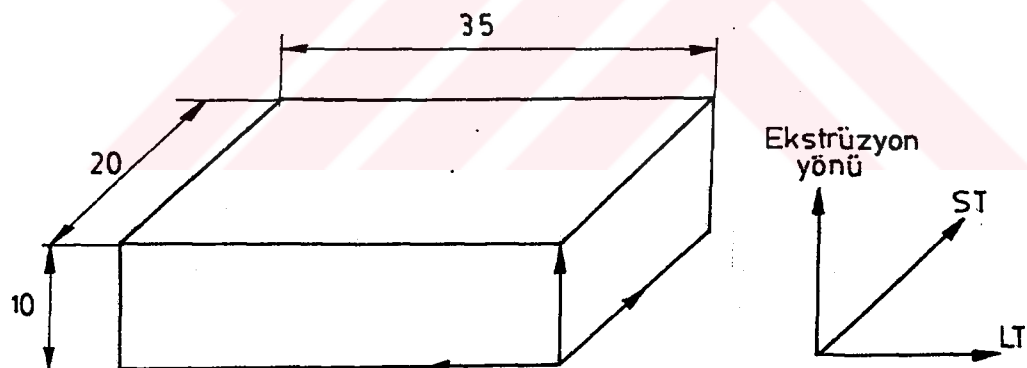
Tablo 4.1-Ticari safliktaki 7075 Alüminyum alaşımının kimyasal bileşimi.

Element	Zn	Mg	Cu	Cr	Fe	Al
%	5,30	2,30	1,30	0,25	0,44	geri kalan



Şekil 4.1-Extrüzyon ürününün profil kesiti (birim mm).

Şekil 4.1 de kesiti görülen profilden 10 mm kalınlığında dilimler alınarak ,her dilimden iki adet deney numunesi hazırlanmıştır.Deney numunesinin şékli ve boyutları şekil 4.2 de verilmektedir.



Şekil 4.2-Deney numunesinin şékli ve boyutları (birim mm) .

4.2- DENEYLERDE KULLANILAN CIHAZLAR

Çözeltiye alma işlemleri için elektrikle çalışan direnç fırını kullanılmıştır.Yeniden çözeltiye alma işlemleri etrafı cam yünü ile yalıtılmış ,içinde karıştırıcı

olan silikon yağ banyosunda $\pm 2^{\circ}\text{C}$ duyarlılıkta yapılmıştır. Yaşılandırma ve yeniden yaşılandırma işlemleri dirençle ısıtılan mekanik karıştırıcılı, etrafi yalıtılmış silikon yağ banyosunda $\pm 1,5^{\circ}\text{C}$ duyarlılıkta yapılmıştır. Yağ banyosu hızlı ve homojen ısıtmayı sağlamak için seçilmiştir. Yağ banyosunda silikon yağının kullanılması ise kimyasal olarak inert olmasından dolayıdır. Silikon yağından çıkarılan numuneler oda sıcaklığında su verildikten sonra aseton ile temizlenmiştir.

Isıl işlemler sonucunda oluşan değişiklikleri sağlamak için sertlik ölçümleri ve elektrik iletkenlik ölçümü yapılmıştır. Sertlik ölçümlerinde Rockwell B sertlik ölçüm cihazı kullanılmıştır. Elektrik iletkenlik ölçümü, Magnaflux FM-120 eddy akımları ile iletkenlik ölçme cihazında $\pm 0,5\%$ ZIACS duyarlılığıyla ölçülmüştür (IACS, International Annealed Copper Standart).

Numunelerin başlangıçtaki mikroyapısı optik mikroskopta incelenmiştir. Isıl işlemler sonucunda mikroyapıda meydana gelen değişimleri gözlemek için Transmisiyon Elektron Mikroskopu (TEM) kullanılmıştır. Kullanılan elektron mikroskopu 100 kv.lik JEOL 100CX TEMSCAN elektron mikroskop budur. Elektron mikroskopu için numuneler Isomet 11-1180 Low Speed Saw cihazı kullanılarak 0,5 mm. kalınlığında kesilmiştir. Kesilen numuneler epoksi içine konularak 0,1 - 0,15 mm. kalınlığına mekanik olarak inceltilip, parlatılmıştır. Bu numunelerden disk şeklinde numuneler alınarak Tenupol inceltme ve parlatma cihazında inceltilerek, elektron mikroskop numunesi haline getirilmiştir.

Elektron mikroskobundan alınan mikrograflar KONTRON MOP-VIDEOPLAN stereolojik analiz cihazı kullanılarak kantitatif olarak incelenmiştir.

4.3-YAPILAN DENEYLER

4.3.1-İsıl İşlem Deneyleri

7075 Alüminyum alaşımına uygulanan isıl işlemler T6, T6+RRA 200 ,T6+RRA 220 olarak yapılmıştır. Profilden hazırlanan 58 Rg sertliğindeki numuneler 465°C de 1 saat çözeltiye alındıktan sonra derhal 150°C ±3°C sıcaklığında su içinde suverilmiştir.Suverildikten sonra , suverilen numunelerin hemen sertlikleri ölçülmüş ve sertliklerinin 20Rg nin altında oldukları tespit edilmiş- tir. Bu numunelere T6 isıl işlemi uygulanmış olup sertlik ve elektrik iletkenlik değerleri ölçülmüştür. T6 durumundaki numunelere yeniden çözeltiye alma işlemi uygulanmış- tır. Yeniden çözeltiye alınan numunelere , yeniden yaşlan- dırma işlemi T6 isıl işlem koşullarında uygulanmış ve sert- lik , elektrik iletkenlik değerleri ölçülmüştür.İsıl işlem- lerle ilgili olarak sıcaklık ,zaman , sertlik , elektrik iletkenlik değerleri standartlardan faydalananarak uygulan- mistır. Yeniden çözeltiye alma ve yeniden yaşlandırma isıl işlemi ise Tablo 4.2 de gösterildiği şekilde uygulanmıştır.

Tablo 4.2- Uygulanan RRA isıl işlem koşulları .

İsıl işlem	Y.Ç.A. sıcaklığı (°C)	Y.Ç.A. zamanı (dk.)	Y.Y. sıcaklığı/zamanı (°C / saat)
RRA 200	200	2,3,4,5,6,7,8,12, 15,20,30,40	121 / 24
RRA 220	220	1,2,3,4,5,6,7,8, 12,20	121 / 24

4.3.2-Sertlik Deneyleri

Sertlik ölçümleri, ASTM E18 sertlik ölçüm standartına uygun olarak Rockwell B sertlik ölçümü şeklinde uygulanmıştır. Rockwell B değerleri 100kg.lık yük ve 1,58 mm. çapındaki çelik bilya kullanılarak yapılmıştır. Her numunede en az üç sertlik değeri ölçülmüş ve ortalama değer kullanılmıştır.

4.3.3-Elektrik İletkenlik Ölçümleri

Elektrik iletkenliğinin 7075 alüminyum alaşımında aşırı yaşılanma ile artışı bilinmektedir. Gerilmeli korozyona hassasiyeti ve mikroyapı ile ilişkisi düşünüldüğünden bütün numunelerin elektrik iletkenlik değerleri ölçüülerek değişim gözlenilmeye çalışılmıştır.

Elektrik iletkenliği Ölçümleri Magnaflux firması imali FM-120 cihazı kullanılarak yapılmıştır. FM-120 cihazı Eddy akımları esasına göre çalışmaktadır ve metallerin elektrik iletkenliklerini % IACS olarak direk vermektedir. Ölçümün esası, prop tarafından oluşturulan manyetik alanın iletken malzemedede yarattığı Eddy akımları paterninin, bilinen Eddy akım paternlerine göre kıyaslaması ile yapılmaktadır. İletken malzemedede oluşan Eddy akım paterni, malzemenin iletkenliğine, proba gönderilen alternatif akım sinyaline ve malzemenin manyetik permabilitesine göre değişmektedir. İletkenlikteki değişim mikroyapıdaki değişimini yansıtmaktadır.

Cihaz başlangıçta iletkenlik değerleri , % IACS cinsinden belli olan metallere göre kalibre edildikten sonra ölçümler yapılmıştır. Ölçümlerin hassasiyeti 20°C de $\pm 0,5$ % IACS dir.

4.3.4-Optik Mikroskopi Analizleri

Deney parçasından alınan örneğin tane yapısı optik mikroskopta incelenilmiştir.

4.3.5-Transmisiyon Elektron Mikroskopu Analizleri

4.3.5.1-T E M. İçin Numune Hazırlama

Yeniden çözeltiye alma ve yeniden yaşlandırma işlemleri uygulanan numunelerden elde edilen sertlik ve elektrik iletkenliği eğrilerinde görülen değişikliklerin nedenini araştırmak için numuneler elektron mikroskobunda incelenilmiştir.

200°C ve 220°C de RRA şilemi uygulanan numuneler Isomet 11-1180 Low Speed Saw cihazı kullanılarak , L-ST yönünde 0,5 mm kalınlığında kesilmiştir. Kesilen numuneler epoksi içine gömülderek , mekanik olarak inceltip, parlatılmıştır. 0,1-0,15 mm. kalınlığına inceltilen numunelerden

alınan diskler sırasıyla HNO_3 ve metanol ile çalkalandıktan sonra jet-elektro parlatma işlemi ile elektron mikroskopunda kullanılacak hale getirilmiştir. Elektrolitik parlatma işleminde elektrolit olarak $1/3\text{HNO}_3$ ve $2/3\text{CH}_3\text{OH}$ çözeltisi, çözelti sıcaklığı $-25^{\circ}\text{C} \pm 5^{\circ}\text{C}$ ve voltaj 14 v. olarak uygulanmıştır.

4.3.5.2-T E M de İnce Folyelerin İncelenmesi

Hazırlanan ince folyeler Gjonnes ve Simensen [25] metodunu kullanılarak "aydınlik alan", "karanlık alan" ve "seçilmiş" alan difraksiyonu ile incelenmiştir. İnce folyelerden önce aydınlik alan görüntüsü alınmış, çökealtılerin dağılımı ve morfolojisi gözlenmiştir. Aydınlik alan görüntüsünde en küçük alan seçici açıklığı ile istenilen alan çevrelenerek difraksiyon elde edildikten sonra karanlık alan görüntüsü için difraksiyon noktası belirlenip, karanlık alan görüntüsü elde edilmiştir.

4.3.5.2.1-Matriksin İncelenmesi

Yaşlandırılmış 7075 alüminyum alaşımına ait önceki çalışmaların [18, 23, 25, 50, 62, 63, 122] sonuçlarına göre çökealtıları incelemek için elektron difraksiyon paternleri $\langle 100 \rangle$, $\langle 110 \rangle$, $\langle 111 \rangle$, $\langle 112 \rangle$ yönlerinden alınarak incelenmiştir. RRA ısıl işlemi yapılan numunelerde de benzer şekilde, yönlendirmeler yapılarak, elektron difraksiyonları alınıp θ' ve θ çökealtılerine ait difraksiyon noktaları bulunmuştur.

4.3.5.2.2-Tane Sınırlarının İncelenmesi

İsil işlemeli durumda gerilmeli korozyon çatlagına hassasiyetin matris çökeltilerinden daha çok tane sınırı çökeltilerine ve tane sınırındaki çökeltisiz zonun genişliğine bağlı olduğu bilindiginden, tane sınırındaki çökeltilerin durumu incelenmiştir.

Tane sınırı çökeltilerini ve çökeltisiz zonu inceleyebilmek için numuneler eğilerek tane sınırı düzleminin net bir şekilde görünmesi sağlanmıştır. Farklı tane sınırlarına ait elektron mikroograflar alınarak, isıl işlem durumuna bağlı olarak tane sınırındaki çökelti boyutu, çökeltisiz zonun genişliği ölçülmüştür.

4.3.6-TEM Mikrograflarının Kantitatif Analizi

4.3.6.1-Matriks Çökeltilerinin Kantitatif Analizi

Elektron mikroskopu çalışması sonucu elde mikrografların kalitatif incelenmesi sonucunda çökelti boyutunu, boyut dağılımını v.b. değerleri bulmak mümkün olmadıgından, görüntüler kantitatif olarak incelenmiştir.

Aydınlık alan görüntülerinde çökeltiler etrafında deformasyon alanları oluşacagından, çökeltilerin boyutlarının hassas şekilde ölçülmesi mümkün olmamaktadır. Bu nedenle matris çökeltilerine ait boyutlar karanlık alan görüntülerinde ölçülmüştür. Herbir örnek için en az dört karanlık alan mikrografından yaklaşık 250 partikül ölçülerek, partikül boyut dağılımı bulunmuştur. Ölçüm işlemleri ve sonuçlar MOP-VIDEOPLAN cihazıyla elde edilmiştir.

4.3.6.2-Tane Sınırı Çökeltilerinin Kantitatif Analizi

Tane sınırı çökeltilerinin boyutlarının, alan fraksiyonlarının ve birim alana düşen partikül sayısının değişiminin gerilmeli korozyon hassasiyetine duyarlığını etkilediginden, tane sınırı çökeltilerine ait büyütülmüş mikrograflarda kantitatif ölçümler yapılmıştır. Tane sınırı çökelti boyutu d_g , enaz beş tane sınırı alanında, tane sınırı çökeltilerinin boyutlarının ölçülmesiyle bulunmuştur. Yapılan ölçümlerin sonuçlarından partikül boyut dağılım histogramları elde edilmiştir.

Malzemelerin gerilmeli korozyon hassasiyeti üzerinde tane sınırı çökelti boyutu kadar etkili olduğu bilinen diğer parametreler N_A (birim alan başına düşen partikül sayısı), A_A , alan fraksiyonu (birim alan başına düşen çökeltilerin alanlarının birim tane sınırı alanına oranıdır). N_A ve A_A tane sınırı çökelti boyutunun ölçüldüğü alanlarda ölçülmüştür.

Birim alan başına düşen tane sınırı çökelti sayısı, N_A , $0,073 \text{ /mm}^2$ lik alanda bulunan tane sınırı çökeltilerinin sayısı ile bulunmuştur. Herbir nokta için enaz beş tane sınırı alanında sayımlar yapılmıştır.

Alan fraksiyonu A_A ise $0,073 \mu\text{m}^2$ lik birim alanda bulunan tane sınırı çökeltilerinin alanlarının ölçülmesiyle hesaplanılmıştır. Ölçümler herbir nokta için enaz beş tane sınırında yapılmıştır.

Tane sınırı birim alanı başına , tane sınırı çökeltilerinin hacmi V_A , herbir nokta için en az beş tane sınırı alanında yapılan ölçümelerden bulunmuş olan N_A ve A_A değerleri kullanılarak bulunmuştur. Tane sınırlarında farklı oryantasyona sahip partiküllerin görünüş oranları k , ($k=t/r$ t : kalınlık, r : yarıçap) tane sınırı çökeltilerinin disk şeklinde olduklarından dolayı, ($r \gg t$) çok küçüktür. Park ve Ardell [63] tarafından ifade edilen

$$V_A = 1,6 k A_A^{3/2} / N_A^{1/2} \quad (4.1)$$

formülü ile V_A değerleri hesaplanılarak , yeniden çözeltiye alma süresine göre değişimi incelenmiştir.

4.4- DENEY SONUÇLARI

Bu bölümde deneylerin sonuçları verilmektedir.

4.4.1-Optik Yapı

7075 Alüminyum alaşımının orjinal yapısı Şekil 4.3 de gösterilmiştir. Tanelerin hadde yönünde uzadığı, çökeletilerin tali tane sınırlarında toplandığı görülmüştür. Daglama çözeltisi olarak önerilen Keller's çözeltisi iyi sonuç vermemiştir.



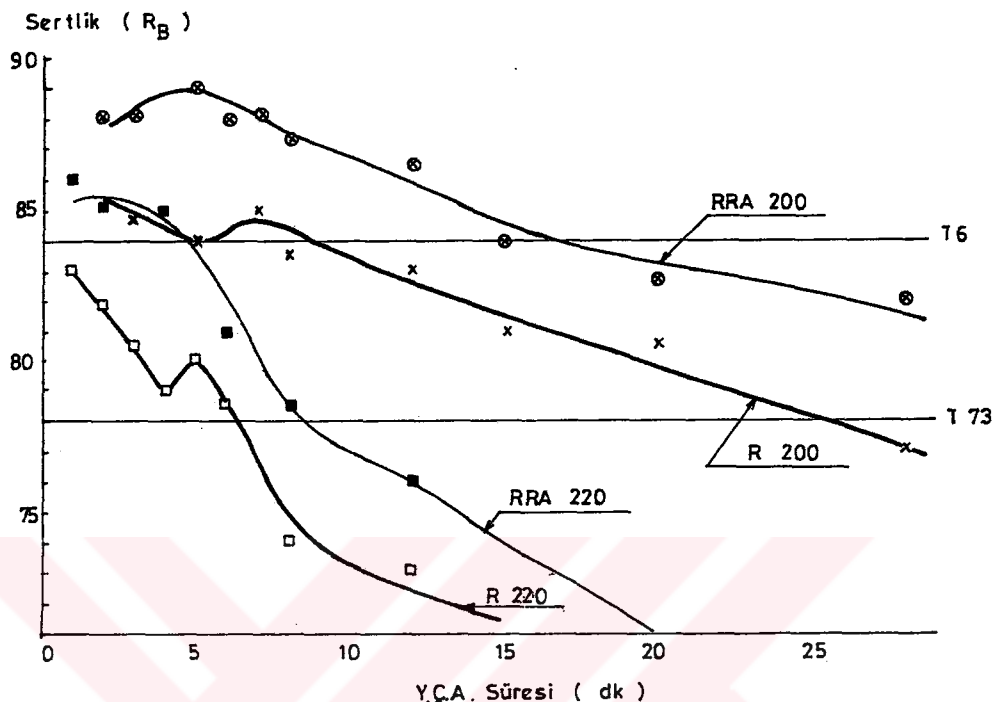
Şekil 4.3- Deneylerde kullanılan 7075 Alüminyum alaşımının L-ST doğrultusundaki mikroyapısı (Daglama çözeltisi:20ml fosforik asit(%85lik)+80ml su daglama süresi 20 dk., Büyütme :160X).

4.4.2-Sertlik Deney Sonuçları

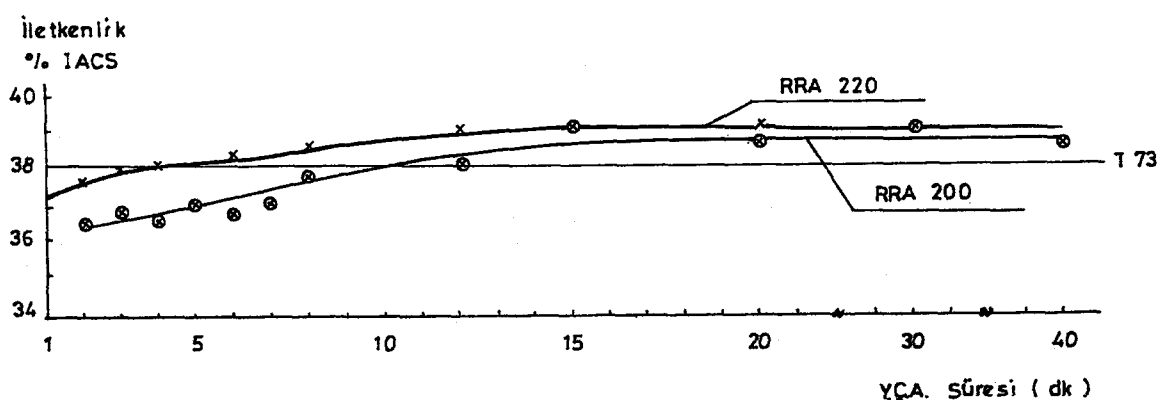
RRA ıslıl işlemleri sonucunda elde edilen sertlik değerleri, yeniden çözeltiye alma zamanına bağlı olarak Şekil 4.4 de görülmektedir. Buna göre, yeniden çözeltiye alınan numunelerde 200°C de 5dk., 220°C de 4dk.da minimum mevcuttur. Y.Ç.A. süresinin artması ile maksimuma ulaşımaktadır. Y.Ç.A. süresinin daha çok artırılması sertliğin hızlı düşüşüne neden olmaktadır. Numunelere yeniden yaşlandırma işlemi uygulandığında, sertlik değerlerinin arttığı gözlenmiştir. RRA 200 işleminde sertlik 15dk. ya, RRA 220 işleminde ise 6dk. ya kadar T₆ sertlik seviyesi korunmuştur. Y.Ç.A. süresinin artmasıyla RRA sertliği düşmektedir. 220°C yeniden çözeltiye alınan numuneler, yeniden yaşlandırıldıklarında RRA 200 e göre sertliklerini hızla kaybetmekte, artan Y.Ç.A. süresi ile sertliğin düşüşü çok hızlı olmakta ve T73 değerinin altına inmektedir.

4.4.3-Elektrik İletkenlik Ölçüm Deneylerinin Sonuçları

RRA uygulanmış numunelerin elektrik iletkenliklerinin Şekil 4.5 de görüldüğü gibi Y.Ç.A. süresine bağlı olarak arttığı tespit edilmiştir. Numunelerin, iletkenlik değerlerinin yeniden çözeltiye alınanın başında T₆ işlemeli durumdaki iletkenlik değerinin üzerinde, fakat T73 işlemeli durumdaki değerin altında oluşturmaktadır. Yeniden çözeltiye alma süresi arttığında iletkenliğin T73 minimum değerinin üzerinde oludugu gözlenmiştir.



Şekil 4.4-7075-T6 alüminyum合金alaşımına uygulanan yeniden çözeltiye alma süresine bağlı olarak sertlikte meydana gelen değişme.



Şekil 4.5-7075-T6 alüminyum合金alaşımına uygulanan RRA ıslık işleminde, Y.C.A. sürelerine bağlı olarak elektrik iletkenliğinin değişimi.

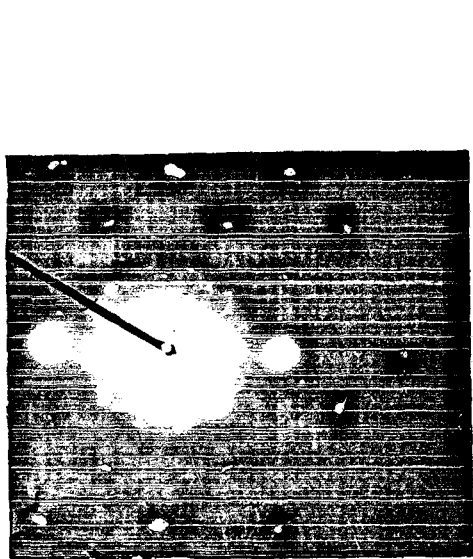
4.4.4-T E M İle Mikroyapının İncelenmesine Ait Sonuçlar

TEM kullanılarak örneklerin matriks ve tane sınırı mikroyapısı incelenmiştir.

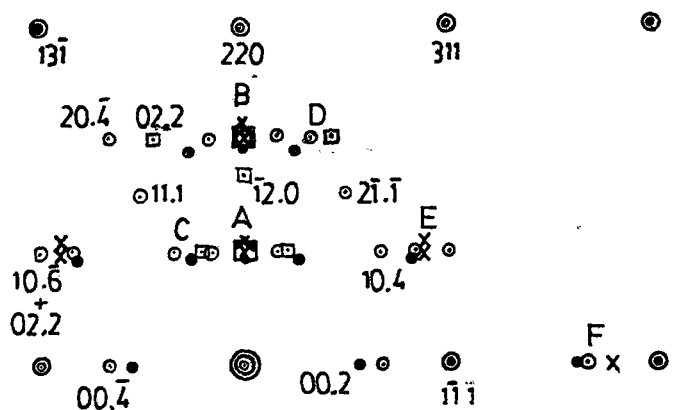
4.4.4.1-Matriks Mikroyapısına Ait Sonuçlar

200°C ve 220°C de RRA işlemi uygulanan numunelerin difraksiyon paternlerinde matris noktaları etrafındaki çökeltilere ait noktalarda bir değişim gözlenilmemektedir. Y.C.A. zamanının artması sonucunda bu noktaların daha bariz ve net bir şekilde oluşturukları gözlenmiştir. Şekil 4.6 da elektron difraksiyon paternleri ve nokta difraksiyon paternlerinin çözümleri görülmektedir.

$B= [\bar{1}12]$ zon eksenine paralel alınan difraksiyon paternine γ' ve γ çökeltilerine ait difraksiyon noktaları $1/3(220)_{Al}$, $2/3(220)_{Al}$ civarında, $\sim 1/3(1\bar{3}\bar{1})_{Al}$, $\sim 1/3(531)_{Al}$, $\sim 1/6(9\bar{1}5)_{Al}$, $\sim 1/2(\bar{1}\bar{1}\bar{1})_{Al}$ da bulunmaktadır. $B= [100]$ zon eksenine paralel alınan difraksiyon paterninde $(220)_{Al}$ ile merkez noktası arasında $1/3(220)_{Al}$, $2/3(220)_{Al}$ şekilde görülmektedir. Diğer zon eksenlerinde de γ' ve γ çökeltilerine ait difraksiyon noktalarını görmek mümkündür.



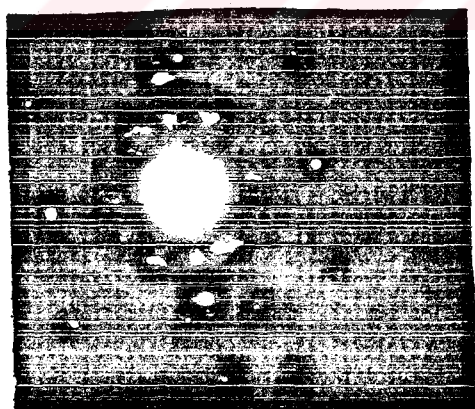
(a)



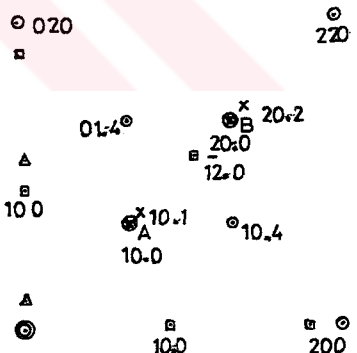
BELİRTEC

- η_1 : A: 10.1(x), 00.2(x), 00.2(□), 10.0(○), 10.0(○)
B: 20.2(x), 00.4(x), 00.4(□), 20.0(○), 20.0(○)
- η_1 : C: 10.2(○), 10.1(○), 01.1(□), 10.1(○)
- η_2 : D: 22.2(□), 20.2 + 11.6(○), 20.1(○)
- ✗ η_4 : E: 10.5 + 22.2(○), 22.1(x), 12.2(x), 10.5(○), 10.3(○)
- F: 24.0(x), 00.1(○), 00.6(○)

(b)



(c)



BELİRTEC

- A : 002(x), 002(□), 10.0(○)
- B : 004(x), 004(□), 20.0(○)

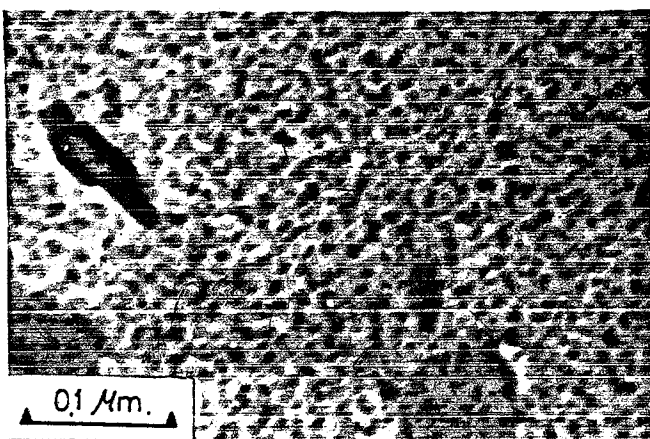
(d)

Sekil 4.6- 7075 RRA mikroyapısından elde edilen ve çökeltilerine ait yansımaları gösteren elektron difraksiyon paterni , difraksiyon paterninin çözümlenmiş [18] hali.
 a) [112]Difraksiyonu paterni , b) çözümü ,
 c) [100]Difraksiyon paterni , d) çözümü.

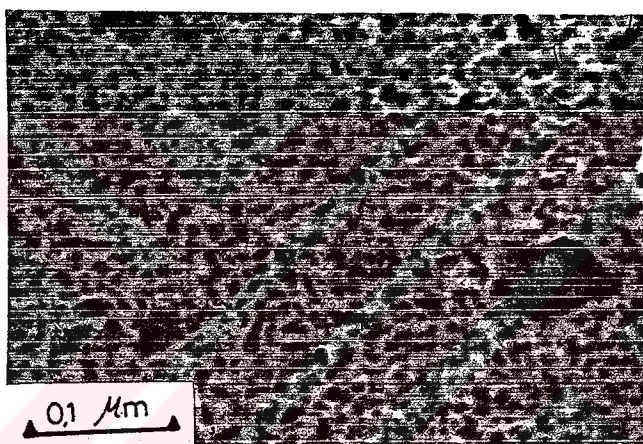
Aydınlık alan görüntüsü incelendiğinde, yeniden çözeltiye alma süresine bağlı olarak çökeltilerin boyutlarının arttığı ve toplam partikül yoğunluğunun azaldığı gözlenmektedir. Yeniden çözeltiye alma işleminin başlangıcında, özellikle dispersoidler etrafında çökelti içermeyen zonu görmek mümkün olmaz iken, yeniden çözeltiye alma sürelerinin artmasıyla bariz şekilde görülmektedir. Ayrıca küresel partiküllerin büyüdürüği görülse bile aşırı büyütmelerde levha şeklindeki partiküllerin daha çok büyüdükleri ve sayılarının arttığı tespit edilmiştir. 200°C ve 220°C de farklı süreler yeniden çözeltiye alınan örneklerden alınan aydınlichkeit alan görüntüleri Şekil 4.7, Şekil 4.8 de görülmektedir. Çok fazla büyütülmüş elektron mikrograflarında halka şeklinde gelmiş atom boşluklarının mevcut oldukları ve RRA 200 de boyutlarının küçük, RRA 220 de ise büyük olduğu bulunmuştur. Çökeltilerin dislokasyonlarda çekirdeklestiği (bakınız Şekil 4.9) ve oluşan çökeltiler etrafında kanalcıklar şeklinde çökeltisiz bölgelerin oluştuğu görülmektedir.

Çökeltilerin çok küçük ve birbirlerine çok yakın olmaları dolayısıyla sınırlanan alan içinde birden çok çözeltiye ait difraksiyon noktası vardır. Bu nedenle, elde edilen karanlık alan görüntüsünde γ' ve γ çökeltileri birlikte bulunmaktadır.

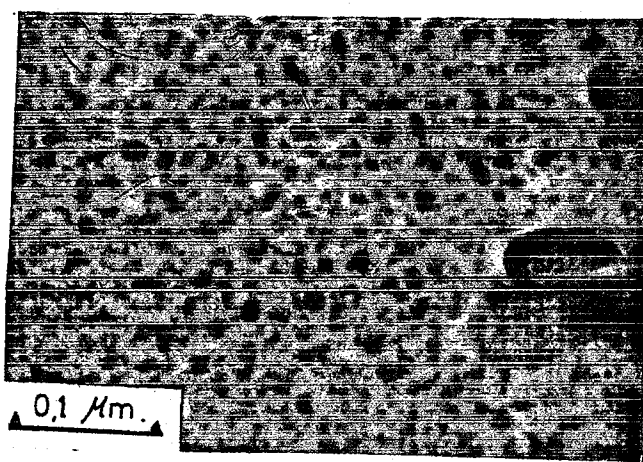
Karanlık alan görüntüleride, aydınlichkeit alan görüntüleri ile uyumlu şekilde, yeniden çözeltiye alma süresinin artması ile çökeltilerin boyutlarının arttığı belirlenmiştir. Çökelti yoğunlığında kısa sürelerde değişimi gözlemek güç isede, artan zamanla yoğunluğun azaldığı gözlenmiştir. Levha şeklindeki çökeltilerin



(a)

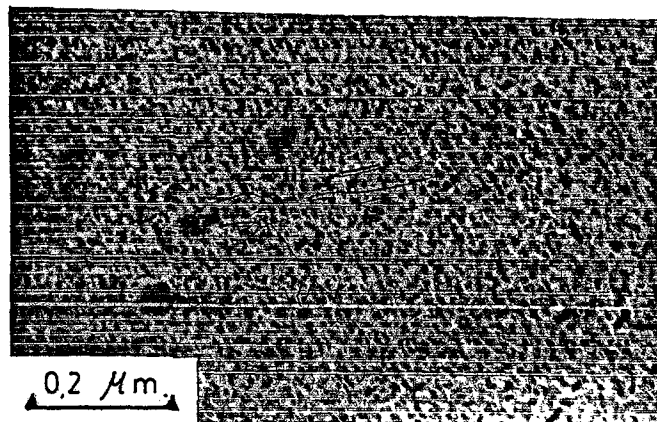


(b)

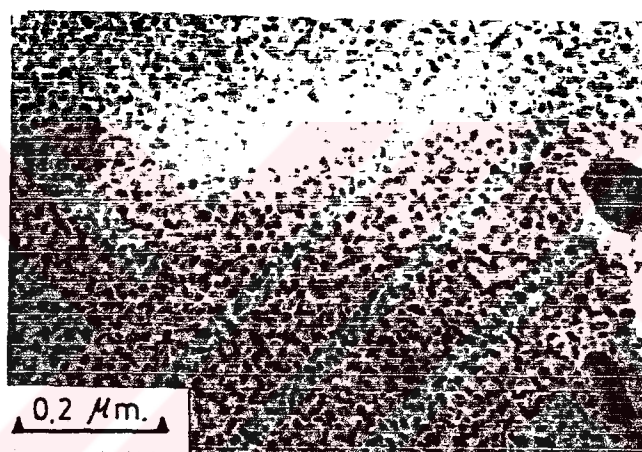


(c)

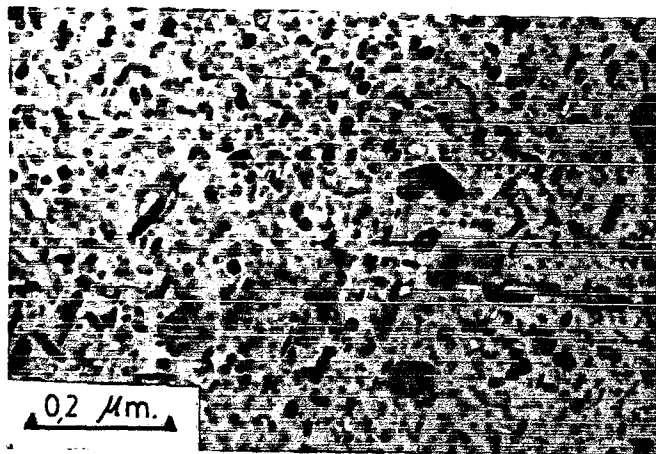
Şekil 4.7-7075-T6 Al alaşımına , 200°C de yeniden çözeltiye alma + yeniden yaşlandırma işlemi uygulanmış örneklerden aydınlik alan görüntüleri Y.C.A süresi a)2dk , b)5dk , c)30dk.



(a)

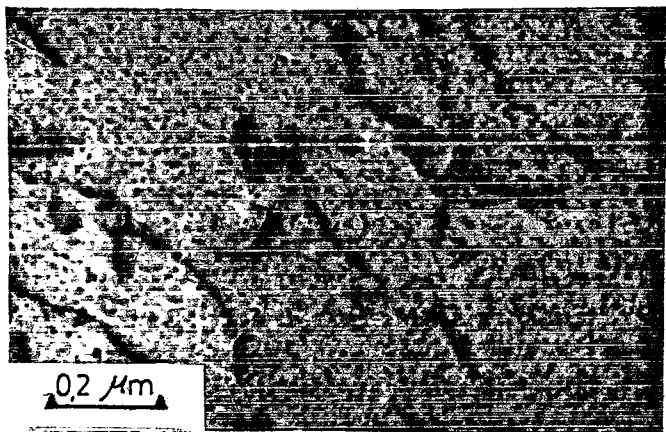


(b)

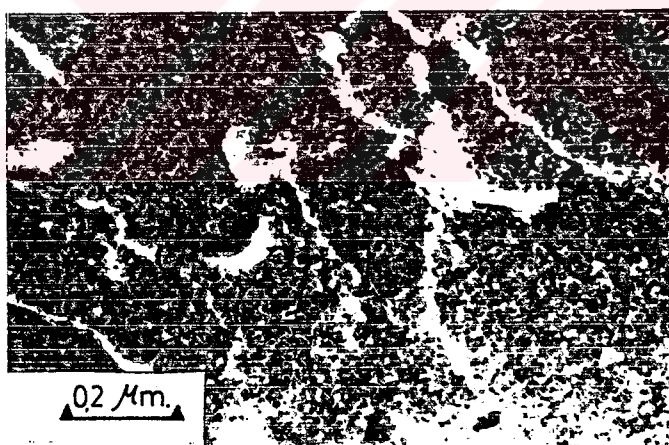


(c)

Şekil 4.8-7075-T6 Al alaşımına 220°C de yeniden
çözeltiye alma + yeniden yaşlandırma işlemi
uygulanmış örneklerden aydınlık alan görüntüsü
Y.C.A süresi a)1dk , b)4dk , c)20dk.



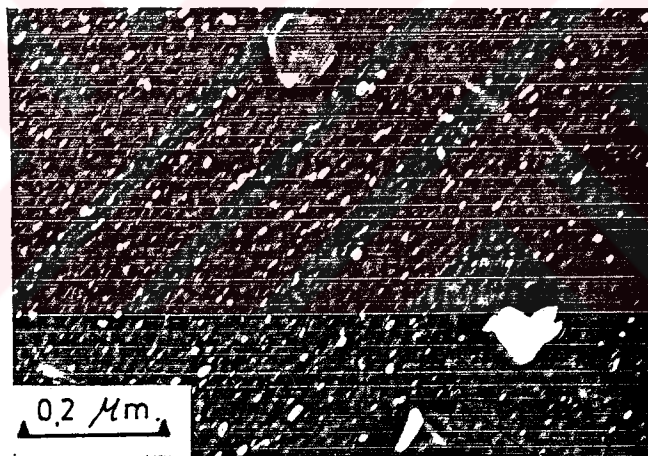
(a)



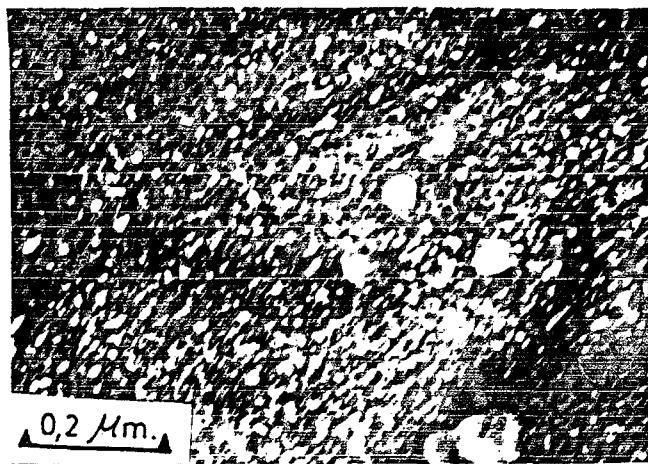
(b)

Şekil 4.9-7075 Al alaşımına RRA 220, Y.C.A. süresi: 1 dk,
işlem koşullarında mikroyapıdaki çökelti ve
dislokasyonları gösteren a) Aydınlık alan,
b) Aynı alana ait karanlık alan görüntüsü.

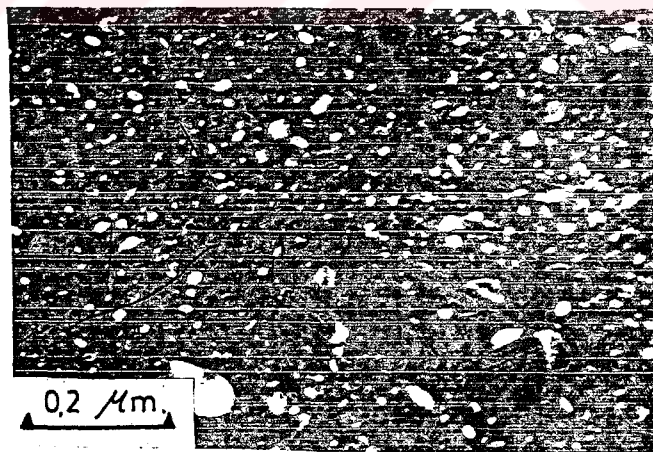
bazılarının belli yönlerde sıraya dizilerek yerleştikleri ve dislokasyonlarda, alttane sınırlarında çekirdekleserek büyütükleri tespit edilmiştir. Şekil 4.10, Şekil 4.11 da yeniden çözeltiye alma zamanına bağlı olarak çeşitli difraksiyon noktalarından alınan karanlık alan görüntüleri görülmektedir.



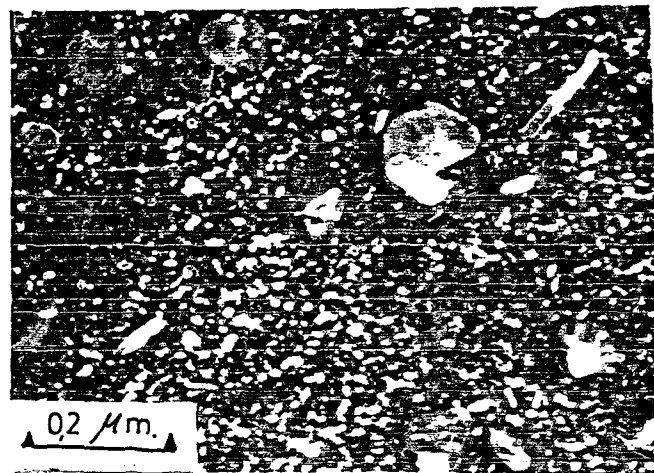
Şekil 4.10a-7075-T6 Al alaşımına 200°C de 2dk yeniden çözeltiye alma + yeniden yaşlandırma işlemi uygulanmış örneklerden $B=[100]$ zon ekseni kullanılarak $(10.0)\bar{2}' + (00.2)\bar{2}_1 + (00.2)\bar{2}_4$ yansımalarını içeren karanlık alan görüntüsü.



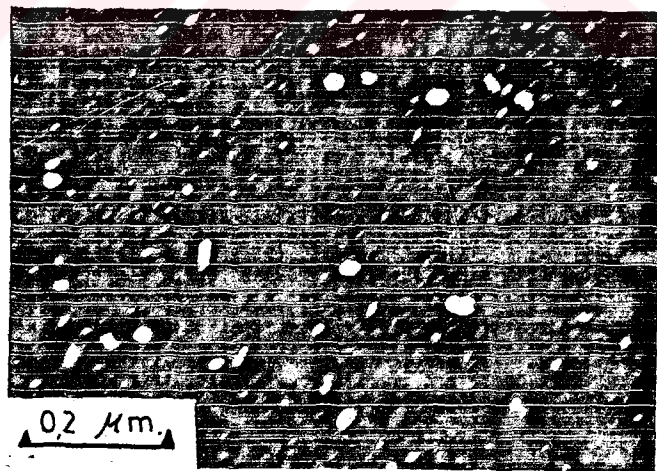
Şekil 4.10b-7075-T6 Al alaşımına 200°C de 5dk yeniden çözeltiye alma + yeniden yaşlandırma işlemi uygulanmış örneklerden $B=[100]$ zon ekseni kullanılarak $(10.0)\gamma' + (00.2)\gamma_1 + (00.2)\gamma_4$ yansımalarını içeren karanlık alan görüntüsü.



Şekil 4.10c-7075-T6 Al alaşımına 200°C de 30dk yeniden çözeltiye alma + yeniden yaşlandırma işlemi uygulanmış örneklerden $B=[\bar{1}12]$ zon ekseni kullanılarak $(10.0)\gamma' + (00.2)\gamma_1 + (10.0)\gamma_2 + (10.1)\gamma_4 + (00.2)\gamma_4$ yansımalarını içeren karanlık alan görüntüsü.



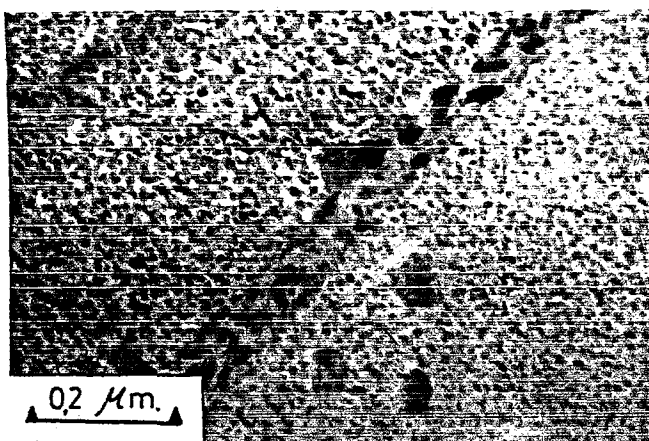
Şekil 4.11a-7075-T6 Al合金ına 220°C de 4dk yeniden çözeltiye alma + yeniden yaşlandırma işlemi uygulanmış örneklerden $B=[\bar{1}\bar{1}2]$ zon ekseni kullanılarak $(20.0)\gamma' + (00.4)\gamma_2 + (00.4)\gamma_4$ ve $(20.2)\gamma_4 + (12.0)\gamma_4$ yansımalarını içeren karanlık alan görüntüsü.



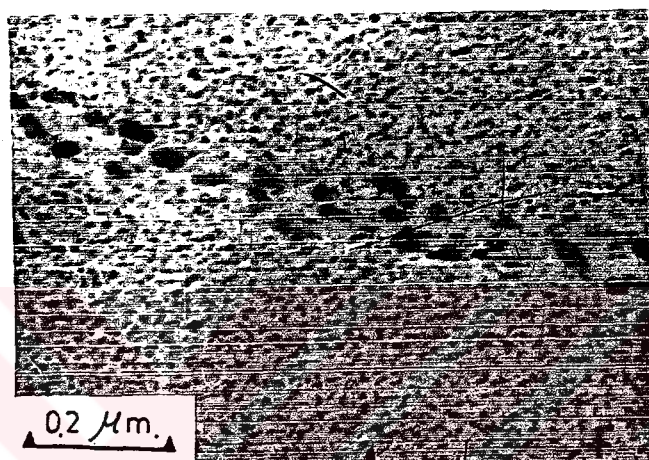
Şekil 4.11b-7075-T6 Al合金ına 220°C de 20dk yeniden çözeltiye alma + yeniden yaşlandırma işlemi uygulanmış örneklerden $B=[\bar{1}\bar{1}2]$ zon ekseni kullanılarak $(20.0)\gamma' + (20.0)\gamma_2 + (00.4)\gamma_4 + (20.2)\gamma_4$ yansımalarını içeren karanlık alan görüntüsü.

4.4.4.2-Tane Sınırı Mikroyapısı

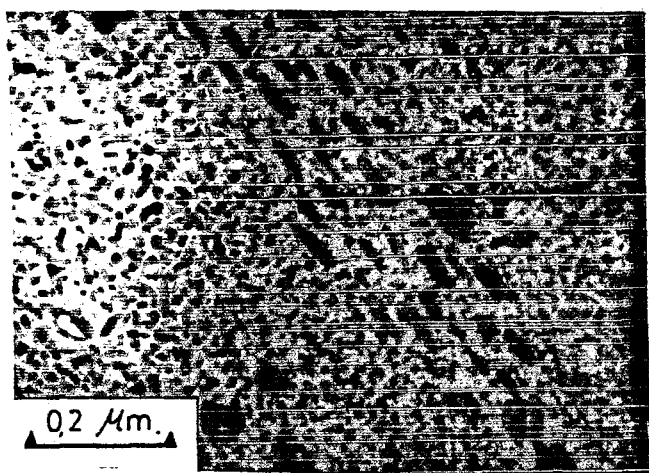
Tane sınırı çökeltilerinin ısıl işlem durumuna bağlı olarak değişimi Şekil 4.12 ve Şekil 4.13 de görülmektedir. Tane sınırı çökeltilerinin boyutu, Y.C.A. işleminin başında için küçük iken, orta ve uzun sürelerde artış göstermiştir. Büyüme, yeniden çözeltiye alma işleminin başlangıcında çok hızlıdır, uzun yeniden çözeltiye alma sürelerinde çökeltilerin büyümeye hızlarının başlangıçından daha az olduğu görülmüştür. Artan zaman ile tane sınırı çökeltilerinin sayılarının azaldığı da izlenilmektedir. Çökeltisiz zonun genişliği 30-50 nm arasında değişmektedir ve RRA 220 de RRA 200 dekine göre bir miktar daha geniş olduğu tespit edilmiştir.



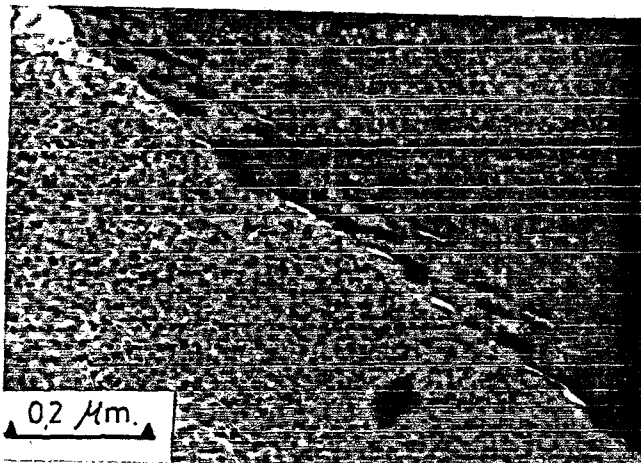
Şekil 4.12-7075-T6 Al alaşımının yeniden çözeltiye alınmış+yeniden yaşlandırılmış örneklerin tane sınırı çökeltilerinin mikrografi
a)RRA 200, Y.C.A. süresi:2dk.



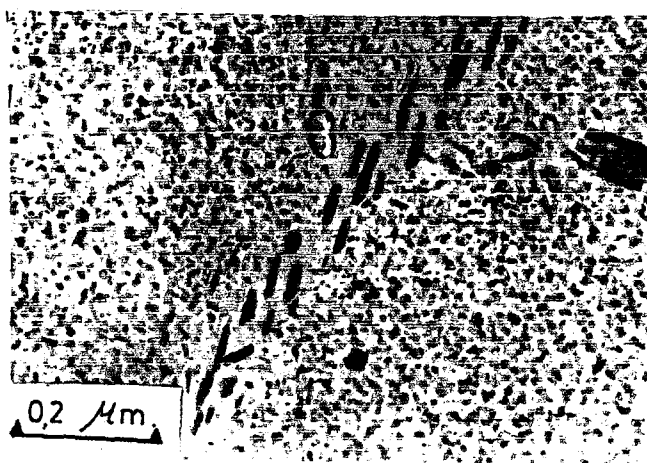
b) RRA 200 , Y.C.A. süresi: 5dk.



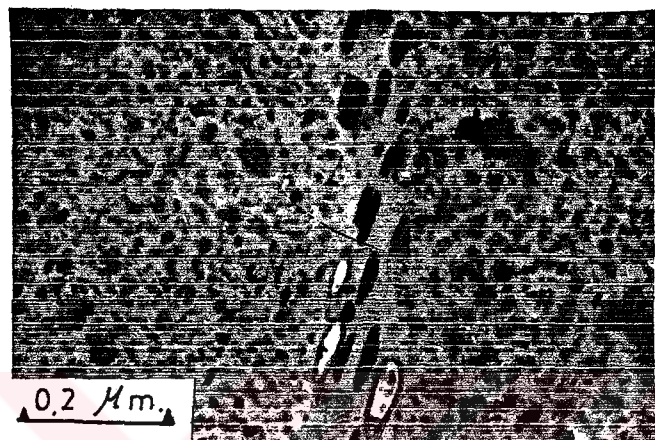
c) RRA 200 , Y.C.A. süresi: 30dk.



Sekil 4.13-7075-T6 Al alaşımının yeniden çözeltiye alma +
yeniden yaşlandırma işlemi uygulanan Örneklerin
tane sınırı çökeltilerinin mikrografi
a) RRA 220 , Y.C.A. süresi:1dk.



b) RRA 220 , Y.C.A. süresi:4dk.



c) RRA 220 , Y.C.A. süresi:20 dk.

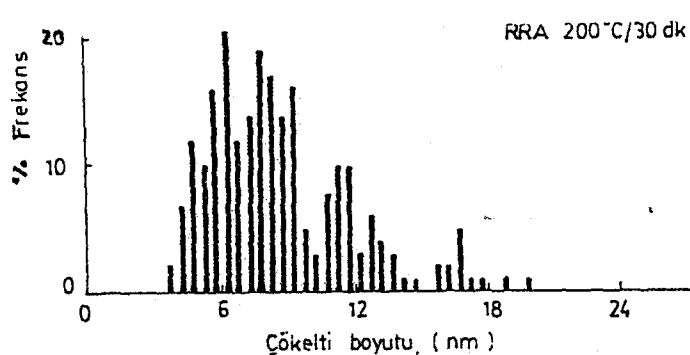
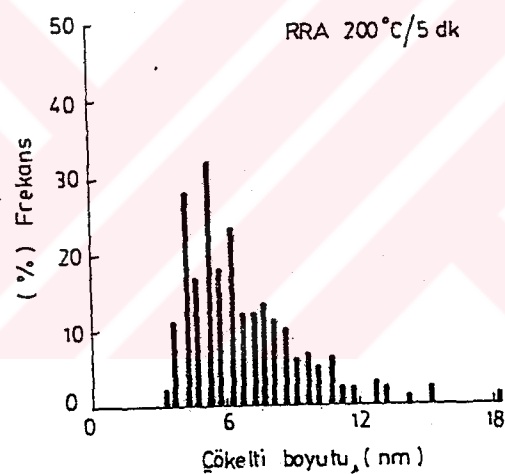
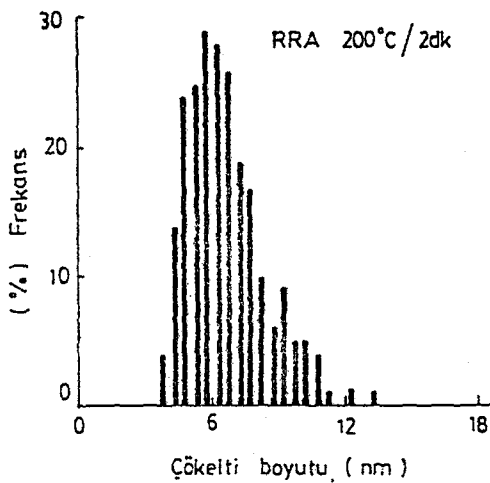
4.4.5-TEM Mikrograflarının Kantitatif Analiz Sonuçları

4.4.5.1-Matriks Çökeltilerine Ait Sonuçlar

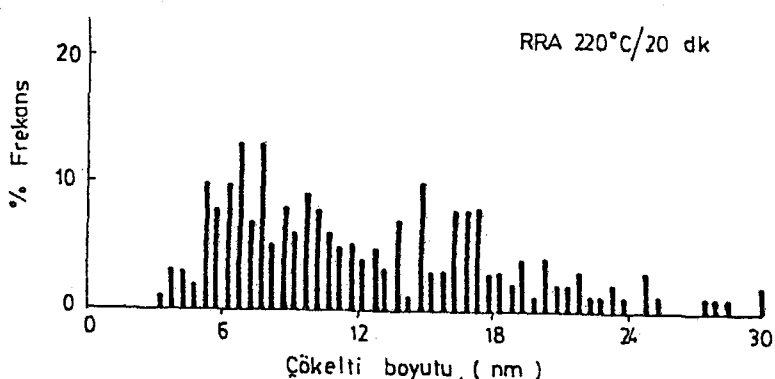
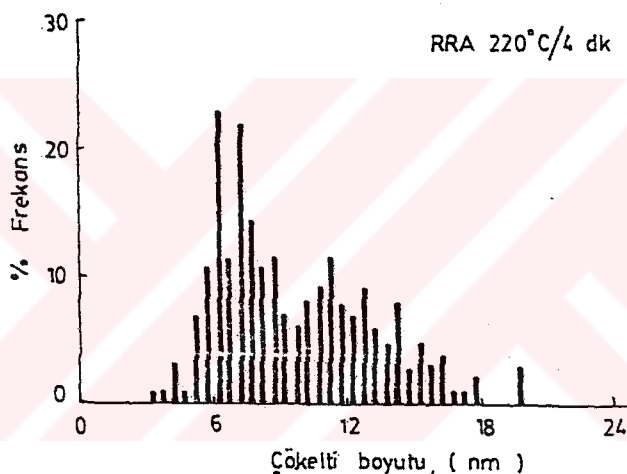
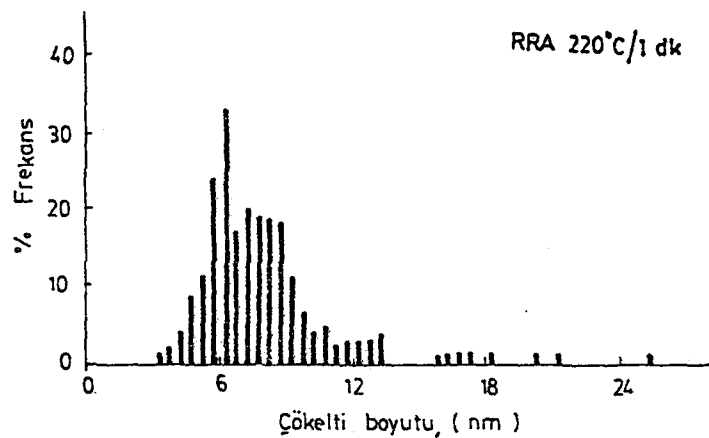
Şekil 4.14 , Şekil 4.15 de ısil işlem durumuna bağlı olarak matris partikül boyut dağılımı görülmektedir.

Çökeltilerin boyutlarının değişimi histogramlardan gözlenebileceği gibi , "kümülatif frekans-çökelti boyutu" diyagramı vasıtasiyla incelenebilir (Şekil 4.16) . Frekans egrilerinden RRA 200 de çökelti boyutlarındaki değişimin, RRA 220 deki çökelti boyutlarındaki değişimle göre az olduğu görülmektedir. Tablo 4.3 den de izlenebileceği gibi RRA durumunda başlangıçtaki yüksek sertlik değeri küçük boyutlu çökeltilerin varlığından kaynaklanmaktadır, sertlik egrisinin sürekli düşüş göstermesine ise, çökelti boyutlarıının artışı neden olmaktadır.

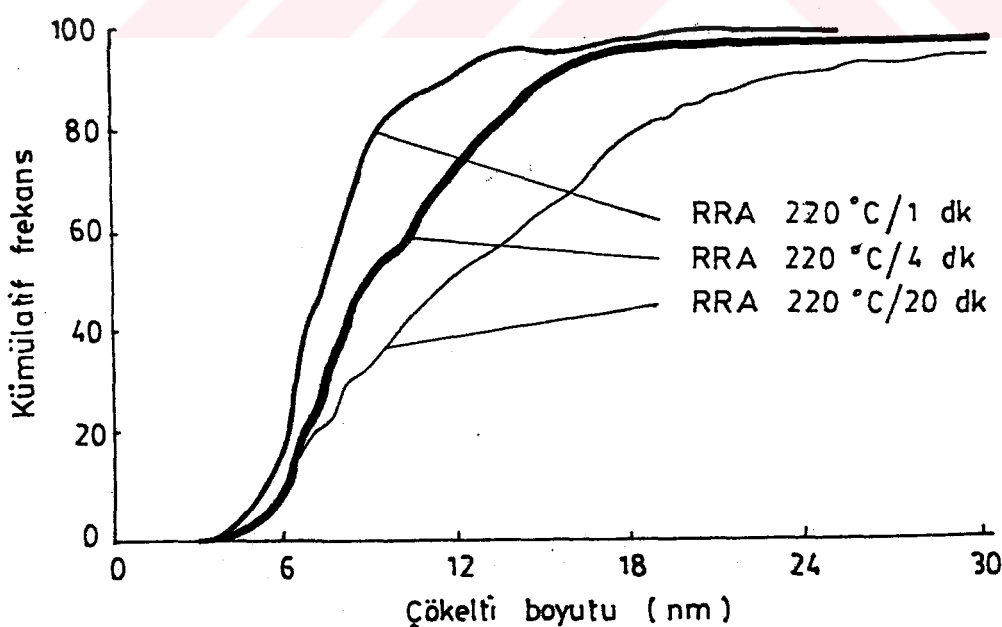
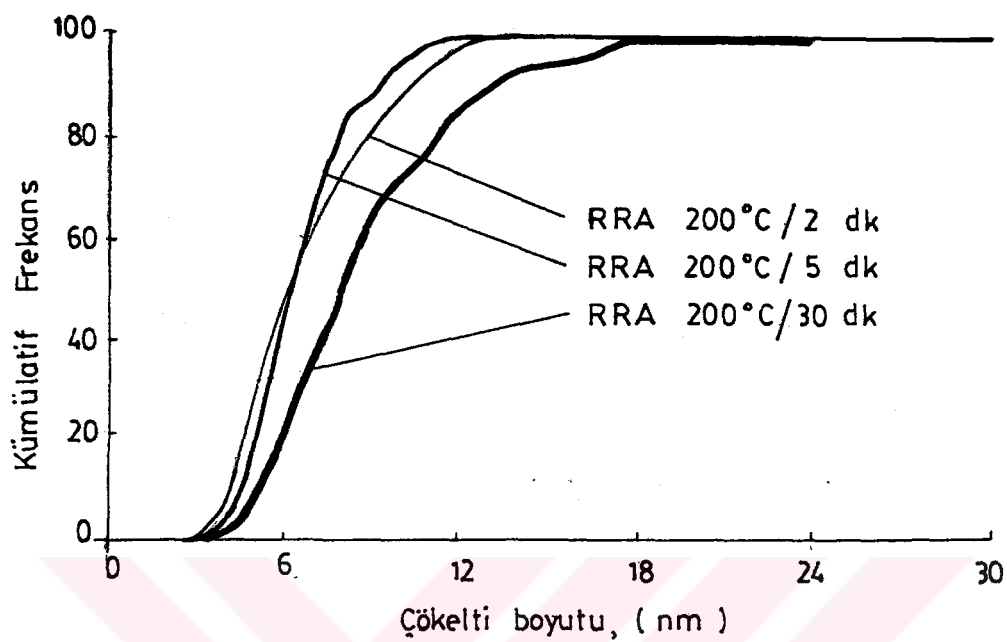
Çökeltilerin büyümesi 220°C de 200°C ye göre daha hızlıdır. 200 ve 220°C de RRA uygulanmış örneklerde başlangıçta küçük boyutlu çökeltiler çoğulugu oluşturmaktadır. Her iki sıcaklıkta minimum piklerin görüldüğü Y.Ç.A. sürelerinde çökelti boyutunun bir miktar arttığı fakat henüz kabalaşmaların olmadığı dikkati çekmektedir. Y.Ç.A. süresinin artmasıyla çökeltillerin boyutlarının arttığı ve çok geniş bir aralıkta değiştiği izlenmektedir.



Şekil 4.14-200°C de yeniden çözeltiye alınmış + yeniden yaşlandırılmış örneklerde ait matriks çökeletilerinin boyut dağılımı.



Sekil 4.15-: 220°C de yeniden çözeltiye alınmış + yeniden yaşlandırılmış örneklerde ait matriks çökeltilerinin boyut dağılımı.



Sekil 4.16-RRA işlemi uygulanmış örneklerin matriks çökelti boyutlarının kümülatif frekansa göre değişimi.

Tablo 4.3-Matriks çökelti boyutlarının kümülatif frekans değerleri.

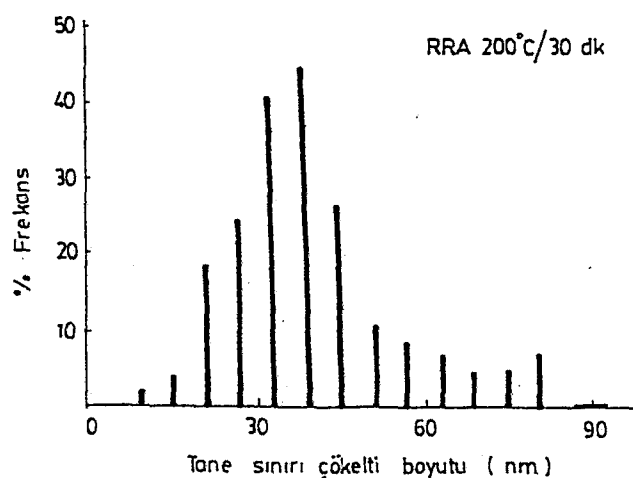
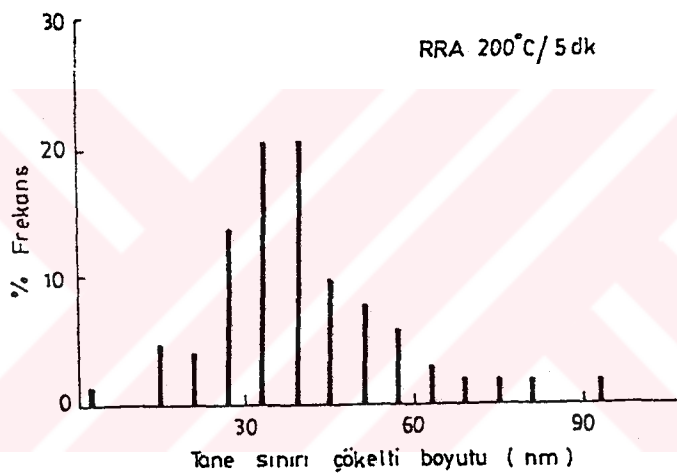
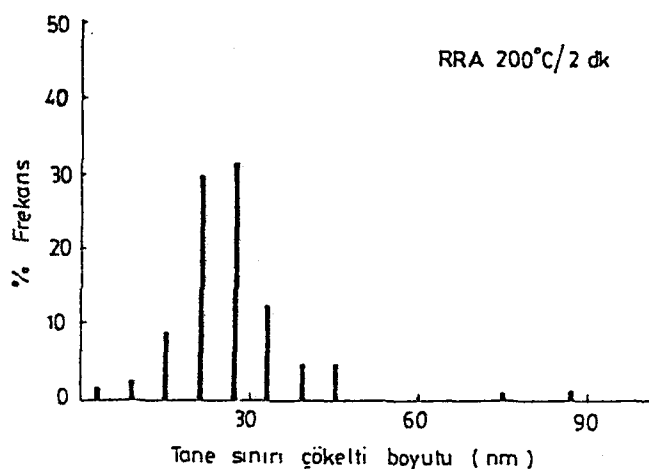
RRA sıcaklığı (°C)	RRA zamanı (dk)	% f	
		çökelti boyutu (nm) ≤ 6	≤ 9 (#)
200	2	40	90
	5	50	85
	20	20	65
220	1	20	70
	4	10	50
	20	10	30

matriks çökelti ortalama boyutu T6(6 nm), T73 (10 nm).

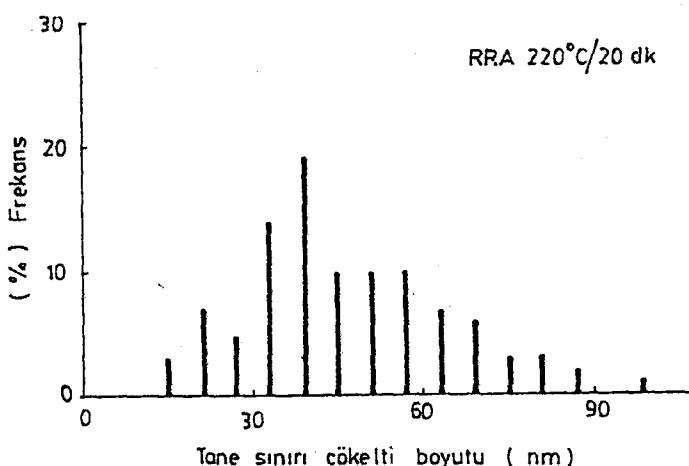
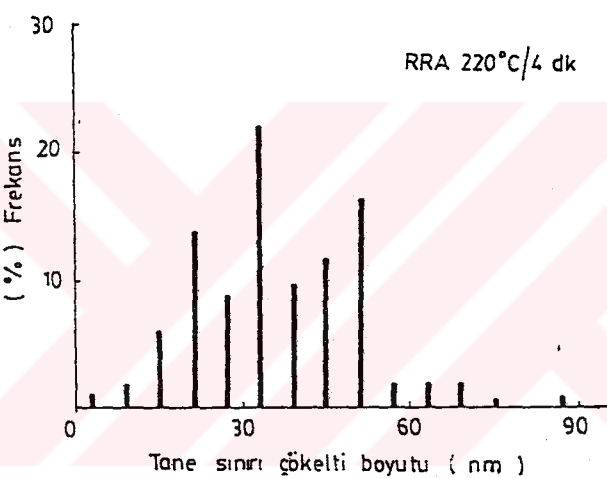
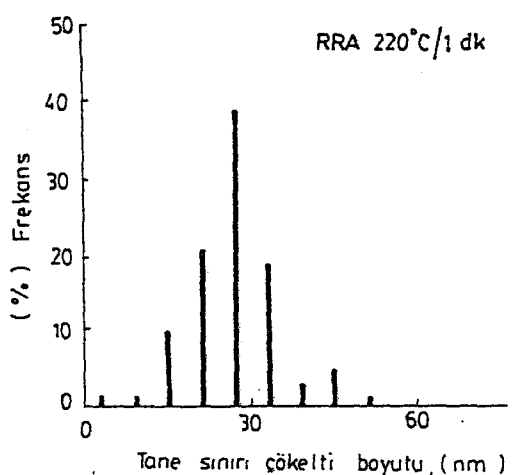
4.4.5.2-Tane Sınırı Çökeltilerinin Kantitatif Analiz Sonuçları

Şekil 4.17, Şekil 4.18 de ısil işlem durumlarına bağlı olarak tane sınırı partikül boyut dağılımları görülmektedir. Histogramlardan, tane sınırı çökelti boyutunun yeniden çözeltiye alma süresinin artması ile arttığı belirlenmektedir.

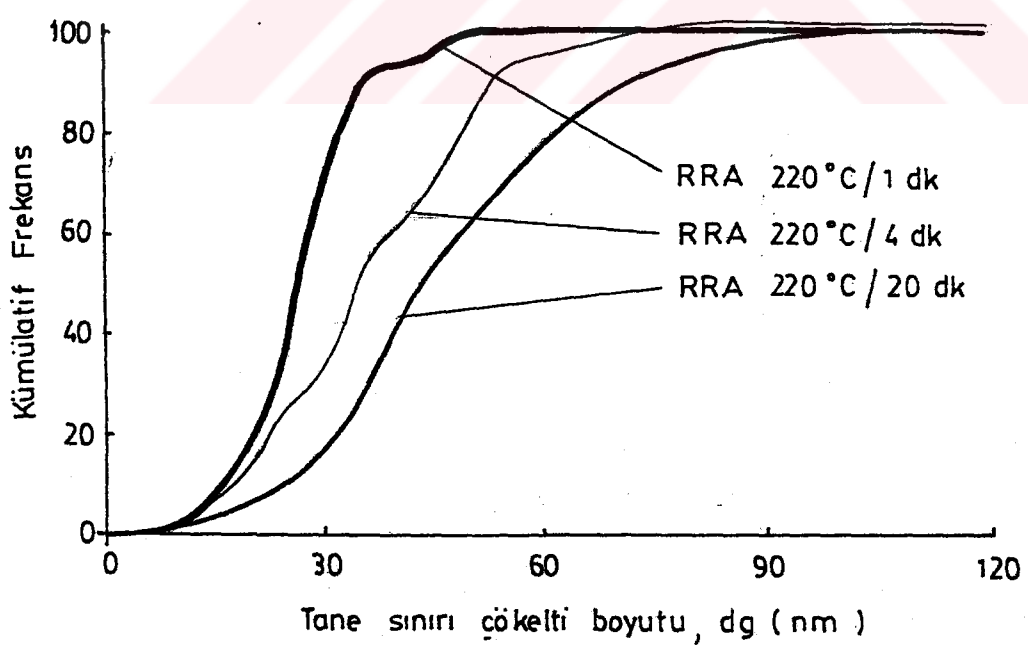
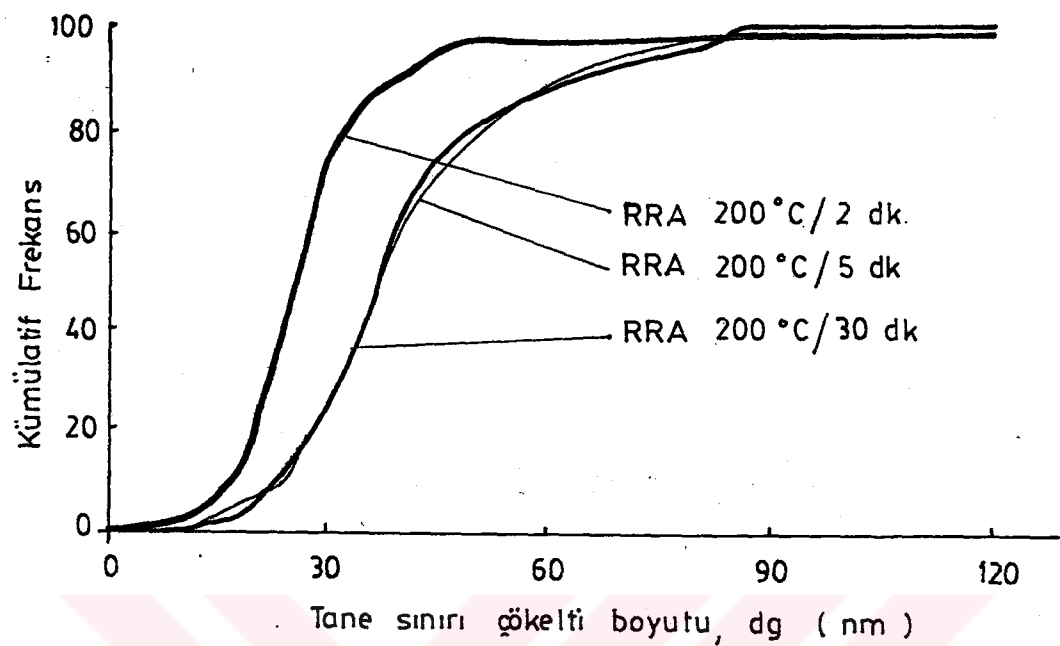
Tane sınırı çökelti boyutlarındaki değişim Şekil 4.19 de görülen kümülatif frekans egrilerinde bariz şekilde izlenilmektedir. Tane sınırı çökeltilerinin boyutları, yeniden çözeltiye alma işleminin ilk dakikalarda hızla artmaktadır. Uzun yeniden çözeltiye alma sürelerinde ise artış olmasına rağmen başlangıçtaki kadar degildir. Tablo 4.4 de başlangıçtaki tane sınırı çökelti boyutunun küçük olduğu açıkça görülmektedir.



Şekil 4.17-200°C de yeniden çözeltiye alınmış + yeniden yaşlandırılmış örneklerin tane sınırı çökelti boyutlarının değişimi.



Sekil 4.18-220°C de yeniden çözeltiye alınmış + yeniden yaşlandırılmış örneklerin tane sınırı çökelti boyutlarının değişimi.



Şekil 4.19-RRA işlemi uygulanan örneklerin tane sınırı çökelti boyutlarının kümülatif frekansa göre değişimi.

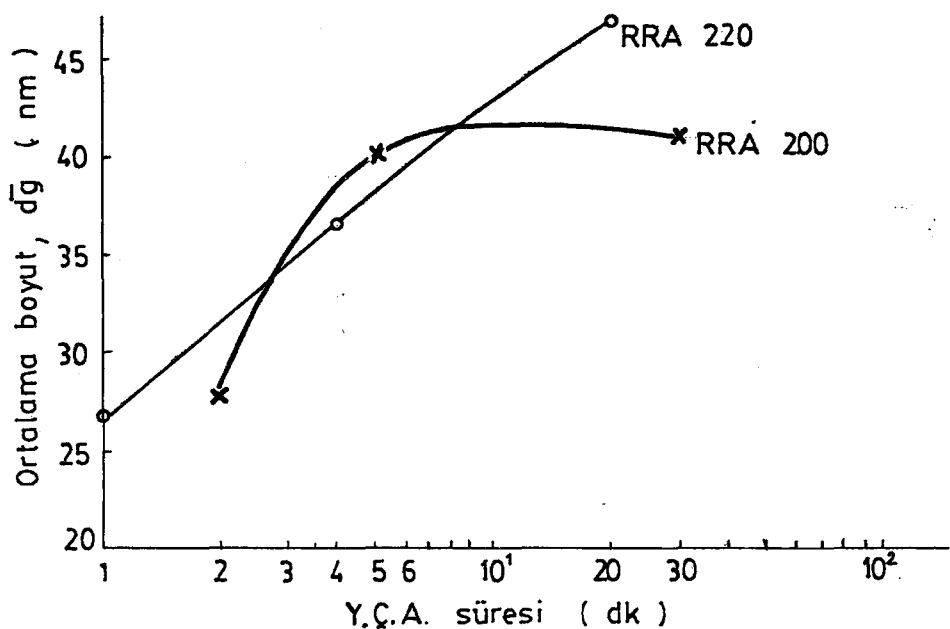
Tablo 4.4-Tane sınır çökeltilerinin kümülatif frekans değerleri.

RRA sıcaklığı (°C)	RRA zamanı (dk)	% f çökelti boyutu (nm)	
		≤ 30	≤ 45 (#)
200	2	65	90
	5	20	70
	30	20	70
220	1	70	90
	4	30	70
	20	20	50

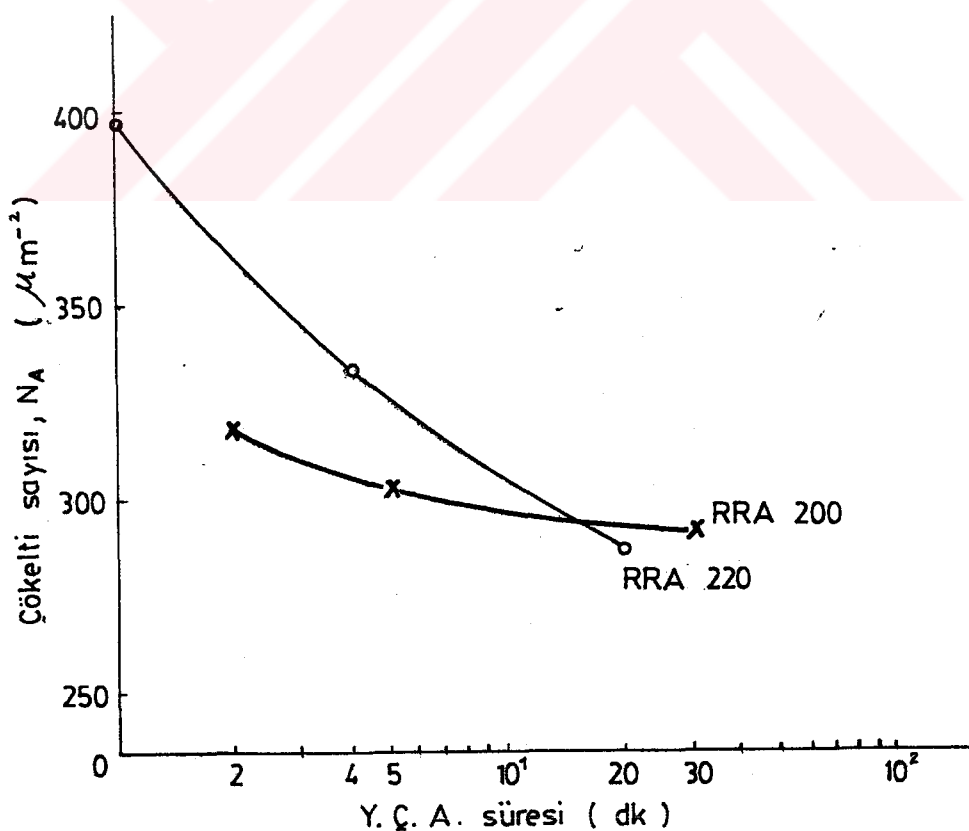
tane sınırı çökelti ort. boyutu T6 (26 nm), T73 (47 nm).

Tane sınırı çökeltilerinin ortalama boyutları, yeniden çözeltiye alma süresine göre bir eğrile gösterildiğinde (Şekil 4.20), 200°C de minimum değerin elde edildiği 5 dk ya kadar ortalama boyutta artış vardır. Minimumdan sonra, boyuttaki artış azdır. 220°C de ise minimumun etkisine rastlanılamamıştır.

Isıl işlem durumlarına göre Na değerlerinin değişimi Şekil 4.21 de görülmektedir. 200°C de minimuma kadar Na değeri küçülmekte, minimumdan sonra ise sabit kalmaktadır. 220°C de Na değerinin artan partikül boyutuna paralel olarak, sürekli azaldığı izlenmektedir.

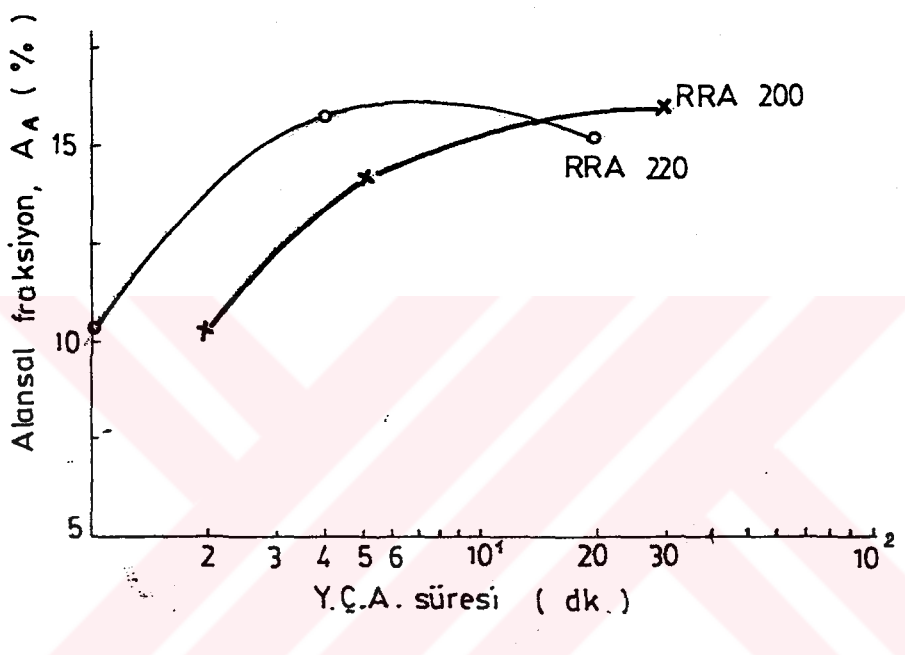


Şekil 4.20-Yeniden çözeltiye alma süresine bağlı olarak tane sınırı çökeltilerinin ortalama boyut değişimi.



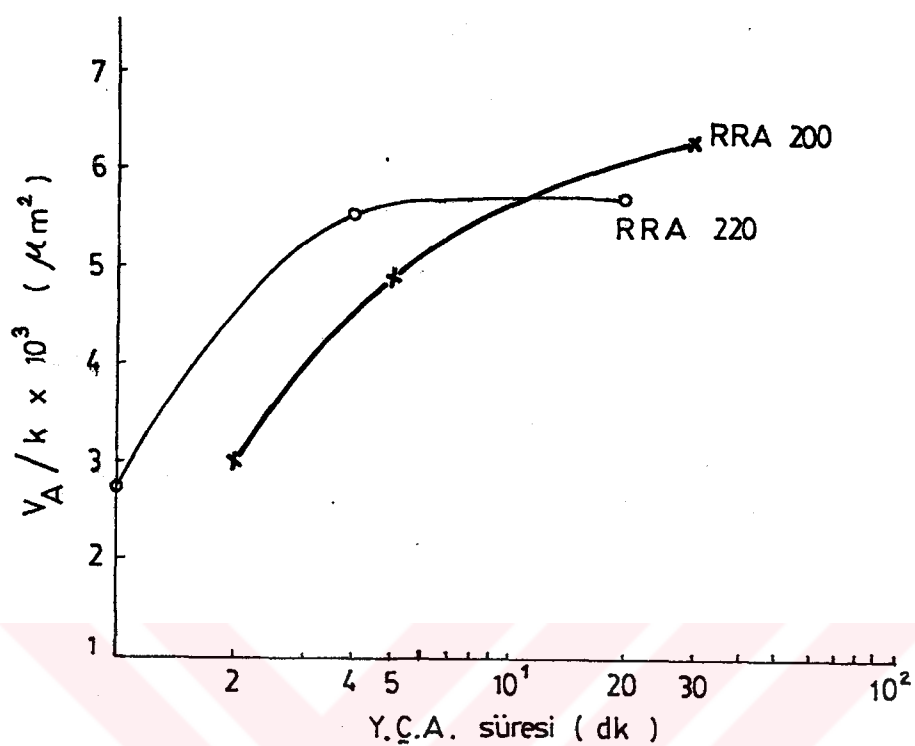
Şekil 4.21-Yeniden çözeltiye alma süresine bağlı olarak birim alandaki çökelti sayısının (N_A) değişimi.

Şekil 4.22 de AA nin yeniden çözeltiye alma zamanına bağlı olarak değişimi görülmektedir. 200°C ve 220°C lerde AA nin minimuma kadar arttığı ,minimumdan sonra önemli bir değişiklik olmadığı bulunmuştur.



Şekil 4.22-Yeniden çözeltiye alma süresine bağlı olarak alansal fraksiyonun (AA) değişimi.

V_A tane sınırlarında anodik alan ölçüsü olarak , çatılk büyümeye hızını kontrol ettiği kabul edilmektedir. V_A nin artması ile çatılk hızının azalacağı ümit edilmektedir. RRA200 de V_A/k nin sürekli olarak arttığı , RRA220 de ise başlangıçta artış göstermesine rağmen , yeniden çözeltiye alma sürelerinin artışıyla çoğalmadığı izlenmektedir.



Sekil 4.23-Yeniden çözeltiye alma süresine bağlı olarak
 V_A/k (bakınız denklem 4.1) değişimi.

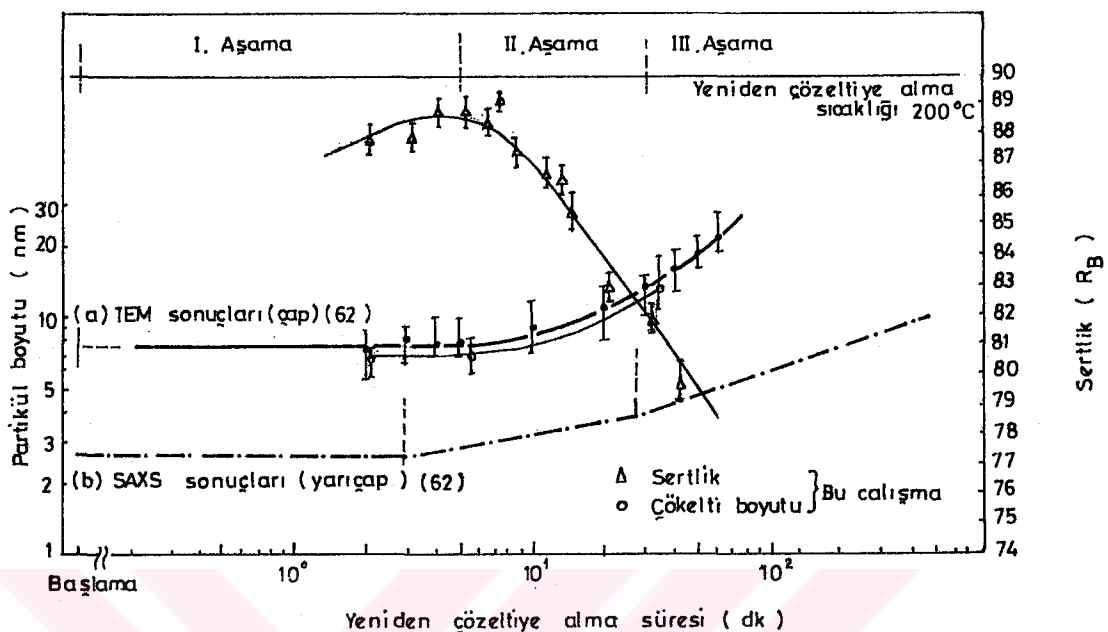
BÖLÜM 5

DENEY SONUÇLARININ TARTIŞILMASI

5.1- RRA Isıl İşlemının Matriks Mikroyapısına ve Mekanik Özelliklerine Etkisi

7075-T6 alüminyum alasımına yeniden çözeltiye alma ve yeniden yaşlandırma (RRA) işlemi 200°C ve 220°C de uygulanmıştır. RRA işlemleri sonucunda T6 sertlik değeri RRA 200 de 15 dakikaya, RRA 220 de 6 dakikaya kadar korunabilmistir. RRA 200 de 15 dk., RRA 220 de 6 dk. dan uzun Y.Ç.A. süreleri için elektrik iletkenliği T73 seviyesindedir. Y.Ç.A. egrisinde minimuma karşıt gelen sürelerde, yeniden yaşlandırma sonucunda en yüksek sertlik elde edilmektedir. Bu sonuc Cina [3] ve Wallace [57] ile uyumludur.

Minimuma karşıt gelen RRA durumunda matriks ortalama çökelti boyutu RRA 200 de 7.1 nm . RRA 220 de 9 nm dir. Bu durumda partikül yoğunluğunun ise yüksek olduğu tespit edilmiştir. Şekil 5.1 de daha önce yapılmış çalışmalarla birlikte. Y.Ç.A. süresine bağlı olarak sertlik ve matriks çökelti boyutunun değişimi incelendiğinde, sertliğin çökelti boyutu ile ilişkili olduğu görülmektedir. RRA işleminin başlangıcında çökelti boyutunun önemli oranda artmaması sertliğin yüksek olmasına neden olmaktadır.



Şekil 5.1 - Yeniden çözeltiye alma süresine bağlı olarak RRA işlemi örneklerdeki sertlik ve çökelti boyutu değişimi.

T6 durumundaki numunelere Y.C.A. işleminin uygulanmasıyla sertlikte meydana gelen kayıp, yeniden yaşlandırma ile telafi edilmektedir. Çökeltilerin β' ve β olduğu TEM ile tespit edilmiştir. β' ve β çökeltileri vary uyumlu ve uyumsuz çökeltilerdir. Bu çökeltiler ile sertliğin tekrar kazanılması. Melander ve Person [123] tarafından ileri sürülen, maksimum sertlik uyumsuz çökeltilerle elde edilir, teorisile uyum içindedir..

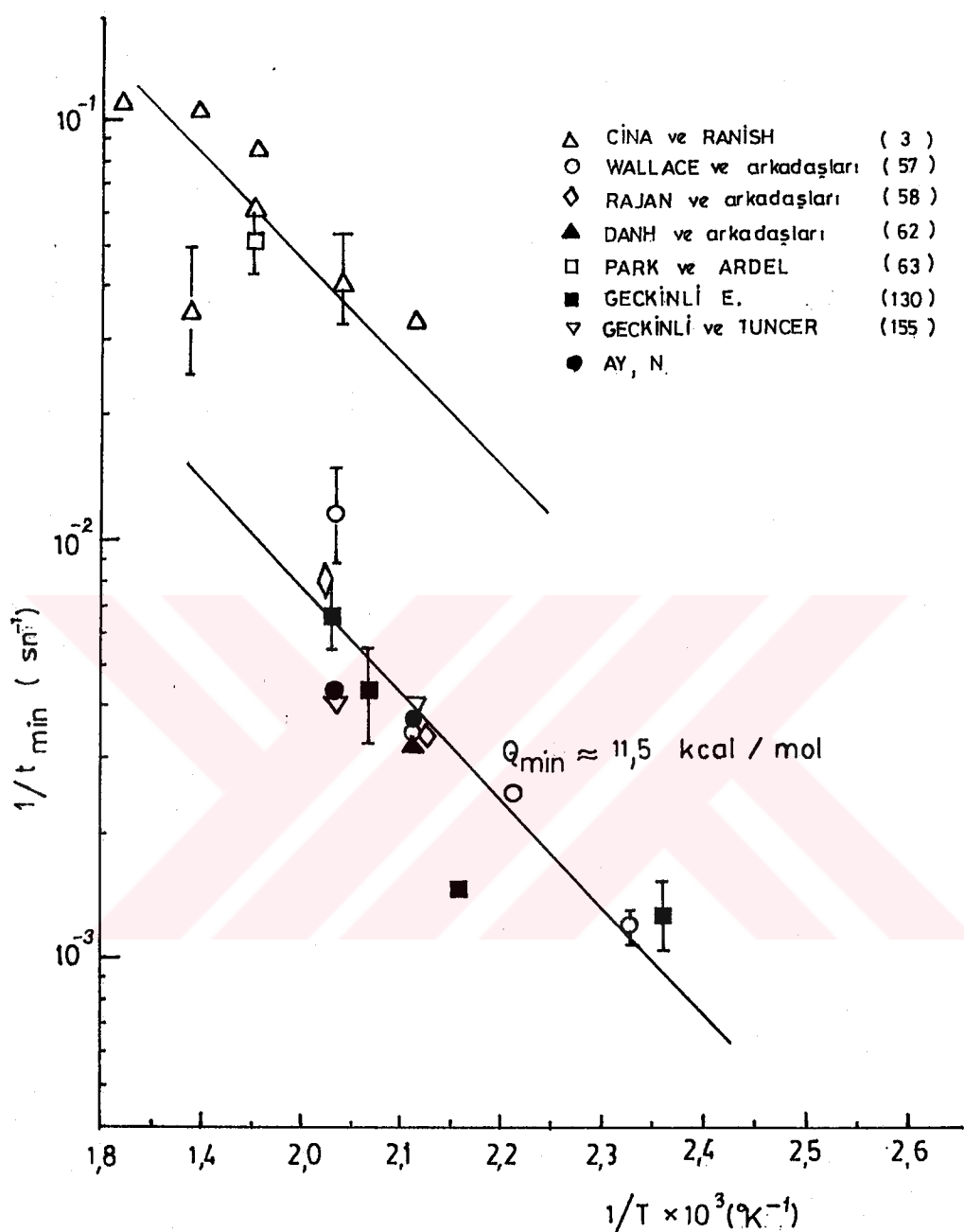
Lifshitz, Slyzov, Wagner (LSW) teorisine göre kabalaşma difüzyon kontrolludur. Kabalaşma kritik boyuttan küçük çökeltilerin tekrar çözünmesi ve kritik boyuttan büyük olanların büyümesiyle olusmaktadır [124,125]. RRA 200 de 30 dk. . RRA 220 de 20 dk. da çökelti boyutunun artışı 3-6 nm yi bulmuştur. Dolayısıyla uzun süre yeniden çözeltiye alınmış örneklerin RRA ıslı işlemi sonucunda çökeltilerin boyutlarının artması sertliğin azalmasına neden olmaktadır.

5.2 - Yeniden Çözeltiye Alma Kinetiği

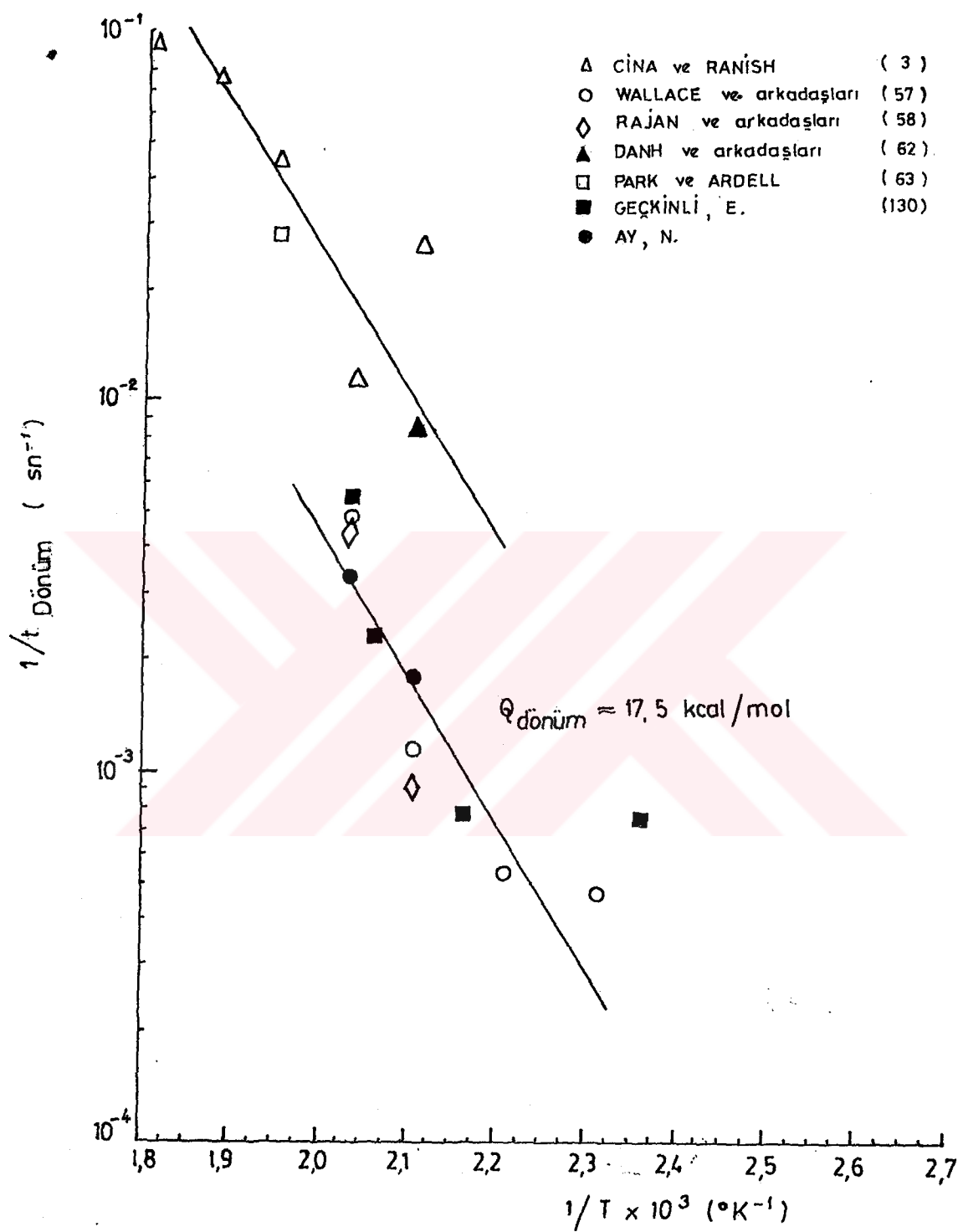
Yeniden çözeltiye alma süresi-sertlik eğrisinde minimum, maksimum ve dönüm noktaları için geçen sürenin sırasıyla t_{min} , t_{max} , $t_{dönüm}$, sıcaklıkla değişimi göz önüne alınarak Arrhenius grafiği çizilmiştir. Bu çizimlerde daha önceki çalışmalarдан yararlanılmıştır [126-130].

Şekil 5.2 deki $1/t_{min} - 1/T$ grafiğinde deney sonuçlarını birbirine paralel iki doğruda toplamak mümkündür. Data noktalarının iki ayrı grupta toplanmasının numune boyutundan kaynaklandığını bağlanabilir. Bu eğrinin eğimi aktivasyon enerjisinin 11.5 kcal/mol olduğunu göstermektedir. Bu değer "Zn-atom boşluğu" çiftinin hareketi için gerekli olan enerjiye ve aynı zamanda alüminyumda atom boşluklarının hareketi için gerekli olan aktivasyon enerjisine yakındır [34].

Aynı tip grafik dönüm noktaları için çizilmiş ve Şekil 5.3 de verilmiştir. Bu grafikte, aktivasyon enerjisinin 17.5 kcal/mol'e eşit olduğu görülmüştür. Bu değerde "Mg-atom boşluğu" çiftinin hareketi için gerekli olan enerjiye yakındır ve aynı zamanda saf alüminyumda boşluk oluşum enerjisine yakındır.



Şekil 5.2 - Yeniden çözeltive alma süresi-sertlik eğrisindeki minimum noktalarının sıcaklık ile değişimi.



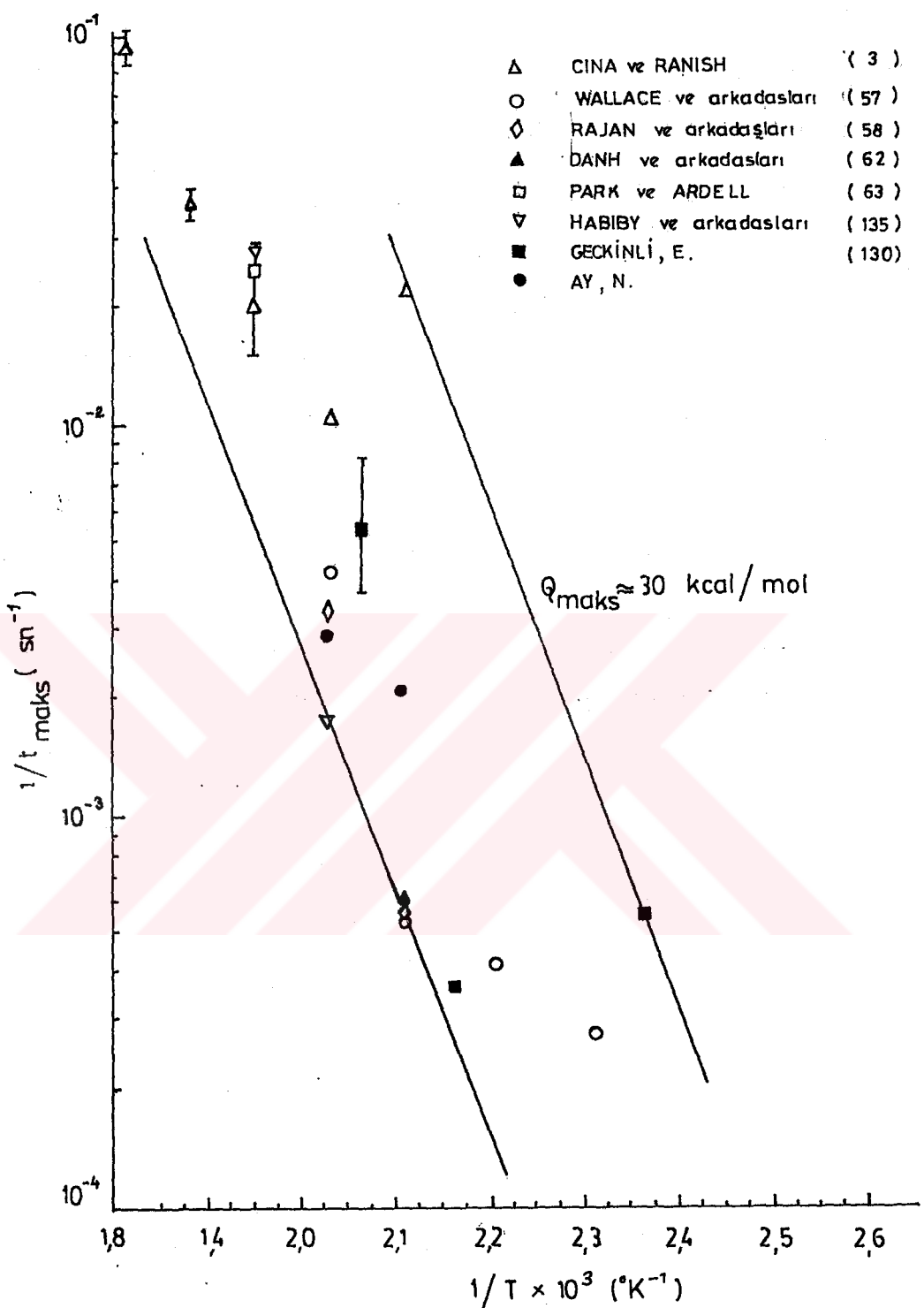
Şekil 5.3 - Yeniden çözeltiye alma süresi-sertlik eğrisindeki dönen noktalarının sıcaklıkla değişimi.

Benzer grafik maksimum noktaları için hazırlandığında Şekil 5.4 de data noktalarının aktivasyon enerjisi 30 kcal/mol olan bir bant üzerinde yer aldığı görülmektedir ki bu değer de, alüminyum esaslı alaşımında ki $\Delta D_{\text{if.}} \text{ Zn}$ 29 kcal/mol ve $\Delta D_{\text{if.}} \text{ Mg}$ 30 kcal/mol [34] değerlerine yakındır.

Ortaya çıkan bu bilgilerin ışığında, yeniden çözeltive alınan ilk aşamalarında (minimuma kadar) "Zn-atom boşluğu" çiftinin difüzyonunun hakim olduğunu, ayrıca daha yüksek Y.C.A. sıcaklıklarında atom boşluklarının yeniden düzene girerek termodinamik dengeye ulaşlığı söylenebilir. Y.C.A. süresi uzadığında "Mg-atom boşluğu" çiftinin etkisi kendini göstermektedir.

İlk aşamada mukavemet düşüslü GP zonlarının çözünmesinden olduğu [62,131] veya çökeltilerinin çözündüğünden kaynaklandığı [63] ileri sürülmüştür. Bu konunun tartışılmasına girmeden önce çökelme olayının daha iyi anlamamız gerekmektedir. Bu konuda da dolaylı, dolaysız yöntemler uygulayarak bir hayli çalışma yapılmıştır. Bu yöntemler elektrik iletkenliği [55,57], SAXS [33,41], DSC [47,132,133,134], sertlik [3,57,58,62,135] dir. Bu çalışmalarдан da birbirini tutmayan sonuçlar ortaya çıkmıştır. Bu sonucun farklı bileşimlerden kaynaklandığı ileri sürülmektedir. Çökelme işlemleri ve kinetiği ile ilgili derlemeler [17] ve [36] nolu kaynaklarda toplanmıştır. Bu araştıracılar gerek deneysel, gerek teoride bir takım soruların cevapsız olduğunu vurgulamışlardır.

Al-Zn-Mg alaşımlarında su verme sonucu oluşan atom boşluklarının GP zon oluşumuna etki etmediği ileri sürülmektedir [136-139]. Bunun nedeninin Mg atomları ile atom boşlukları arasında kuvvetli bir bağın varlığından



Şekil 5.4 - Yeniden çözeltive alma süresi-sertlik eğrisindeki maksimumun noktalarının sıcaklıkla değişimi.

kaynaklandığına inanılmaktadır. Diğer taraftan, bazı araştımacılar [21, 140-145] zon oluşumunun Zn veya Zn-atom boşluğu kümeleriyle başladığını gözlemişlerdir. Al-Zn-Mg alaşımlarında dislakasyon halkalarının varlığı konusunda herhangibir bilgi mevcut değildir. Mamafi yeni bir çalışmada [144] Al-Zn-Mg alaşımlarında dislakasyon halkalarının mevcut olduğu ve bunların γ' fazı için heterojen çekirdeklesme yerleri olduğu belirtilmiştir. Bu çalışmada gözlemlerle de aynı təz desteklenmektedir.

Diger taraftan Rosenbaum ve arkadaşları [146] atom boşluğu halkalarının su verme esnasında teşekkül ettiğini ve çökelmenin de heterojen olarak buralarda olduğunu belirtmişlerdir. Lorimer ve Nicholson [31] çekirdeklesmenin GP zonlarında yer aldığı ileri sürmektedirler. Mamafi bu alaşımarda GP zonlarının varlığı kesin olarak kanıtlanamamıştır. Ozawa ve arkadaşları [147]. Rosenbaum ve arkadaşları [146]'nın görüşlerine katılarak atom boşluğu kümelerinin su verme esnasında ve düşük sıcaklıklarda yaşandırmalarda oluştuğunu göstermişlerdir.

GP zonları ile ilgili solvüs eğrisini çıkarabilmek için reversion deneyleri yapılmıştır. Fakat bu çalışmalar da sadece GP zonlarının çözündüğü var sayılmış ve bu esnada oluşabilecek diğer ara fazların durumları dikkate alınmamıştır [148].

Her ne kadar GP zonlarının çökeltiler için çekirdeklesme bölgeleri olduğuna inanılırsa da bunu kanıtlayıcı delil bulunamamıştır. Diğer taraftan Holl [149], Ryum [150] iki türlü çekirdeğin varlığından söz ederek bunların çözünen atomca zengin GP zonu, digerinin atom boşluğunca zengin kümelerden oluştuğunu ileri sürmüştür. Ayrıca bu atom boşluğu kümelerinin düşük sıcaklıklardaki yaşandırmalarda yavaşça büyüldüğü, GP zonlarından daha kararlı olduğu

ve yarı uyumlu veya uyumsuz çökeltiler için çekirdek noktaları oluşturduğu saptanmıştır.

Pozitron Annihilation Spectroscopy (PAS) metaldeki latins noktaları kadar elektronik yapıların etüdünde de geniş şekilde kullanıldığından, yeni bir alan olarak alaşım-ların çökelme ve çözünme olayları PAS ile çalışmaya başlanmıştır. Çeşitli alüminyum esaslı alaşımalar PAS ile son zamanlarda çalışılmıştır [151-154].

PAS çalışmalarına göre [151], Zn'ca zengin GP zonlarının pozitronları tuttuğu gözlenmiştir. Güçlü pozitronların GP zonlarıyla etkileşimi esasen Al ve Zn atomlarının pozitron afinitesinin farklılığından kaynaklanmaktadır. Yüksek sıcaklıklarda ise pozitronlar "termal atom boşlukları" tarafından tutulmaktadır.

PAS sonuçları [151]. Al-%6Zn alaşımında GP zonlarının çözünmesinin 140°C de başladığını, 180°C de sona erdiğini ve kararlı faz çizgisinin 210°C ye uygun olduğunu göstermiştir.

Al-%4.5Zn-%2.5Mg alaşımındaki PAS çalışmaları [152] 200°C civarında GP zonlarının γ' partiküllerine dönüşümünü, küçük kararsız zonların çözünmesiyle birlikte olduğunu göstermiştir. 230-275°C arasında γ' nün γ ye dönüşümü. γ parçacıkların kabalaşmasıyla birlikte olan esas olaydır. Bu gözlemlerde [152] tartışılanlar TEM ve SAXS gözlemleri ile uyumludur.

Al-Zn alaşımına küçük oranda Mg ilavesinin pik yüksekliğinde önemli değişime neden olduğu PAS çalışmalarında gözlenmiştir. PAS sonuçlarında Al-%4.5Zn alaşımına %0.2 gibi küçük oranda Mg ilavesinin kuvvetli etkisi. Zn'ca zengin GP zonlarından başka güçlü pozitron tutucularının mevcut

olduğunu göstermektedir. Bu pozitron boşluklarının Mg atomları tarafından tutulan atom boşluğunun Mg kendine ait olduğu düşünüllür. Malesef, bir Al matriksdeki Mg atomları ile pozitronların etkileşimi literatürde tartışmalıdır. Bununla beraber, Dlubek ve arkadaşları [153] tarafından bulunanlar gibi daha önce verilendatalara dayanarak. Al matriksde Mg atomlarıyla çok güçlü etkileşimi yoktur ve Al-Zn-Mg alaşımında güçlü pozitron boşluğu olarak "atom boşluğu-eriyen atom" çiftleri mevcut değildir. 200°C de Al-%4.5Zn-%1 ve 2.5Mg alaşımında pik yüksekliklerinin artmasına kısmen uyumlu γ' parçacıklarının oluşumuyla açıklanmıştır. Al-%4.5Zn-%1Mg için yaklaşık olarak 230°C de görülen minimum (kararsız ve küçük) γ' parçacıklarının kısmen çözünmesine bağlanmıştır.

Dlubek ve arkadaşlarına [153] göre PAS sonuçları su vermeden sonra gözlenen pik yüksekliğinin Al-%4.5Zn dekine nazaran, Al-%3Mg da daha uzundur. Mg ilavesi, suvermeden sonra 2θ -açışal korelasyon eğrisinin pik yüksekliğinin (h) artmasına neden olmaktadır. Bu gerek su vermede Mg atomlarına bağlı atom boşlukları, gerekse alaşımda mevcut olabilecek Mg'ca zengin GP zonları olarak yorumlanmıştır. Son çalışmalarda [153] Al matriksdeki Mg atomlarına karşı pozitronların güçlü bir afiniteşinin olduğu belirtilmemektedir. Dlubek ve arkadaşları [153] keza. 1000°C civarındaki pik yüksekliğinde artışın küçük Mg'ca zengin GP zonları ile pozitronların etkileşiminden kaynaklanmadığı. fakat atom boşluğu-Mg çiftlerinin yok olmasından kaynaklandığı sonucuna varmışlardır. PAS sonuçlarına görede, Al-%3Mg alaşımında su verilmiş durumda boşlukların Mg atomları tarafından yakalandığı ve 1000°C ye kadar tavlanıp atımadığını göstermişlerdir.

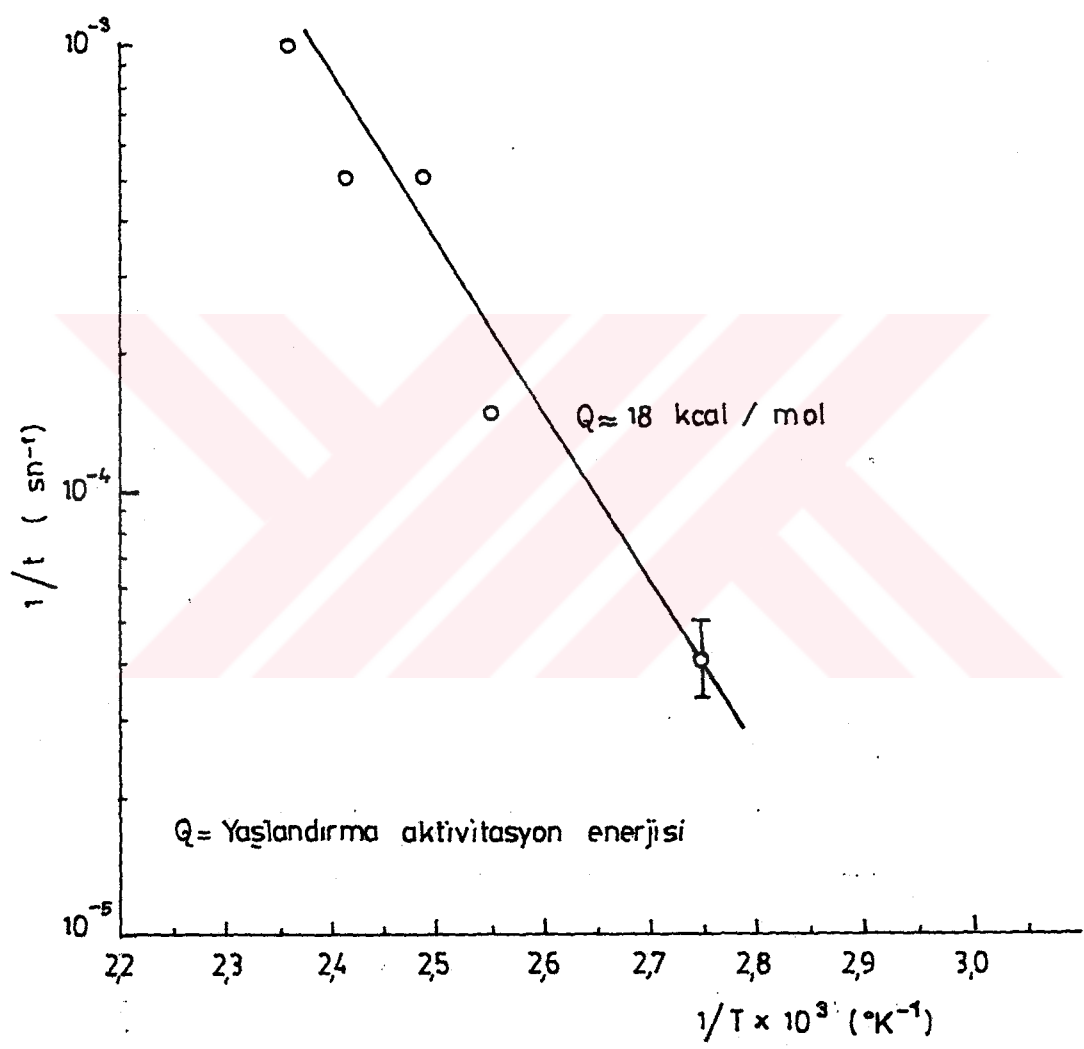
Al-%4.5Zn-%2.5Mg içeren alaşımda 2θ -açışal korelasyon eğrisinin pik yüksekliği davranışları çok karmaşıktır [152, 153]. Bu durumda 150-350°C arasında geniş bir maksimum

ver almaktadır. Bununla birlikte bu aralığa 200°C civarında dönüm noktası ve 250°C de pik noktasının bulunumuş açık şekilde gözlenmiştir. %4.5Zn içeren alüminyum alaşımına %0.2 ve %25Mg ilavesiyle pozitron parametrelerinin davranışları çok kararlı atom boşluğu hatalarının mevcudiyeti için açık delildir.

Diğer taraftan Al-Cu alaşımlarında PAS çalışması [154] atom boşluklarının yoğunluğunun fazla olduğunu ve bunların GP zonları ile birlikte 177°C ye kadar birlikte bulunduğu göstermiştir.

Inoue [22] Al-Zn-Mg alaşımında 90-150°C arasında yaptığı yaşlandırma işlemine ait veriler Şekil 5.5 de gösterilmiştir. Şekilde yer alan veri noktaları sertliğin maksimum olduğu yaşılanma sürelerine karşıt gelmektedir. Bu grafik yaşılanma işlemine ait aktivasyon enerjisinin 18 kcal/mol ± 1 kcal/mol olduğunu göstermiştir. Bu değer daha önce de belirtildiği gibi saf alüminyumda atom boşluğu oluşum enerjisine ve Mg-atom boşluğu çiftinin hareket enerjisine eşittir. Bu değer, aynı zamanda Şekil 5.3 deki dönüm noktası eğrisinde elde edilen değerede yakındır. Maksimum sertliğin γ' fazından kaynaklandığı göz önüne alındığında Y.C.A. eğrisinin dönüm noktasında γ' fazının büyümeye başladığı söylenebilir. Bu maksimum noktasından sonra ise γ' partikülleri γ partiküllerine dönüşerek yumusamaya neden olmaktadır.

T₆ yapısına hakim olan çökeltinin GP zonu olduğu ileri sürülmektedir [19.47.148]. GP zonunun mevcudiyeti kanıtlanmamıştır. Buna karşılık Park ve Ardell 18 T₆ yapısının esas olarak γ' fazından olduğunu ve az miktarda γ olduğunu göstermişlardır. Bunlar ayrıca T₆ da γ' partiküllerinin heterojen olarak dislakasyonlarda çekirdeklesliğini saptamışlardır. Çökelti boyutunun 4-10 nm gibi çok ince



Şekil 5.5 - Al-Zn-Mg alaşımına ait maksimum mukavemete ulaşılan sürenin sıcaklıkla değişiminden [22] yararlanarak çizilen Arrhenius grafiği.

olduğunu ve uyumlu olan γ' partiküllerinin maksimum sertlikte etkin rol oynadığını belirtmişlerdir. Dahn [62] yeniden çözeltiye almanın 1. aşamasında mukavemet düşmesine neden olarak GP zonunun çözüldüğünü T6 yapısında GP zonlarının varlığını var sayarak ileri sürmüştür. Dolayısıyla T6 ve yeniden çözeltiye alınmış yapılarda GP zonlarını ortaya çıkaracak ve GP zonlarının varlığını kanıtlayacak kuvvetli bir delil olmadıgından Y.C.A.nın 1. aşamasında GP veya γ' nin çözünmesi tartışmasına girmek bir anlam taşımamaktadır.

Bu çalışmada, elde edilen dolaylı ve dolaysız gözlemlere dayanılarak Y.C.A. işleminin 1. aşamasında Zn-atom boşluğu çiftinin hareketi sebebiyle T6 yapısında mevcut çökeltilerin (GP zonu ve/veya γ' fazı) ile matriks arasında uyumun kaybolduğu, ayrıca yüksek sıcaklık nedeniyle fazla atom boşluklarının yeniden düzene girerek bunu takip eden γ' çekirdekleşmesi için uygun yerler oluşturduğu kanaati doğmuştur.

Dolayısıyla, bu çalışmada atom boşluklarında zengin kümelerin γ' fazının çekirdekleşmesinde önemi görülmektedir. Bunun sonucunda da, bu atom boşluklarının Al-Zn-Mg alaşımlarının ayrışma ve buna bağlı olarak reversion kinetигinde önemli ölçüde katkısı olacağı şüphesizdir. Yeniden çözeltiye alınmış yapı önemli ölçüde atom boşluğunca zengin çekirdekler sahip olacağinden, yeniden yaşlandırma işlemi çökeltilerin T6 yapısına kıyasla daha ince bir şekilde dağılmasına neden olacaktır. Dolayısıyla bu mikroyapı RRA işlemi uygulanan alaşımara T6 işlemine kıyasla sertlik ve mukavemette bir gelişme kazandıracaktır.

5.3 - RRA Isıl İşleminin Tane Sınır Mikroyapısına Etkisi. Gerilmeli Korozyon Çatlamasındaki Rolü

Yaşlandırma işleminin gerilmeli korozyon hassasiyeti üzerinde etkili olduğu bilinmektedir. Gerilmeli korozyon çatlığı taneler arasında ilerlediğinden, tane sınırındaki çökeltiler ve tane sınırlarındaki çökeltisiz zonun genişliği önem kazanmaktadır. Yaşlandırma süresi ve sıcaklığı arttığında, tane sınır çökeltilerinin büyümesi ve çökeltisiz zonun genişliğinin artmasıyla, gerilmeli korozyon çatlamasına direnç arasındaki ilişki ilginçtir. Kirman [79] ve Ludka [46] yaşlandırmadan uzatılması sonucunda tane sınırı çökelti boyutunun ve çökeltisiz zonun genişliğinin arttığını bulmuşlardır. Bu çalışmada da RRA işlemleriyle tane sınırı çökelti boyutunun arttığı tespit edilmiştir. Yeniden çözeltiye alınmış ve yeniden yaşlandırılmış örneklerdeki çökeltisiz zonun genişliğinin ise 30-50 nm arasında değiştiği ölçülmüştür.

RRA 200 işleminde tane sınırı çökelti boyutu kısa zamanda hızlı bir şekilde artmıştır (Şekil 4.20). Y.C.A. egrisindeki minimuma kadar geçen sürenin kısa olmasına rağmen ortalama boyut artışı çok hızlidir. Minimuma kadar "Zn-atom boşluk" çiftinin ve atom boşluğunun hareketi için gerekli olan aktivasyon enerjisinin sağlanmış olması çökeltilerin hızla büyümesini sağlamaktadır. Minimumdan sonra geçen sürenin 5-6 kat fazla olmasına rağmen ortalama boyut artışı azdır. Bu durumda, RRA 200 işleminde tane sınırı çökelti boyutlarının işlemin başlangıcında hızlı olarak arttığı söyleyebilir.

RRA 220 işleminde ise çökeltilerin boyutları devamlı olarak artmakta ve minimumun etkisini gözlemek mümkün olmamaktadır. Bu durumda, olaya sıcaklığın etkisinin olduğu düşünülmektedir.

Tane sınırı parametrelerinden, T6 işlem durumunda $\bar{A}g$. AA küçük, NA'nın büyük olduğu, T73 işlem durumunda ise $\bar{A}g$. AA büyük, NA'nın küçük olduğu belirtilmiştir [46,63]. T6 yapısının gerilmeli korozyon çatlamasına hassasiyeti T73 yapısından daha fazladır. Bu nedenle, tane sınırı parametreleri ile gerilmeli korozyon çatlaması arasında bir ilişkinin olabileceği ileri sürülmüştür. RRA işlemli örneklerin, T6 yapısıyla karşılaşıldığında GK çatlamasına daha dirençli oldukları bulunmuştur [3,50,57]. RRA işlemleri sonucunda $\bar{A}g$. AA'nın arttığı ve NA'nın azalduğu gözlenmiştir.

Benzer şekilde RRA işlem uygulanmış 7075 Al alaşımında, taneler arası korozyonun T6 durumundan daha dirençli olduğu ayrıca belirtilmiştir [155,156].

Gerilmeli korozyon çatlak ilerlemeye hızı (v). NA ve AA değerlerine bağlı olarak hesaplanılan VA değeri ile ilişkili olduğu, VA'nın artmasıyla GK çatlak ilerlemeye hızının azalacağı gösterilmiştir [63]. RRA durumunda VA değerinin büyük olması ($v \approx 1/VA$ nedeniyle) GK çatlak ilerlemeye hızının azalmasına neden olarak gösterilmiştir.

GK çatlak oluşma ve ilerlemeye mekanizması için çeşitli teoriler vardır. Bunlardan biride, bazı mikro çatlaklar bölgesel olarak absorb edilmiş hidrojen etkisiyle hareket eder, şeklindedir. Hidrojenle çatlamada gevreklig'e neden olan hidrojen atomlarıdır. Hidrojen kaynağı çoğu kez korozyona neden olan ortamdır. Korozyon olayı sonucu ortaya çıkan hidrojen atomlarının moleküllleşip hidrojen gazına dönüşmeleri beklenirse de, bazı ortamlarda bu süreç çok yavaşlamakta ve sözü edilen dönüşüm tam gerçekleşmemektedir. Bu sınırlılık sonucu kritik noktalarda yığılan hidrojen atomları alaşım içinde yayınarak gevrekleşmeye neden olmaktadır. Alasında bulunan hidrojen, latisin kohezif kuvvetini

azaltmaka ve çatlama neden olmaktadır. Çatlak ilerlemeye hızını ise hidrojen yayınımı ve absorbsiyonu kontrol etmektedir.

Rajan ve arkadaşları [58] hidrojenin tane sınırlarda habbecikler şeklinde toplandığını izleyerek, tane sınırı çökeltilerinin hidrojen için kapan olarak davranışını açıklamışlardır. Christodoulou ve Flower [87] Al-Zn-Mg alaşımının kırılabilirliği üzerinde tane sınırı çökelti boyutunun etkisini araştırdığı çalışmasında, tane sınırı çökeltti boyutunun $\leq 200 \text{ \AA}$ olduğunda tane sınırlarda hidrojenin çekirdeklesileceği ve 200 \AA dan büyük tane sınırı çökeltileri üretiliğinde, GK çatlamasına dirençli olacağını göstermişlerdir. RRA 200 ve RRA 220 ısıl işlem durumlarında ise tane sınırı çökelti boyutu 200 \AA nin çok üzerindedir.

Sistemdeki hidrojenin tane sınırlarında, çökeltisiz zon içinde serbest Mg ile Mg-H etkileşimi sonucu magnezyum hidrür veya Al ile etkileşim sonucu alüminyum hidrür oluşturabileceği ve oluşan hidrürlerin gevrekleşmeye neden olup GK çatlama direncini düşürecegide ileri sürülmektedir. Bu konudaki tartışmalar halen devam etmektedir.

Bu çalışmada GK deneyleri yapılmamıştır. Ancak, diğer araştırmacıların [3,57] bu konuda yaptıkları çalışmalar göz önüne alınarak RRA işlemi ile gerilmeli korozyon çatlamasında meydana gelen gelişmenin sadece tane sınırı çökelti boyutundaki artıştan kaynaklanamayacağını göstermiştir.

RRA işlemi esnasında çökelti boyut ve morfoljisinde meydana gelen değişikliklerin yanı sıra, malzemedede yer aldığı bu çalışmada dolaylı olarak saptanan atom boşluklarının yayılması sonucu, atom boşluklarının yapıda yeni bir düzene girdiği, miktar ve dağılımda uygulanan sıcaklık ve süreye bağlı olarak bir takım değişimler meydana geldiği şüphesizdir. Nitelikim iletkenlik ölçümleri ve PAS çalışmaları

bu durumu dolaylı olarak desteklemektedir. Dolayısıyla bu çalışmada, RRA işlemide cökelti (matriks ve tane sınırı) boyutlarının mekanik özellikleri, malzemedeki atom boşluğu kumelerinin miktar ve dağılımında gerilmeli korozyon özelliklerine birinci derecede etki ettiği kanısına varılmıştır. İleri sürülen bu yeni yaklaşım, hidrojen gevrekliğine dayalı gerilmeli korozyon modelini güçlendirecektir.

BÖLÜM 6

GENEL SONUCLAR VE ÖNERİLER

Bu çalışmada ortaya çıkan önemli sonuçlar aşağıda verilmiştir.

- "Yeniden çözeltiye alma süresi-sertlik" eğrisinde bir minimum mevcuttur. 200°C de yeniden çözeltiye alındığında 5 dk . 220°C de yeniden çözeltiye alındığında 4 dk da minimuma ulaşımaktadır. Yeniden çözeltiye alma eğrisinde minimuma karşıt gelen sürelerde, yeniden yaşlandırıldığında en yüksek sertlik elde edilmektedir.
- Elektrik iletkenliği yeniden çözeltiye alma süresi ile sürekli artmaktadır. iletkenlik değeri 200°C ve 220°C de yapılan RRA işlemlerinde sırasıyla 15 ve 6 dakikada T 73 değerine ulaşmaktadır.
- Matriks çökeltilerinin γ' ve γ partiküllerinden oluştuğu ve bir kısım çökeltilerin heterojen olarak dislakasyonlarda çökeldiği tespit edilmiştir. Ortalama matriks çökelti boyutu yeniden çözeltiye alma süresine bağlı olarak RRA 200 işleminde 5 dk için 7,1 nm ve 30 dk için 9 nm ve RRA 220 işleminde 4 dk için 9 nm ve 20 dk için 12 nm değerindedir.
- Tanı sınırları çökeltileri 2 fazında oluşturmaktadır. Çökeltisiz zonun genişliği 30-50 nm arasında değişmektedir. Ortalama tanı sınırı çökelti boyutu yeniden çözeltiye alma süresine bağlı olarak RRA 200 işleminde 2 dk için 28 nm ve 5 dk için 40 nm ve RRA 220 işleminde 1 dk için 27 nm ve 20 dk için 47 nm değerindedir.

- RRA 200 ve RRA 220 işlemleri uygulanmış örneklerde atom boşluğu halkaları tespit edilmiştir.
- Yeniden çözeltiye alma süresine bağlı olarak RRA işleminin minimuma kadar olan I. aşamasında "Zn-atom boşluğu" çiftinin ve atom boşluklarının hareketinin hakim olduğunu göstermektedir. Maksimuma kadar olan kısımda (II. Aşama), "Mg-atom boşluğu" çiftinin hareketi ve/veya boşluk oluşumu olaya hakim olmaktadır. Maksimumdan sonra yer alan III. Aşamada ise olaya Mg ve Zn atomlarının difüzyonu hakim olmaktadır.
- Yaşlandırma işlemleri esnasında yapıda iki farklı çökelti grubunun bulunduğu, bunlardan birinin çözünen atomca zengin kümeler (GP zonu ve/veya γ'), diğerinin ise atom boşluğunca zengin kümeler olduğudur.
- Yeniden çözeltiye alma işleminin I. aşamasında T_0 yapısında "Zn-atom boşluğu" çiftinin hareketi sebebiyle, T_0 yapısında çökeliler (GP zonu ve/veya γ' fazı) ile matriks arasında uyumun kaybolduğu, ayrıca yüksek sıcaklık nedeniyile atom boşluklarının yeniden düzene girerek çekirdeklesme için uygun yerler oluşturduğu kanaati doğmuştur.
- Çökelti boyutlarının mekanik özelliklere, malzemedeki atom boşluğu kümelerinin miktar ve dağılıminin da gürilmeli korozyon özelliklerine birinci derecede etki ettiğini belirtmiştir. Bu sonuç, 7075 Al alaşımının gürilmeli korozyon çatlamasında hidrojen gevrekliği mekanizmasının yer aldığına dair görülsü desteklemektedir.
- RRA işleminde, yeniden çözeltiye alma süresinin özellikle maksimumdan uzun olması mukavemetin düşmesine neden olacağından, yeniden çözeltiye alma süresi maksimuma ulaşılan süre ile sınırlanmalıdır.

KAYNAKLAR

- [1] ARDELL, A.J., Precipitation Hardening, Met.Trans.A, 16, 2131-2165, 1985.
- [2] MARTIN, J.W., Precipitation Hardening, Pergamon Press Ltd., 1968.
- [3] CINA, B., RANISH, B., New Technique for Reducing Susceptibility to Stress Corrosion of High Strength Aluminum Alloy, Int. Conf. on Aluminium Industrial Products Proc., ASM, Pittsburg, 1974.
- [4] GUY, A.G., HREN, J.J., Elements of Physical Metallurgy, Addison-Wesley Publishing company, 1974.
- [5] CHADWICK, G.A., Metallgraphy of Phase Transformations, Crane, Russak company inc., NY., 1972.
- [6] CHRISTIAN, J.W., The Theory of Transformation in Metals and Alloys, Pergamon Press, NY, 1965.
- [7] BURKE, J., The Kinetics of Phase Transformations in Metals, Pergamon Press, 192, 1965.
- [8] HATCH, J.E., Aluminium Properties and Physical Metallurgy, ASM, Ohio, 1984.
- [9] FENG, W.X., LIN, F.S., The Influence of Solution Heat Treatment Temperature on The Mechanical Properties of a Recrystallized Aluminum Alloy 2020, J.Mater. Sci., 19, 2079-2084, 1984.
- [10] JOSHI, A., SHAstry, C.R. and LEVY, M., Effect of Heat Treatment on Solute Concentration at Grain Boundaries in 7075 Aluminum Alloy, Met. Trans. A, 12, 1081-1088, 1981.
- [11] SHAstry, C.R., LEVY, M., JOSHI, A., The Effect of Solution Treatment Temperature on Stress Corrosion Susceptibility of 7075 Aluminium Alloy, Cor. Sci., 21, 673-688, 1981.
- [12] KAYALI, E.S., Alüminyum Alasimlarinin Isil Islemleri ve Deformasyonu, SEGEM yayini.
- [13] ARCHAMBAULT, P., CHEVRIER, J.C., BECK, B., A Contribution to The Optimization of The 7075 Heat Treatment, Mater. Sci and Eng., 43, 1-6, 1980.

- [14] DOLLAR, M., THOMPSON, A.W., The Effect of Grain Size and Strain on The Tensile Flow Stress of Quenched Aluminium, *Acta Met.*, 35, 227-235, 1987.
- [15] ASKINS, M.C., MARTIN, J.W., Structure and Strength of an Al-Zn-Mg Alloy After Duplex Aging Treatment, *Metallography*, 15, 141-155, 1982.
- [16] HARDWICK, D.A., THOMPSON, A.W., BERNSTEIN, I.M., The Effect of Copper Content and Microstructure on the Hydrogen Embrittlement of Al-6Zn-2Mg Alloy, *Met. Trans. A*, 14, 2517-2526, 1983.
- [17] LOFFLER, H., KOVACS, I., LENDVAI, J., Review Decomposition Processes in Al-Zn-Mg Alloy, *J. Mater. Sci.*, 18, 2215-2240, 1983.
- [18] PARK, J.K., ARDELL, A.J., Microstructures of The Commercial 7075 Al Alloy in The T651 and T7 Tempers, *Met. Trans. A*, 14, 1957-1965, 1983.
- [19] ADLER, P.N., DEIASI, R. and GESCHWIND, G., Influence of Microstructure on The Mechanical Properties and Stress Corrosion Susceptibility of 7075 Aluminum Alloy, *Met. Trans. A*, 3, 3191-3200, 1972.
- [20] ALLEN, R.M., VANDER SANDE, J.B., A High Resolution Transmission Electron Microscope Study of Early Stage Precipitation on Dislocation Lines in Al-Zn-Mg, *Met. Trans. A*, 9, 1251-1258, 1978.
- [21] RYUM, N., Ageing and Plastic Deformation of an Al-Zn-Mg Alloy, *Acta Met.*, 17, 821-830, 1969.
- [22] INOUE, H., SATO, T., KOHMA, Y., TAKAHASHI, I., The Temperature Limit for GP Zone Formation in an Al-Zn-Mg Alloy, *Met. Trans. A*, 12, 1429-1434, 1981.
- [23] DE ARDO, A.J. and SIMENSEN, J., A Structurual Investigation of Multiple Aging of Al-7wt pct Zn-2.3wt pct Mg, *Met. Trans. A*, 4, 2413-2421, 1973.
- [24] EMBURY, J.D., NICHOLSON, R.B., The Nucleation of Precipitates: The system Al-Zn-Mg, *Acta Met.*, 13, 403-417, 1965.
- [25] GJONNES, J. and SIMENSEN, J., An Electron Microscope Investigation of The Microstructure in an Aluminium-Zinc-Magnesium Alloy, *Acta Met.*, 18, 881-890 1970.
- [26] VAN, C.M., WEI, W.Y., JAHN, M.T., Studies of a Thermomechanically Treated Al-Zn-Mg Alloy, *J. Mater. Sci.*, 16, 1097-1102, 1981.

- [27] McDonnell Douglas, St Louis, Process Specification, 1973.
- [28] SATYANARAYANA, K.G., Metastable Solvus Curves in Al-Zn Alloy, J. Mater. Sci., 16, 1240-1248, 1981.
- [29] SHEWMON, P.G., Transformation in Metals, Mc Graw Hill Book Company, 1969.
- [30] HONYEK, G., KOVACS, I., LENDVAI, J., NG-HUYSING, UNGAR, T., LOFFLER, H., GERLACH, R., The Influence of Mg Content on The Formation and Reversion of Guinier-Preston Zones in Al-4.5 at %Zn-xMg Alloy, J. Mater. Sci., 16, 2701-2709, 1981.
- [31] LORIMER, G.W., NICHOLSON, R.B., Further Results on The Nucleation of Precipitates in the Al-Zn-Mg System, Acta Met., 14, 1009-1013, 1966.
- [32] SATYANARAYANA, K.G., Metastable Solvus Curves in Al-Zn Alloys, J. Mater. Sci., 16, 1233-1239, 1981
- [33] UNGAR, T., LENDVAI, J., KOVACS, I., Metastable Phase Diagram of The Al-Zn-Mg Alloy System in The Low Concentration Range of Zn and Mg, Aluminium 55, Jahrg., 10, 663-668, 1979.
- [34] BOSSAC, H., FABLAN, H.G., LOFFLER, H., A Quantitative Interpretation of The Decomposition Kinetics of Some Al-Zn-Mg Alloys, Phys. Stat. Solid. (a), 48, 369-375, 1978.
- [35] BROWN, L.C., Shape Changes During Dissolution of O-CuAl₂, Met. Trans. A, 15, 449-458, 1984.
- [36] KATZ, and RYUM,N., Precipitation Kinetics in Al-Alloys, Scripta Met., 15, 265-268, 1981.
- [37] GAUSTER, W.B., WAMPLER, W.R., A Study of precipitate Formation in Aluminium-Copper Alloys by Positron Annihilation and Transmission Electron Microscopy, Philosophical Magazine, A, 41, 2, 145-156, 1980.
- [38] GIRIFALCO, L.A., HERMAN, H., A Model for The Growth of Guinier-Preston Zones - The Vacancy Pump, Acta Met., 13, 583-590, 1965.
- [39] KOVACS, I., LENDVAI, J., UNGAR, T. and et.al., The Properties of an AlZnMg Alloy Deformation Strengthened by Guinier-Preston Zones, Acta Met., 25, 673-680, 1977.
- [40] FINE , M.E., Precipitation Hardening of Aluminium Alloys, Met. Trans. A, 6, 625-630, 1975.

- [41] MONDOLFO, L.F., GJOSTEIN, N.A. and LEVINSON, D.W., Structural Changes During Aging in Al-Zn-Mg Alloy, *Trans. A.I.M.E.*, 206, 1378-1385, 1956.
- [42] CSANADY, A., MARTON, D., Stress Corrosion Behavior of Al-Zn-Mg Alloys Based Upon Microchemical Surface Reactions, *J. Mater. Sci.*, 14, 2289-2295, 1979.
- [43] UNVIN, P.N.T., NICHOLSON, R.B., The Nucleation and Initial Stages of Growth of Grain Boundary Precipitates in Al-Zn-Mg and Al-Mg Alloys, *Acta Met.*, 17, 1379-1392, 1969.
- [44] CHEN, J.M., SUN, T.S., WISWANADHAM, R.K., GREEN, J.A. S., Grain Boundary Segregation of an Al-Zn-Mg Ternary Alloy, *Met. Trans. A*, 8, 1935-1940, 1977.
- [45] RAGHAVAN, M., Microanalysis of Precipitate Free Zones (PFZ) in Al-Zn-Mg and Cu-Ni-Nb Alloys, *Met. Trans. A*, 11, 993-999, 1980.
- [46] LUDTKA, G.M., LAUGHLIN, D.E., The Influence of Microstructure and strength on The Fracture Mode and Toughness of 7XXX Series Aluminum Alloys, *Met. Trans. A*, 13, 411-425, 1982.
- [47] DeIASI, R. and ADLER, P.N. Calorimetric Studies of 7000 Series Aluminium Alloy: 1. Matrix Precipitate Characterization of 7075, *Met. Trans. A*, 8, 1177-1183, 1977.
- [48] LIVAK, R.J., PAPAZIAN, J.M., Effects of Copper on Precipitation and Quench Sensitivity of AlZnMg Alloys, *Scripta Metall.*, 18, 483-448, 1984.
- [49] LUDTKA, G.M., LAUGHLIN, D.E., The Effect of Solute Content on The Slip Behavior in 7XXX Series Aluminium Alloys, *Met. Trans. A*, 12, 2083-2091, 1981.
- [50] NARASIMHA RAO, B.V., Influence of Aging Treatment on The Grain Boundary Precipitation and Chemistry in 7075 Al Alloy, *Met. Trans. A*, 12, 1356-1359, 1981.
- [51] WOLF, G.K., Stress Corrosion Cracking of Silver-Bombarded Aluminium Alloys, *Mater. Sci. and Eng.*, 69, 317, 1985.
- [52] SANTNER, J.S., A Study of Fracture in High Purity 7075 Aluminum Alloys, *Met. Trans. A*, 9, 769-779, 1978.
- [53] SARKAR, B., MAREK, M., STARKE Jr, E.A., The Effect of Copper Content and Heat Treatment on The Stress Corrosion Characteristics of Al-6Zn-2Mg-XCu Alloys, *Met. Trans. A*, 12, 1939-1943, 1981.

- [54] FREIDLANDER, I.N., TKACHENKO, E.A. and et.al., The Effect of Microalloying on The Structure and Properties of Al-Zn-Mg-Cu Alloys, Termich. Obrabotka Met., 4, 46-48, 1986.
- [55] ISLAM, M.U., WALLACE, W., Stress-Corrosion-Crack Growth Behavior of 7475 T6 Retrogressed and Reaged Aluminum Alloy, Metal. Tech., 11, 320-322, 1984.
- [56] PEEL,C.J., Aluminium Alloys for Airframes-Limitations and Developments, Mater. Sci. and Tech., 2, 1169-1175, 1986.
- [57] WALLACE, W., BEDDOES, J.C., DE MALHERBE, M.C., A New Approach to The Problem of Stress Corrosion Cracking in 7075-T6 Aluminum, Canadian Aeronautics and Space J., 27, 3, 222-232, 1981.
- [58] RAJAN, K., WALLACE, W., BEDDOES, J.C., Microstructural Study of a High-Strength Stress-Corrosion Resistant 7075 Aluminium Alloy, J. Mater. Sci., 17, 2817-2824, 1982.
- [59] SWANSON, R.E., BERNSTEIN, I.M., THOMPSON, A.W., Stress Corrosion Cracking of 7075 Aluminum in The T6-RR Temper, Scripta Met., 16, 321-324, 1982.
- [60] KANEKO, K.S., RRA:Solution for Stress Corrosion Problems With T6 Temper Aluminum, Metal. Progress, 118, 41-43, 1980.
- [61] Metals Handbook, vol 24, ASM.
- [62] DANH, N.C., RAJAN, K., WALLACE, W., A TEM Study of Microstructural Changes During Retrogression and Reaging in 7075 Aluminum, Met. Trans. A, 14, 1843-1850, 1983.
- [63] PARK, J.K., ARDELL, A.J., Effect of Retrogression and Reaging Treatments on The Microstructure of Al-7075-T651, Met. Trans. A, 15, 1531-1543, 1984.
- [64] ANKARA, A., DURLU, N., 7075 Aluminyum Alasimlarinda Retrogresyon Kinetigi, 2. Ulusal Aluminyum Kongresi, Seydisehir, 1984.
- [65] NATAN, M., CHIHOSKI, R.A., Relationship Between Microstructure, Hardness and Electrical Conductivity of 2219 Aluminium, J. Mater. Sci., 18, 1359, 1981
- [66] WALLACE, W. and et.al., AGARD Corrosion Handbook, vol 1, Specialised Printing Services Ltd., Essex, 1985.

- [67] ROSEN, M., HOROWITZ, E., SWARTZENDRUBER, L., FICK, S., MEHRABIAN, R., The Aging Process in Aluminum Alloy 2024 Studied by Means of Eddy Currents, Mater. Sci. and Eng., 53, 191-198, 1982.
- [68] KOCH, G.H., KOLIJN, D.T., The Heat Treatment of The Commercial Aluminum Alloy 7075, J. Heat Treating, 1, 2-14, 1979.
- [69] HAHN, G.T., ROSENFIELD, A.R., Metallurgical Factors Affecting Fracture Toughness of Aluminum Alloys, Met. Trans. A, 6, 653-667, 1975.
- [70] HELFRICH, W.J., Factography of Stress Corrosion Cracks in Aluminum Alloy 7075, Corrosion-NACE, 29, 8, 316-318, 1973.
- [71] HERMAN, R., Stress Corrosion Cracking of Al-Mg-Zn-Cu Alloys After Precompression, J. Mater. Sci., 16, 2381-2386, 1981.
- [72] HYATT, M.V., Use of Precacked Specimens in Stress Corrosion Testing of High Strength Aluminum Alloys, Corrosion-NACE, 26, 11, 487-502, 1970.
- [73] SPEIDEL, M.O., Stress Corrosion Cracking of Aluminum Alloys, Met. Trans. A, 6, 631-651, 1975.
- [74] SPEIDEL, M.O., HYATT, M.V., Stress Corrosion Cracking of High Strength Aluminum Alloys, Industrial Products, Pittsburgh chapter, ASM, 115-177, 1974.
- [75] DE ARDO, A.J., TOWNSEL, R.D., The Effect of Microstructure on The Stress-Corrosion Susceptibility of a High Purity Al-Zn-Mg Alloy in a NaCl Solution, Met. Trans. A, 1, 2573-2581, 1970.
- [76] HUNSICKER, H.Y., STALEY, J.T., BROWN, R.H., Stress-Corrosion Resistance of High-Strength Al-Zn-Mg-Cu Alloys With and Without Silver Additions, Met. Trans. A, 3, 201-209, 1973.
- [77] KAWABATA, T., IZUMI, O., The Relationship Between Ductility and Grain Boundary Precipitates in an Al-6.0%Zn-2.6%Mg Alloy, J. Mater. Sci., 11, 892-902, 1976.
- [78] KAWABATA, T., SUENAGA, H., IZUMI, O., Effect of Cold Working and Ageing Treatment on Ductility of an Al-6.0%Zn-2.6%Mg Alloy at 4.2 to 293 K, J. Mater. Sci., 19, 1007-1021, 1984.
- [79] KIRMAN, I., The Relation Between Microstructure and Toughness in 7075 Aluminum Alloy, Met. Trans. A, 2, 1761-1769, 1971.

- [80] PICKENS, J.R., CHRISTODOULOU, L., The Stress-Corrosion Cracking Behavior of High-Strength Aluminum Powder Metallurgy Alloys, *Met. Trans. A*, 18, 135, 1987.
- [81] WEI, R.P., GAO, M., PAO, P.S., Reply to Comments on The Role of Magnesium in CF and SCC of 7000 Series Aluminum Alloys, *Scripta Met.*, 19, 917-918, 1985.
- [82] MALIS, T., CHATURVEDI, M.C., Grain Boundary Segregation in an Al-8wt%Mg Alloy, *J. Mater. Sci.*, 17, 1479-1486, 1982.
- [83] PICKENS, J.R., LANGAN, T.J., The Effect of Solution Heat-Treatment on Grain Boundary Segregation and Stress-Corrosion Cracking of Al-Zn-Mg Alloys, *Met. Trans. A*, 18, 1735-1744, 1987.
- [84] SCAMANS, G.M., HOLROYD, N.J.H., TUCK, C.D.S., The Role of Magnesium Segregation in The Intergranular Stress Corrosion Cracking of Aluminium Alloys, *Corros. Sci.*, 27, 4, 329-347, 1987.
- [85] LEE, T.S.F., LATANISION, R.M., Effect of Grain Boundary Segregation and Precipitation on The Hydrogen Susceptibility of Nickel, *Met. Trans. A*, 18, 1653-1662, 1987.
- [86] BURSLE, A.J., PUGH, E.N., An Evaluation of Current Models for The Propagation of Stress Corrosion Cracks, *Environment-Sensitive Fracture of Eng. Mater.*, ed. Foroulis, Z.A., AIME , 18-47, 1977.
- [87] CRISTODOULOU, L., FLOWER, H.M., Hydrogen Embrittlement and Trapping in Al-6%Zn-3%Mg, *Acta Met.*, 28, 481-487, 1980.
- [88] LYNCH, S.P., Mechanisms of Stress Corrosion Cracking and Liquid -Metal Embrittlement in Al-Zn-Mg Bicrystals, *J. Mater. Sci.*, 20, 3329-3338, 1985.
- [89] SCAMANS, G.M., Hydrogen Bubbles in Embrittled Al-Zn-Mg Alloys, *J. Mater. Sci.*, 13, 27-36, 1978.
- [90] ALBRECHT, J., Mc TIERNAN, B.J., BERNSTEIN, I.M., THOMPSON, A.W., Hydrogen Embrittlement in a High-Strength Aluminum Alloy, *Scripta Met.*, 11, 893-897, 1977.
- [91] HARDWICK, D.A., TAHERI, M., THOMPSON, A.W., BERNSTEIN, I.M., Hydrogen Embrittlement in a 2000-Series Aluminium Alloy, *Met. Trans. A*, 13, 235-239, 1982.
- [92] LE, A.H., FOLEY, R.T., Stress Corrosion Cracking of AA 7075-T651 in Various Electrolytes-Statistical Treatment of Data Obtained Using DCB Precracked Specimens, *Corrosion-NACE*, 39, 10, 379-383, 1983.

- [93] MABIE, H.H., WILSON, J.H., LOUTHAN, M.R. Jr., KAUFFMAN, C.J. Jr., The Effect of Absorbed Hydrogen on Torsional Fatigue of 2024-T351 Aluminum Alloy, *Scripta Met.*, 17, 59-62, 1983.
- [94] LIN, F., STARKE, E.A. Jr., The Effect of Copper Content and Degree of Recrystallization on The Fatigue Resistance of 7XXX Type Aluminum Alloys, *Mater. Sci. and Eng.*, 39, 27-41, 1979.
- [95] TIEN, J.K., RICHARDS, R.J., BUCK, O., MARCUS, H.L., Model of Dislocation Sweep-in of Hydrogen During Fatigue Crack Growth, *Scripta Met.*, 9, 1097-1101, 1975.
- [96] LOGAN, H.L., The Stress Corrosion of Metals, John Wiley and sons, NY., 1966.
- [97] SPROWLS, D.O., BROWN, R.H., Stress Corrosion Mechanisms for Aluminium Alloys, Fundamental Aspect of Stress Corrosion Cracking, NACE, 466-506, 1969.
- [98] KOCH, G.H., Hydrogen Induced Fracture of a High Strength Aluminum Alloy, *Corrosion*, 35, 73-78, 1979.
- [99] SCHOOBER, L.F., Magnesium-Hydrogen System: Transmission Electron Microscopy, *Met. Trans. A*, 12, 951-957, 1981.
- [100] WISWANADHAM, R.K., SUN, T.S., GREEN, J.A.S., Influence of Moisture Exposure on The Composition of Oxides on Al-Zn-Mg Alloy, An Auger Electron Spectroscopy Study, *Corrosion*, 36, 275-278, 1980.
- [101] TUCK, C.D.S., The Embrittlement of Al-Zn-Mg and Al-Mg Alloys by Water Vapour, *Met. Trans. A*, 16, 1503-1514, 1985.
- [102] TALBOT, D.E.J., Effects of Hydrogen in Aluminum, Magnesium, Copper, and Their Alloys, *Int. Met. Rev.*, 20, 166-182, 1975.
- [103] ISHIKAWA, T., McLELLAN, R.B., The Diffusivity of Hydrogen in Aluminum, *Acta Met.*, 34, 6, 1091-1095, 1986.
- [104] McLELLAN, R.B., Hydrogen Diffusion in Aluminum, *Scripta Met.*, 17, 1237-1240, 1983.
- [105] TYSON, W., Hydrogen in Metals, *Canadian Met. Quar.*, 8, 1-11, 1979.
- [106] PRESSOUYRE, G.M., Trap Theory of Hydrogen Embrittlement: Experimental Investigations, Hydrogen Effects in Metals, *AIME*, 27-30, 1981.

- [107] GIBALA, R., DEMIGLIO, D.S., Hydrogen in Iron and Steels: Interactions, Traps and Crack paths, Hydrogen Effects in Metals, AIME, 116, 1981.
- [108] CHOI, Y., KIM, H.C., PYUN, S., Stress Corrosion on Cracking of Al-Zn-Mg Alloy AA-7039 by Slow Strain Rate Method, J. Mater. Sci., 19, 1517-1521, 1984.
- [109] HOEPPNER, D.W., MANN, D., WEEKWES, J., Fracture Mechanics Based Modelling of The Corrosion Fatigue Process, Agard Conf. Proceed. , 316, 1981.
- [110] MIDDLETON, W.R., PARKINS, R.N., Stress Corrosion Crack Paths in Al-Zn-Mg Alloys, Corrosion-NACE, 28, 3, 88-94, 1972.
- [111] TAYLOR, I.T., EDGAR, R.L., A Study of Stress-Corrosion in Al-Zn-Mg Alloys, Met. Trans. A, 2, 833, 1971.
- [112] VAN LEEUWEN, H.P., BOOGERS, J.A.M., STENTLER, C.J., The Contribution of Corrosion to The Stress Corrosion Cracking of Al-Zn-Mg Alloys, Corrosion-NACE, 31, 1, 23-29, 1975.
- [113] PATHANIA, R.S., TROMANS, D., Initiation of Stress Corrosion Cracks in Aluminum Alloys, Met. Trans. A, 12, 607-612, 1981.
- [114] WACKER, G.A., CHU, H.P., Some Observations on The Stress Corrosion Characteristics of High Strength Aluminum Alloys in The Marine Environment, Corrosion-NACE, 28,6, 233-242, 1972.
- [115] HOLROYD, N.J.H., HARDIE, D., Environment-Sensitive Embrittlement of High Strength Aluminium Alloys, Hydrogen Effects in Metals, AIME, 449-457, 1981.
- [116] CIARALDI, S.W., NELSON, J.L., YESKE, R.A., PUGH,E.N., Studies of Hydrogen Embrittlement and Stress-Corrosion Cracking in an Aluminum-Zinc-Magnesium Alloy, Hydrogen Effects in Metals, AIME, 437-447, 1981.
- [117] SCAMANS, G.M., Hydrogen Induced Fracture of Aluminium Alloys, Hydrogen Effects in Metals, AIME, 467-474, 1981.
- [118] CHRISTODOULOU, L., FLOWER, A.M., In-situ H.V.E.M. Observations of Hydrogen Embrittlement in Al-Zn-Mg Alloys, Hydrogen Effects in Metals, AIME, 493-501, 1981.
- [119] TUCK, C.D.S., Evidence for the Formation of Magnesium Hydride on the Grain Boundaries of Al-Mg and Al-Zn-Mg Alloys during Their Exposure to Water

Vapour, Hydrogen Effects in Metals, AIME, 503-510, 1981.

- [120] PICKENS, J.R., VENABLES, D., GREEN, J.A.S., Improved SCC Resistance of Al-Zn-Mg Alloys by Control of Mg Content in Bulk Metal and in The Oxide Film, Hydrogen Effects in Metals, AIME, 513-521, 1981.
- [121] KOVACS, I., LENDVAI, J., UNGAR, T., GROMA, G., LANKNER, J., Mechanical Properties of AlZnMg Alloys, Acta Met., 28, 1621-1631, 1980.
- [122] EDINGTON, J.W., Practical Electron Microscopy in Materials Science (4), MacMillian Philips Technical lab., 18-32, 1976.
- [123] MELANDER, A., PERSSON, P.A., The Strength of a Precipitation Hardened AlZnMg Alloy, Acta Met., 26, 267-278, 1978.
- [124] ARDELL, A.J., The Effect of Volume Fraction on Particle Coarsening: Theoretical Considerations, Acta Met., 20, 61-71, 1972.
- [125] JANOFF, D., FINE, M.E., Coarsening Kinetics of CuAl₂ in Aluminum, Mater. Sci. and Eng., 64, 67-71, 1984.
- [126] GÖDENY, I., BEKE, D.L., KEDVES, F.J., GROMA, G., Diffusion of Zn in Al-Rich Heterogeneous AlZn Alloys, Z. Metallkunde., 72, 97-101, 1981.
- [127] LEIGHLY, H.P.Jr., The effect of PH₂O in The Annealing Atmosphere on The Defect Structure in a Quenched Aluminium-9.87 at % Zn Alloy, Phill. Mag. A, 45, 5, 895-904, 1982.
- [128] BEKE, D., GÖDENY, I., KEDVES, F.J., GROMA, G., Diffusion of Zn in Dilute AlZn, AlMg, AlZnMg and AlZnFe Alloys, Acta Met., 25, 539-550, 1977.
- [129] CAHN, R.W., Physical Metallurgy, 2.ed., North Holland , Amsterdam, 1970.
- [130] GECKINLI, E.A., Yayınlannamamış Makale.
- [131] DANH, N.C., RAJAN, K., WALLACE, W., Discussion of Effect of Retrogression and Reaging Treatments on The Microstructure of Al-7075-T651, Met. Trans. A, 16, 2068, 1985.
- [132] BALDANTONI, A., On The Microstructural Changes During The Retrogression and Re-Aging of 7075 Type Aluminum Alloys, Mater. Sci. and Eng., 72, L5-L8, 1985.

- [133] PAPAZIAN, J.M., The Effects of Warm Working on Aluminum Alloy 7075-T651, Mater. Sci. and Eng., 51, 223-230, 1981.
- [134] PAPAZIAN, J.M., Calorimetric Studies of Precipitation and Dissolution Kinetics in Aluminum Alloys, Met. Trans. A, 13, 761-769, 1982.
- [135] HABIBY, F., ULLTAG, A., HASHMI, H.F., KHAN, A.G., Some Remarks on The Hardness and Yield Strength of Aluminum Alloy 7075 as a Function of Retrogression Time, Met. Trans. A, 18, 350-353, 1987.
- [136] RYUM, N., The Influence of a Precipitate-Free Zone on The Mechanical Properties of an Aluminium-Zinc Alloy, Acta Met., 16, 327-332, 1968.
- [137] MURAKAMI, M., KAWANA, O., MURAKAMI, Y., Formation and Reversion of Guinier-Preston Zones in Aluminium-6.7 at % Zinc Alloy and Effects of Small Concentrations of Magnesium and Silver, Acta Met., 17, 29-40, 1969.
- [138] GEROLD, V., MERZ, W., KAWANO, O., The Annealing-Out of Quenched-in Vacancies in Aluminium Zinc Alloy and Its Influence on The Kinetics of Growth of Guinier-Preston Zones, Z. Metallkunde., 61, 102-107, 1970.
- [139] JURGENS, G., KEMPE, M., LOFFLER, H., On The Kinetics of The Growth of Guinier-Preston Zones in Aluminium-Zinc(2.5 at %)-Magnesium(x) Alloys, Phys. Sta. Solidi. (a), 21, K39-K73, 1974.
- [140] NAESS, S.E., A Divergent Beam X-Ray Diffraction Study on The Precipitation in an Al-Mg-Zn Alloy, Scripta Met., 3, 179-181, 1969.
- [141] SUZUKI, H., KANNO, M. and ASAMI, S., Ageing Processes of (T) Type Aluminium-Zinc-Magnesium Alloys at Relatively High Temperatures, J. Jpn. Inst. Light. Met., 22, 135-142 1972.
- [142] JURGENS, G., KEMPE, M., The Kinetics of The Initial Stages of Groth of Guinier-Preston Zones in Aluminium-Zinc-Magnesium Alloys During Low-Temperature Ageing, Neue Hütte, 21, 166-168, 1976.
- [143] GROMA, G., SZENTIRIMAY, Z., The Change of Zone Composition in AlZnMg Alloys During Aging, Scripta Met., 12, 991-992, 1978.
- [144] CZURRATIS, P., KROGSEL, R., WOLTER, R., Quenched-in Dislocation Loops in Al-Zn-Mg Alloys, Z. Metallkunde., 78, 268-274, 1987.

- [145] JUHASZ, A., TASNADI, P., KOVACS, I., UNGAR, T., J. Mechanical Properties of Al-Zn-Mg Alloys Investigated by Microhardness Measurements, Mater. Sci., 16, 367-372, 1981.
- [146] ROSEMBbaum, H.S., TURNBULL, D. and ALESSANDRINI, E.I., On The Orientation of Silicon Precipitating From an Al-Rich Solid Solution, Acta Met., 7, 768-769, 1959.
- [147] OZAWA, E., KIMURA, H., Excess Vacancies and The Nucleation of Precipitates in Aluminium-Silicon Alloys, Acta Met., 18, 995-1004, 1970.
- [148] ADLER, P.N., DEIASI, R., Calorimetric Studies of 7000 Series Aluminium Alloys.II-Comparison of 7075, 7050 and RS720 Alloys, Met. Trans. A, 8, 1185-1190, 1977
- [149] HOLL, H.A., The Influence of a Subgrain Structure on Precipitation-Hardening and Nucleation of Precipitates in an Al-Zn-Mg Alloys, Met. Sci. J., 1, 111-118, 1967.
- [150] RYUM, N., Precipitation Kinetics in an Aluminium-Zinc-Magnesium Alloy, Z. Metallkunde., 66, 338-343, 1975.
- [151] DLUBEK, G., KABISCH, O., BRÜMMER, O., LÖFFLER, H., Precipitation and Dissolution Processes in Age-Hardenable Al-Alloy-A Comparison of Positron Annihilation and X-Ray Small-Angle Scattering Investigations-1.Al(Zn(x) X=3, 4.5, 6, 10, and 18 at %), Phys. Stat. Solidi.(a), 55, 509-518, 1979.
- [152] KABISCH, O., DLUBEK, G., LÖFFLER, H., BRÜMMER, O., GERLACK, R., Precipitation and Dissolution Processes in Age-Hardenable Al Alloys-Comparison of Positron Annihilation and X-Ray Small-Angle Scattering Investigations, Phys. Stat. Solidi. (a), 59, 731-742, 1980.
- [153] DLUBEK, G., BRÜMMER, O., HATOJARVI, P., J.YLI-KAUPPILA, Positron Study of Age Hardenable Al-Zn-Mg-Alloys, Phil. Mag. A, 44, 239-248, 1981.
- [154] GAUSTER, W.B., WAMPLER, W.R., Study of Precipitate Formation in Aluminium-Copper Alloys by Positron Annihilation and Transmission Electron Microscopy, Phil. Mag. A, 41, 145-156, 1980.
- [155] GECKINLI, E.A., TUNCER, S.K., 7075 Aluminyum Alasi-minda(RRA) Isil Isleminin Taneler Arasi Korozyon Direncine Etkisi, II. Ulusal Aluminyum Kongresi, Seydisehir, 1984.

- [156] ARAN, A., Optimization of The Strength and Intergranular Corrosion Properties of The 7075 Al Alloy by Retrogression and Reaging, Z. Metallkunde., 80, 170-172, 1989.
- [157] URAL, K., UZMAN, I., ANKARA, A., 7075-T6 Al Alasiminda GKC Direncinin RRA Isil Islemiyle Artirilmasi, I. Korozyon Simpozyumu, Ankara, 151-160, 1988.

ÖZGEÇMİŞ

Nuran (UNVER) AY, 1955 yılında Karaman'da doğmuştur. Lise öğrenimini Karaman Lisesinde tamamlandıktan sonra, 1973 yılında girdiği İ.T.U. Maden Fakültesi Metalurji Bölümünden 1978 yılında Metalurji Mühendisi olarak mezun olmuştur. Aynı yıl, İ.T.U. Metalurji Fakültesi Malzeme dalında başladığı Mühendislik Mimarlık ve Lisans Sonrası öğrenimini 1979 yılında tamamlayarak, Metalurji Yüksek Mühendisi ünvanını almıştır. Halen, 1980 yılında katılmış olduğu Anadolu Üniversitesi Mühendislik ve Mimarlık Fakültesi Maden Bölümünde öğretim görevlisi olarak çalışmaktadır. Evli ve iki çocuk annesidir.